

**PENENTUAN KOMPONEN KRITIS DAN INTERVAL
PERAWATAN SERTA JUMLAH STOK SPARE PART PADA
MESIN CHIMEI DI PT XYZ DENGAN METODE
RELIABILITY CENTERED MAINETENANCE (RCM) DAN
KLASIFIKASI ABC**



TUGAS AKHIR

**Untuk Memenuhi Sebagian Persyaratan
Dalam Memperoleh Gelar Sarjana Teknik (S.T)**

MAYRANDI

20170201104

PROGRAM STUDI TEKNIK INDUSTRI

FAKULTAS TEKNIK

UNIVERSITAS ESA UNGGUL

JAKARTA

2021

LEMBAR PERSETUJUAN TUGAS AKHIR

Nama : Mayrandi
NIM : 20170201104
Program Studi : Teknik Industri – Universitas Esa Unggul
Judul Tugas Akhir : Penentuan komponen kritis dan interval perawatan serta jumlah stok *spare part* pada mesin chimei di PT XYZ dengan metode *Reliability Centered Maintenance* (RCM) dan Klasifikasi ABC

Tugas Akhir di atas telah disetujui dan diterima sebagai salah satu syarat untuk memperoleh gelar Sarjana Teknik, Program Studi Teknik Industri Fakultas Teknik Universitas Esa Unggul.

Jakarta, 18 Februari 2021

Mengetahui,

Ketua Program Studi

(Dr.Iphov K. Sriwana, ST., M.Si)

Pembimbing

(Taufiqur Rachman, ST., MT)



LEMBAR PENGESAHAN TUGAS AKHIR

Nama : Mayrandi
NIM : 20170201104
Program Studi : Teknik Industri
Judul Tugas Akhir : Penentuan komponen kritis dan interval perawatan serta jumlah stok *spare part* pada mesin chimei di PT XYZ dengan metode *Reliability Centered Maintenance* (RCM) dan Klasifikasi ABC

Telah dinyatakan **Lulus Ujian Tugas Akhir** pada tanggal Jakarta, 18 Februari 2021

Dihadapan pembimbing dan penguji sebagai berikut :

Pembimbing

(Taufiqur Rachman, ST., MT)

Tim penguji :

1. Dr.Arief Suwandi,ST., MT

(.....)

2. Dr.Iphov K. Sriwana, S.T, M.Si

(.....)

Jakarta, 18 Februari 2021

Universitas Esa Unggul

Fakultas Teknik

Program Studi Teknik Industri

Ketua Program Studi

(Dr.Iphov K. Sriwana, S.T, M.Si)

**PENENTUAN KOMPONEN KRITIS DAN INTERVAL
PERAWATAN SERTA JUMLAH STOK SPARE PART PADA
MESIN CHIMEI DI PT XYZ DENGAN METODE
RELIABILITY CENTERED MAINETENANCE (RCM) DAN
KLASIFIKASI ABC**

Mayrandi¹⁾, Taufiqur Rahman²⁾

¹⁾Mahasiswa Program Studi Teknik Industri, Fakultas Teknik, Universitas Esa Unggul

²⁾Dosen Program Studi Teknik Industri, Fakultas Teknik, Universitas Esa Unggul

Program Studi Teknik Industri, Fakultas Teknik, Universitas Esa Unggul

Jalan Arjuna Utara No.9, Jakarta Barat

Email : mayrandi95@gmail.com

Abstrak

Sistem perawatan pada mesin chimei di PT XYZ menggunakan program preventif dan korektif. Namun, pada pelaksanaan program ini masih terjadi kendala dikarenakan perusahaan belum memiliki Standar Operasional Prosedur (SOP) yang memadai untuk mengatasi kerusakan mesin tersebut. Akibat dari masalah tersebut terjadi peningkatan nilai downtime yang mengakibatkan menurunnya potensi keuntungan, kapasitas produksi, dan lainnya. Untuk mengatasi masalah tersebut peneliti mengusulkan untuk menggunakan metode *Reliability Centered Maintenance* (RCM). RCM terdiri dari *Failure Mode Effect Analysis* (FMEA), diagram pareto, analisis MTTF dan MTTR. Kemudian dianalisa Klasifikasi ABC dan *Economic Order Quantity* (EOQ) untuk mengetahui biaya material dan jumlah persediaan yang dibutuhkan untuk setiap masing-masing komponen kritis.

Kata kunci : *RCM, FMEA, Klasifikasi ABC, dan EOQ*

Abstract

Maintenance system on chimei machine at PT XYZ uses a preventive and corrective program. However, in the implementation of this program there are still obstacles because the company does not have adequate Standard Operating Procedures (SOP) to deal with the malfunction of the machine. As a result of this problem there is an increase in the value of downtime which results in a decrease in profit potential, production capacity, and others. To solve this problem the researcher proposes to use the Reliability Centered Maintenance (RCM) method. RCM consists of Failure Mode Effect Analysis (FMEA), Pareto diagram, MTTF and MTTR analysis. Then analyzed the ABC classification and Economic Order Quantity (EOQ) to determine the material costs and the amount of inventory needed for each critical component.

Keywords : *RCM, FMEA, Klasifikasi ABC, EOQ.*

PENDAHULUAN

Perkembangan di zaman modern dan teknologi semakin maju seperti ini membuat perusahaan dibidang manufaktur dituntut untuk meningkatkan produktifitas di perusahaannya. Agar dapat bersaing dengan perusahaan lain, salah satu caranya yaitu dengan meningkatkan produktivitas yang diantaranya dapat dilakukan dengan menjaga kelancaran proses produksi.

Kelancaran proses produksi dipengaruhi oleh beberapa hal seperti sumber daya manusia serta kondisi dari fasilitas produksi yang dimiliki, dalam hal ini mesin produksi dan peralatan pendukung lain. Mesin sebagai pembantu manusia tentu mempunyai masa performa untuk bekerja secara optimal, yang bertujuan untuk menghasilkan program pemeliharaan yang didasarkan pada teknik RCM pada bagian komponen mesin.

PT XYZ merupakan salah satu perusahaan yang bergerak dibidang farmasi. Berbagai macam jenis multivitamin yang telah diproduksi oleh PT XYZ diantaranya dalam sediaan *Effervescent*, yang memiliki total kerusakan tertinggi selama periode jan 2019 – des 2020 yaitu 318 kerusakan dari 6 mesin yang ada.

Reliability Centered Maintenance (RCM) merupakan suatu teknik yang dipakai untuk mengembangkan *preventive maintenance* yang terjadwal. Hal ini didasarkan pada prinsip bahwa keandalan dari peralatan dan struktur dari kinerja yang akan dicapai adalah fungsi dari perancangan (*design*) dan kualitas pembentukan *preventive maintenance* yang efektif akan menjamin terlaksananya desain keandalan dari peralatan (Alghofari et al., 2006).

Klasifikasi ABC merupakan klasifikasi dari suatu kelompok material dalam susunan menurun berdasarkan biaya penggunaan material itu perperiode waktu (harga perunit material dikalikan volume penggunaan dari material itu selama periode tertentu), (Rasjidin, 2016).

Dalam pengendalian persediaan baik bahan baku maupun produk jadi dapat dilakukan dengan menggunakan metode EOQ. Secara umum perhitungan menggunakan metode EOQ dipengaruhi oleh biaya pemesanan,

biaya penyimpanan dan biaya pembelian. Biaya pemesanan diperoleh langsung dari perusahaan dengan total selama setahun. Biaya penyimpanan diestimasi berdasarkan rata-rata penyimpanan barang selama satu tahun (Indoprastodan Erma, 2012).

Berdasarkan pada permasalahan diatas penelitian ini dilakukan dengan menggunakan metode RCM, Klasifikasi ABC dan EOQ yang diharapkan mampu mengetahui komponen-komponen kritis dari sistem yang menyebabkan terjadinya *line stop* pada mesin chimei, memberikan usulan tentang jadwal penggantian dari komponen-komponen kritis tersebut sehingga mampu menurunkan total *downtime* pada mesin chimei serta mampu mengendalikan biaya penggunaan material dan jumlah stok yang dibutuhkan di PT XYZ.

METODE PENELITIAN

Objek penelitian ini adalah PT. XYZ. Langkah-langkah mengidentifikasi masalah dalam melakukan pengolahan data antara lain sebagai berikut :

1. Penentuan topik dan studi pendahuluan. Topik yang dibahas pada penelitian ini adalah mengenai perawatan mesin atau asset menggunakan *Reliability Centered Maintenance*, Klasifikasi ABC dan EOQ. Studi pendahuluan dilakukan dalam pencarian objek penelitian yang memiliki masalah dalam breakdown mesin dan dapat diperbaiki dengan metode *Reliability Centered Maintenance* kemudian dihitung biaya penggunaan material dan biaya persediaan di PT XYZ.
2. Pada tahap identifikasi masalah ini penulis melakukan observasi langsung pada area kerja produksi agar mendapatkan informasi secara akurat mengenai pokok permasalahan yang ada.
3. Dengan melihat langsung kelapangan, penulis mempelajari apa yang terjadi di Department Produksi dan departemen lain yang berhubungan dengan proses produksi, pada proses perbaikan mesin Chimei.
4. Wawancara secara langsung dengan pihak-pihak yang kompeten.

5. Studi pustaka dilakukan untuk mempelajari buku atau jurnal yang berkaitan dengan permasalahan yang akan diteliti.
6. Pada tahap ini akan ditentukan mengenai objek yang akan diteliti berdasarkan pada hasil pengolahan data kerusakan mesin yang ada.
7. Analisa *Failure Mode and Effect Analysis* (FMEA). Pada tahap ini dimulai dengan mendefinisikan mode kegagalan selanjutnya mengidentifikasi dampak dari setiap mode kegagalan yang terjadi serta nilai RPN.
8. Analisa *Reliability Centered Maintenance* (RCM). Secara umum tahapan ini dilakukan dengan cara pengamatan mesin, penentuan mesin kritis, dan selanjutnya mencari penyebab kerusakan mesin tersebut serta alternative penanggulangannya.
9. Analisa Klasifikasi ABC untuk menghitung biaya penggunaan material yang dibutuhkan pada komponen-komponen mesin yang digunakan.
10. Analisa *Economic Order Quantity* (EOQ) untuk menghitung jumlah stok yang dibutuhkan.
11. Kesimpulan dibuat dari hasil penelitian yang diperoleh berdasarkan usulan yang dibuat dan analisis yang dilakukan terhadap usulan tersebut.

HASIL DAN PEMBAHASAN

Data Kerusakan Mesin Produksi Sediaan *Effervescent*

Data historis kerusakan pada mesin produksi sediaan *effervescent* periode Jan 2019 – Des 2020 dapat dilihat pada tabel 1.

Tabel 1. Data Historis Kerusakan Mesin

| Nama Mesin | Frekuensi Kerusakan |
|--------------|---------------------|
| Zancheta | 46 |
| RVS | 61 |
| Pampac | 74 |
| Checkweigher | 30 |
| Chimei | 93 |
| Bhisamon | 20 |

Berdasarkan Tabel 1. didapatkan bahwa frekuensi kerusakan terbesar adalah mesin

Chimei sehingga dijadikan sebagai objek penelitian.

Data Kerusakan Mesin Chimei

Data historis kerusakan subsistem dari mesin Chimei periode Jan 2019 – Des 2020 dapat dilihat pada Tabel 2. berikut:

Tabel 2. Data Kerusakan Mesin CO 1

| Subsistem Mesin | Frekuensi Kerusakan |
|-------------------------|---------------------|
| <i>Conveyor</i> | 10 |
| <i>Panel electric</i> | 15 |
| <i>Plat griffer</i> | 35 |
| <i>Cam and Follower</i> | 13 |
| <i>Rantai utama</i> | 11 |
| <i>Roller opp</i> | 9 |

Berdasarkan Tabel 2. didapat bahwa frekuensi kerusakan terbesar terjadi pada subsitem *Panel electric*, *plat griffer*, dan *cam and follower* sehingga dijadikan sebagai objek penelitian lebih lanjut.

Reliability Centered Maintenance (RCM)

Ada tujuh langkah dalam metode RCM, yaitu:

1. Pemilihan Sistem dan Pengumpulan Informasi

Berdasarkan data yang diperoleh dari hasil data historis perusahaan, subsistem yang memenuhi kriteria untuk dianalisis adalah subsistem *Turret Assembly*, *Feeding Frame Device* dan *Main Drive*, karena subsistem ini merupakan bagian yang mengalami frekuensi kerusakan yang tinggi sehingga menyebabkan *downtime* yang tinggi pula.

2. Definisikan Batasan Sistem

Pada tahap ini definisi batasan sistem sangat diperlukan, karena dengan adanya batasan sistem dapat membedakan batasan secara jelas antara sistem yang satu dengan sistem lainnya dan mampu membuat daftar komponen yang mendukung sistem tersebut. Berdasarkan penjelasan sebelumnya sistem yang akan dianalisis adalah *Panel electric*, *plat griffer*, dan *cam and follower*. Komponen-komponen dari setiap subsistem yang sering mengalami kerusakan adalah:

1. *Plat griffer* terdiridari:

- Cutting plat

- Heater
2. *Cam and follower* terdiridari:
- As pusher opp
3. *Panel electric* terdiri dari:
- Sensor
 - Plc cable

3. Deskripsi Sistem dan Blok Diagram

1. Deskripsi Sistem dan Blok Diagram

Pendeskripsi sistem diperlukan untuk mengetahui komponen-komponen yang terdapat didalam sistem tersebut.

Input

Sebelum masuk mesin chimei pack dijalankan menuju conveyor, kemudian mesin chimei akan bekerja bila pack tersebut menutupi sensor.

Process

Setelah menutupi sensor mesin chimei secara otomatis akan mendorong 5 pack tersebut menggunakan as pusher dan dilanjutkan dengan membungkus pack tersebut menggunakan foil, dimana foil tersebut akan dipotong sesuai ukuran dengan cutting plat dan direkatkan dengan plat heater. Kemudian, dilanjutkan dengan proses yang sama untuk mendapatkan 1 opp yang terdiri dari 5 pack.

Output

Setelah mendapatkan 1 opp dilanjutkan dengan memasukkan kedalam master box.

4. Fungsi sistem dan kegagalan fungsi

Fungsi sistem ini merupakan kinerja yang diharapkan dari suatu sistem untuk dapat beroperasi sedangkan kegagalan fungsi merupakan ketidakmampuan suatu fungsi untuk memenuhi standar yang diharapkan. Aktivitas penelusuran data akan lebih terstruktur dan mudah dilakukan dengan pengkodean fungsi dan kegagalan fungsi. Pengkodean fungsi dan kegagalan fungsi dilakukan dengan keterangan sebagai berikut:

- Huruf melambangkan nama unit operasi dari mesin chimei
- Angka pertama melambangkan nama komponen utama mesin chimei
- Angka kedua melambangkan kegagalan fungsi

Fungsi sistem dan kegagalan fungsi mesin chimei dapat dilihat pada (Lampiran: Tabel 1.)

5. Failure mode and effect analysis (FMEA)

Failure mode and effect analysis (FMEA) adalah suatu prosedur terstruktur untuk mengidentifikasi dan mencegah sebanyak mungkin mode kegagalan (*failure mode*). FMEA berguna untuk memprediksi komponen mana yang kritis, yang sering rusak dan jika terjadi kerusakan pada komponen tersebut maka sejauh mana pengaruhnya terhadap fungsi sistem secara keseluruhan pada produksi tablet. Dengan demikian dapat diberikan perlakuan lebih terhadap komponen tersebut dengan tindakan pemeliharaan yang tepat. Hal utama dalam FMEA adalah *Risk Priority Number* (RPN). Berikut data dari komponen mesin chimei yang akan diidentifikasi penyebab kegagalannya dapat dilihat pada (Lampiran: Tabel 2.)

6. Logic Tree Analysis (LTA)

Logic Tree Analysis (LTA) mengandung informasi nomor, nama kegagalan fungsi, komponen yang mengalami kegagalan, fungsi komponen dan mode kerusakan komponen dan analisis kekritisan. Empat hal penting dalam analisis kekritisan yaitu menanyakan tentang evident, safety, outages. Pengisian tabel LTA (Lampiran: Tabel 3.) dilakukan diskusi dengan operator produksi, supervisor teknik dan teknisi *line*. Hasil analisis LTA menunjukkan bahwa kerusakan di mesin chimei bersifat *outage problem* yang dapat mengakibatkan kegagalan total di sistem dan bersifat *economic problem* yaitu menyebabkan kerugian bagi perusahaan.

7. Pemilihan tindakan perawatan

Berdasarkan hasil penelitian untuk komponen-komponen yang mengalami kegagalan pada mesin chimei, maka dapat diperoleh beberapa tindakan perawatan. (Lampiran: Tabel 4.) menunjukkan hasil rekapitulasi pemilihan tindakan yang diambil dari *failure cause* pada FMEA dan LTA. Tindakan perawatan T.D (Time

Directed) bertujuan untuk menghindari kegagalan komponen dengan lebih fokus pada aktivitas penggantian komponen yang dilakukan secara berkala sedangkan C.D (*Condition Directed*) bertujuan untuk mendeteksi kerusakan dengan cara *visual inspection*, memeriksa alat, serta *memonitoring* sejumlah data yang ada.

Hasil Perhitungan MTTF dan MTTR

Hasil perhitungan rekapitulasi MTTF dan MTTR dapat dilihat pada Tabel 5. (lampiran)

Interval Waktu Perawatan

Sesuai dengan hasil perhitungan dan analisa yang telah dirangkum dari tabel sebelumnya, didapatkan informasi sebagai berikut:

- Komponen cutting plat sudah harus dilakukan perwatan pencegahan kerusakan ataupun melakukan pergantian komponen setelah beroperasi maksimal selama 49454 menit = 824 jam dengan rata-rata perbaikan yang dilakukan selama 52.93 menit per shutdown.
- Komponen heater sudah harus dilakukan perwatan pencegahan kerusakan ataupun melakukan pergantian komponen setelah beroperasi maksimal selama 62990 menit = 1049 jam dengan rata-rata perbaikan yang dilakukan selama 48.66 menit per shutdown
- Komponen as pusher opp sudah harus dilakukan perwatan pencegahan kerusakan ataupun melakukan pergantian komponen setelah beroperasi maksimal selama 79835 menit = 1330 jam dengan rata-rata perbaikan yang dilakukan selama 66.57 menit persutdown

Penentuan Waktu Pemeriksaan Komponen

Selanjutnya akan dilakukan perhitungan interval waktu optimal untuk dilakukan pemeriksaan terhadap masing-masing komponen dapat dilihat pada Tabel 6. Sebagai berikut:

Tabel 6. Hasil Rekapitulasi Periodic Inspection

| No | Komponen | Frekuensi pemeriksaan | Interval pemeriksaan (jam) |
|----|---------------|-----------------------|----------------------------|
| 1 | Cutting plat | 1.1782 kali/bulan | 485.4863 |
| 2 | Heater | 0.9859 kali/bulan | 580.1805 |
| 3 | As pusher opp | 0.7907 kali/bulan | 723.4096 |

Klasifikasi ABC

Untuk menentukan *spart part* yang di klasifikasikan, data *spart part* di ambil dari data part FMEA yang sudah di dapat, maka pengertian dari Klasifikasi ABC, yaitu metode yang menempatkan klasifikasi yang berbeda dengan tingkat kepentingan yang semakin menurun. Pengendalian persediaan difokuskan pada beberapa material yang kritis saja. Material yang dianggap kritis yaitu material yang menjadi investasi terbesar bagi perusahaan. Berikut adalah hasil perhitungan Klasifikasi ABC untuk part kritis mesin *chimei* dari bulan Januari 2019 sampai bulan Desember 2020 dapat dilihat pada Tabel 7. sebagai berikut::

Tabel 7. Klasifikasi ABC

| Part kritis | Pergantian part selama 2 tahun | Cost part | Cost unit 2 tahun | Nilai kumulatif | Nilai kumulatif (%) | Kelas ABC |
|----------------------|--------------------------------|-----------|-------------------|-----------------|---------------------|-----------|
| <i>Cutting plat</i> | 18 | 500.000 | 9.000.000 | 9.000.000 | 43% | A |
| <i>Heater</i> | 12 | 400.000 | 4.800.000 | 13.800.000 | 23% | A |
| <i>As pusher opp</i> | 10 | 300.000 | 3.000.000 | 16.800.000 | 14% | A |
| <i>sensor</i> | 8 | 300.000 | 2.400.000 | 19.200.000 | 11% | B |
| <i>Plc cable</i> | 7 | 275.000 | 1.925.000 | 21.125.000 | 9% | C |

Economic Order Quantity (EOQ)

Untuk mengetahui jumlah spare part yang dibutuhkan setiap masing-masing komponen dalam setahun dapat dilihat pada Tabel 8. Sebagai berikut:

| Komponen | Jumlah barang | Biaya pemesanan | Harga per unit | Biaya penyimpanan | Persediaan spare part/tahun |
|---------------|----------------|-----------------|----------------|-------------------|-----------------------------|
| Cutting plat | $14.1384 = 15$ | 50.000 | 500.000 | 1% | 18 pcs |
| Heater | $11.8303 = 12$ | 40.000 | 400.000 | 1% | 16 pcs |
| As pusher opp | $9.4884 = 10$ | 30.000 | 300.000 | 1% | 15 pcs |

KESIMPULAN

Berdasarkan hasil pengolahan data dan analisis pemecahan masalah maka diperoleh kesimpulan sebagai berikut:

1. Mesin chimei di pilih dari mesin-mesin yang lain karena tingkat kerusakannya yang tinggi dengan frekuensi 93 kerusakan selama 2 tahun.
2. Untuk menentukan perhitungan maka, dibagi menjadi beberapa sistem yang mengalami masalah kerusakan mulai dari Panel, conveyor, Plat grifer, cam and follower, rantai utama, dan roller opp.
3. Dari keenam system tersebut di dapatkan 3 sistem yang mengalami kerusakan paling banyak yaitu:
 - Plat grifer dengan memiliki subsistem : cutting plat dan heater
 - Cam and follower dengan memiliki subsistem : as pusher opp
 - Panel control dengan memiliki subsistem : plc kabel dan sensor
 Untuk menentukan tindakan perawatan yang optimal pada mesin chimei diperlukan analisis fungsi sistem serta kegagalan sistem menggunakan metode FMEA didapatkan 3 komponen kritis dengan nilai RPN tertinggi yaitu komponen cutting plat dengan RPN 126, komponen heater dengan RPN 126, dan komponen as pusher opp dengan RPN 90.
4. Analisa Keandalan dilakukan terhadap tiga komponen dengan nilai RPN tertinggi dengan hasil sebagai berikut.

- a. Cutting plat memiliki nilai MTTF sebesar 49454 menit dan nilai MTTR sebesar 52.93 menit. Hal ini berarti Cutting plat berpotensi mengalami kegagalan setelah 49454 menit pemakaian dengan rata-rata waktu yang diperlukan untuk kegiatan perbaikan adalah 53 menit dan di lanjutkan menentukan pemeriksaan komponen dengan hasil 1.1782 kali/bulan dan interval perawatan 485.4863 jam
- b. Heater memiliki nilai MTTF sebesar 62990 menit dan nilai MTTR sebesar 48.66 menit. Hal ini berarti Heater berpotensi mengalami kegagalan setelah 62990 menit pemakaian dengan rata-rata waktu yang diperlukan untuk kegiatan perbaikan adalah 49 menit dan di lanjutkan menentukan pemeriksaan komponen dengan hasil 0.9859 kali/bulan dan interval perawatan 580.1805 jam
- c. As pusher opp memiliki nilai MTTF sebesar 79835 menit dan nilai MTTR sebesar 66.57 menit. Hal ini berarti As pusher opp berpotensi mengalami kegagalan setelah 79835 menit pemakaian dengan rata-rata waktu yang diperlukan untuk kegiatan perbaikan adalah 67 menit dan di lanjutkan menentukan pemeriksaan komponen dengan hasil 0.7907 kali/bulan dan interval perawatan 723.4096 jam.
5. Klasifikasi ABC pada seitan komponen kritis di klasifikasikan sebagai berikut:
 - a. Cutting plat masuk dalam klasifikasi: A
 - b. Heater masuk dalam klasifikasi: A
 - c. As pusher opp masuk dalam klasifikasi: B
 - d. Plc kabel masuk dalam klasifikasi: B
 - e. Sensor masuk dalam klasifikasi: C

6. *Economic Order Quantity* pada setiap masing-masing komponen mesin chimei yang dibutuhkan adalah sebagai berikut:
- Cutting plat dibutuhkan 18pcs persediaan komponen dalam setahun.
 - Heater dibutuhkan 16pcs persediaan komponen dalam setahun.
 - As pusher opp dibutuhkan 15pcs persediaan komponen dalam setahun.

<https://doi.org/10.22219/jtiumm.vol18.no1.86-93>.

- Rasjidin, R. (2016). *Perancangan Kondisi Persediaan Optimal Untuk Produk Pipa di CV. Mitra Manunggal Perkasa*. 12–27.
- Rasjidin, R., & Wahyuningrum, I. (2005). *Analisis Preventive Maintenance Jig Welding Pada Proses Perakitan Support Assy Clutch Pedal Untuk Mobil Toyota Kijang Innova Di*. 4(2), 91–98.

DAFTAR PUSTAKA

- Afefy, I. H. (2010). Reliability-Centered Maintenance Methodology and Application: A Case Study. *Engineering*, 02(11), 863–873.
- Alghofari, A. K., Djunaidi, M., & Fauzan, A. (2006). Perencanaan Pemeliharaan Mesin Ballmill Dengan Basis Rcm (Reliability Centered Maintenance). *Jurnal Ilmiah Teknik Industri*, 5(2), 45–52.
- Indoprasto dan Erma S. 2012. Analisis pengendalian persediaan produk dengan metode EOQ menggunakan algoritma genetika untuk mengefisiensikan biaya persediaan. *Jurnal Teknik ITS*, 1 (1): 305–309.
- Kurniawan, R. A., & Kholik, H. M. (2017). Usulan Perawatan Mesin Stitching Dengan Metode Reliability Centered Maintenance. *Jurnal Teknik Industri*, 16(2), 83.
- Nofi Erni, A. N. L. (2016). USULAN PENURUNAN TINGKAT CACAT PADA AREA PERAKITAN. Pengukuran Waktu dengan Studi Waktu. *Inovisi*, 96–103.
- Praharsi, Y., Sriwana, I. K., & Sari, D. M. (2015). Perancangan Penjadwalan Preventive Maintenance Pada Pt . Artha Prima Sukses Makmur. *Jurnal Ilmiah Teknik Industri*, 14(1), 59–65.
- Rachman, H., Garside, A. K., & Kholik, H. M. (2017). Usulan Perawatan Sistem Boiler dengan Metode Reliability Centered Maintenance (RCM). *Jurnal Teknik Industri*, 18(1), 86.

LAMPIRAN

Tabel 1. Fungsi sistem dan kegagalan fungsi

| Kode Fungsi Mesin | Kode Kegagalan Fungsi | Uraian Fungsi |
|-------------------|-----------------------|--|
| A.1 | | Untuk memperoses pack yang di dorong dengan ass pusher yang terdiri dari cutting plat dan plat heater |
| | A.1.1 | Untuk memotong foil sesuai ukuran yang ditentukan |
| | A.1.2 | Untuk merekatkan foil yang membungkus pack menjadi opp |
| A.2 | | Alat untuk mengerakan ass pusher opp |
| | A.2.1 | Untuk mendorong pack yang telah di jalankan oleh conveyor |
| A.3 | | Sebagai otak untuk menjalankan kelistrikan |
| | A.3.1 | Untuk membaca pack apabila pack menutupi sensor maka mesin chimei akan bekerja apabila tidak menutupi sensor mesin tidak bekerja |
| | A.3.2 | Sebagai alat untuk menyambungkan panel ke sensor |

(Sumber: PT XYZ, 2020)

Tabel 2. Failure Mode and Effect Analysis (FMEA)

| No | Komponen | Failure Mode | Failure Cause | Failure Effects | Severity | Occurance | Detection | RPN |
|----|---------------|------------------------------------|--|--|----------|-----------|-----------|-----|
| 1. | Cutting plat | Cutting plat tumpul | Terjadi benturan dengan bantalan cutting plat | Foil tidak terpotong dengan sempurna yang membuat mesin berhenti proses | 6 | 7 | 3 | 126 |
| 2. | Heater | Plat heater tidak panas | Kabel isolator plat heater putus dan terjadi gesekan dengan plat | Foil tidak merekat pada pack yang membuat pack tidak terbungkus | 6 | 7 | 3 | 126 |
| 3. | As pusher opp | As pusher haus dan tidak terdorong | Ass pusher seret pada saat mendorong pack | Pack tidak dapat tedorong dan membuat proses hambat | 6 | 5 | 3 | 90 |
| 4. | Sensor | Sensor tidak berfungsi | Umur sensor yang sudah lama | Pack yang menutupi sensor tidak bekerja karna sensor mati | 5 | 4 | 2 | 40 |
| 5. | Plc cable | Plc cable putus | Terjadi gesekan pada plc cable yang membuat cable putus | Sensor sensor pada mesin tidak bekerja yang membuat kegagalan dalam proses | 6 | 4 | 2 | 48 |

Tabel 3. Rekapitulasi Identifikasi Hasil LTA

| No | Komponen | Failure Mode | Evident | Safety | Outage | Category |
|----|----------------------|---|---------|--------|--------|----------|
| 1. | <i>Cutting plat</i> | <i>Cutting plat tumpul</i> | Y | T | Y | B |
| 2. | <i>Heater</i> | <i>Plat heater tidak panas</i> | Y | T | Y | B |
| 3. | <i>As pusher opp</i> | <i>As pusher haus dan tidak terdorong</i> | Y | T | Y | B |
| 4. | <i>Sensor</i> | <i>Sensor tidak berfungsi</i> | Y | T | Y | B |
| 5. | <i>Plc cable</i> | <i>Plc cable putus</i> | Y | T | Y | B |

Tabel 4. Pemilihan Tindakan Perawatan Mesin Chimei

| No | Komponen | Failure Mode | Selection Guide | | | | | | | Selection Task |
|----|----------------------|-------------------------------------|-----------------|---|---|---|---|---|---|----------------|
| | | | 1 | 2 | 3 | 4 | 5 | 6 | 7 | |
| 1. | <i>Cutting plat</i> | Cutting plat tumpul | Y | Y | T | T | - | Y | - | T.D |
| 2. | <i>Heater</i> | Plat heater tidak panas | Y | Y | T | T | - | Y | - | T.D |
| 3. | <i>As pusher opp</i> | As pusher haus dan tidak ter dorong | Y | Y | T | T | - | Y | - | T.D |
| 4. | <i>Sensor</i> | Sensor tidak berfungsi | Y | T | Y | T | - | Y | - | C.D |
| 5. | <i>Plc cable</i> | Plc cable putus | Y | T | Y | T | - | Y | - | C.D |

Tabel 5. Rekapitulasi Nilai MTTF dan MTTR

| Komponen | Data | Distribusi | β | α | Θ | μ | σ | MTTF (menit) | MTTR (menit) |
|---------------|-----------|------------|---------|----------|-----------|--------|----------|--------------|--------------|
| Cutinng plat | Kerusakan | weibull | 3.366 | -36.747 | 49454.296 | - | - | 49454 | - |
| | Perbaikan | weibull | 2.171 | -8.881 | 52.93 | - | - | - | 52.93 |
| Heater | Kerusakan | lognormal | - | - | - | 11.044 | 0.107 | 62990 | - |
| | Perbaikan | weibull | 2.405 | -9.636 | 48.66 | - | - | - | 48.66 |
| As pusher opp | Kerusakan | lognormal | - | - | - | 11.259 | 0.238 | 79835 | - |
| | Perbaikan | lognormal | - | - | - | 4.050 | 0.543 | - | 66.57 |

LAMPIRAN

1. Data interval kerusakan komponen cutting plat

| No | Tanggal | Interval waktu (hari) |
|----|-------------------|-----------------------|
| 1 | 5 Januari 2019 | - |
| 2 | 25 Februari 2019 | 51 |
| 3 | 12 April 2019 | 46 |
| 4 | 6 Mei 2019 | 24 |
| 5 | 21 Mei 2019 | 15 |
| 6 | 21 Juni 2019 | 31 |
| 7 | 22 Juli 2019 | 31 |
| 8 | 18 September 2019 | 27 |
| 9 | 22 Oktober 2019 | 34 |
| 10 | 15 November 2019 | 24 |
| 11 | 22 Desember 2019 | 37 |
| 12 | 10 Februari 2020 | 50 |
| 13 | 15 Maret 2020 | 33 |
| 14 | 15 April 2020 | 29 |
| 15 | 30 Mei 2020 | 45 |
| 16 | 17 Juli 2020 | 48 |
| 17 | 28 Agustus 2020 | 42 |
| 18 | 10 Oktober 2020 | 43 |
| 19 | 27 Oktober 2020 | 17 |
| 20 | 21 November 2020 | 25 |
| 21 | 25 Desember 2020 | 34 |

2. Data interval kerusakan komponen heater

| No | Tanggal | Interval waktu (hari) |
|----|-------------------|-----------------------|
| 1 | 5 Januari 2019 | - |
| 2 | 16 Februari 2019 | 42 |
| 3 | 21 April 2019 | 64 |
| 4 | 20 Juni 2019 | 57 |
| 5 | 9 Agustus 2019 | 53 |
| 6 | 31 Agustus 2019 | 22 |
| 7 | 3 Oktober 2019 | 33 |
| 8 | 14 November 2019 | 42 |
| 9 | 5 Januari 2020 | 52 |
| 10 | 5 Februari 2020 | 31 |
| 11 | 22 April 2020 | 77 |
| 12 | 7 Juni 2020 | 46 |
| 13 | 10 Juli 2020 | 33 |
| 14 | 16 Agustus 2020 | 37 |
| 15 | 22 September 2020 | 37 |
| 16 | 20 November 2020 | 59 |

3. Data interval kerusakan komponen as pusher opp

| No | Tanggal | Interval waktu (hari) |
|----|-------------------|-----------------------|
| 1 | 1 Januari 2019 | - |
| 2 | 20 Februari 2019 | 50 |
| 3 | 15 April 2019 | 54 |
| 4 | 21 Mei 2019 | 36 |
| 5 | 12 Juli 2019 | 52 |
| 6 | 16 September 2019 | 66 |
| 7 | 12 November 2019 | 57 |
| 8 | 12 Januari 2020 | 61 |
| 9 | 17 Februari 2020 | 36 |
| 10 | 12 April 2020 | 55 |
| 11 | 27 Mei 2020 | 45 |
| 12 | 22 Juli 2020 | 56 |
| 13 | 25 September 2020 | 65 |
| 14 | 20 Desember 2020 | 86 |

4. Waktu perbaikan komponen cutting plat

| No | Tanggal | Mulai (jam) | Selesai (jam) | Total perbaikan (menit) |
|----|-------------------|-------------|---------------|-------------------------|
| 1 | 25 Februari 2019 | 15:00 | 15:55 | 55 |
| 2 | 12 April 2019 | 8:00 | 9:20 | 80 |
| 3 | 6 Mei 2019 | 12:30 | 14:00 | 90 |
| 4 | 21 Mei 2019 | 4:15 | 5:15 | 60 |
| 5 | 21 Juni 2019 | 20:25 | 21:00 | 35 |
| 6 | 22 Juli 2019 | 11:10 | 12:00 | 40 |
| 7 | 18 September 2019 | 3:45 | 4:15 | 30 |
| 8 | 22 Oktober 2019 | 10:23 | 11:10 | 47 |
| 9 | 15 November 2019 | 1:35 | 1:45 | 10 |
| 10 | 22 Desember 2019 | 8:45 | 9:45 | 60 |
| 11 | 10 Februari 2020 | 14:22 | 15:15 | 53 |
| 12 | 15 Maret 2020 | 15:00 | 15:30 | 30 |
| 13 | 15 April 2020 | 12:05 | 12:40 | 35 |
| 14 | 30 Mei 2020 | 5:30 | 7:30 | 120 |
| 15 | 17 Juli 2020 | 2:12 | 3:15 | 63 |
| 16 | 28 Agustus 2020 | 17:45 | 18:15 | 30 |
| 17 | 10 Oktober 2020 | 11:00 | 11:47 | 47 |
| 18 | 27 Oktober 2020 | 9:24 | 10:10 | 46 |
| 19 | 21 November 2020 | 3:45 | 4:50 | 65 |
| 20 | 25 Desember 2020 | 10:00 | 10:45 | 45 |

5. Waktu perbaikan komponen heater

| No | Tanggal | Mulai (jam) | Selesai (jam) | Total perbaikan (menit) |
|----|-------------------|-------------|---------------|-------------------------|
| 1 | 16 Februari 2019 | 12:30 | 14:00 | 90 |
| 2 | 21 April 2019 | 20:25 | 21:00 | 35 |
| 3 | 20 Juni 2019 | 3:45 | 4:15 | 30 |
| 4 | 9 Agustus 2019 | 11:10 | 12:00 | 50 |
| 5 | 31 Agustus 2019 | 1:35 | 1:45 | 60 |
| 6 | 3 Oktober 2019 | 10:23 | 11:10 | 47 |
| 7 | 14 November 2019 | 14:22 | 15:15 | 53 |
| 8 | 5 Januari 2020 | 8:45 | 9:45 | 60 |
| 9 | 5 Februari 2020 | 11:00 | 11:47 | 13 |
| 10 | 22 April 2020 | 17:30 | 18:00 | 30 |
| 11 | 7 Juni 2020 | 5:30 | 6:30 | 60 |
| 12 | 10 Juli 2020 | 10:00 | 10:45 | 45 |
| 13 | 16 Agustus 2020 | 6:15 | 6:45 | 30 |
| 14 | 22 September 2020 | 12:00 | 12:50 | 50 |
| 15 | 20 November 2020 | 3:45 | 4:50 | 65 |

6. Waktu perbaikan komponen as pusher opp

| No | Tanggal | Mulai (jam) | Selesai (jam) | Total perbaikan (menit) |
|----|-------------------|-------------|---------------|-------------------------|
| 1 | 20 Februari 2019 | 15:15 | 14:00 | 45 |
| 2 | 15 April 2019 | 4:00 | 5:30 | 90 |
| 3 | 21 Mei 2019 | 20:00 | 21:30 | 90 |
| 4 | 12 Juli 2019 | 14:25 | 15:00 | 35 |
| 5 | 16 September 2019 | 15:00 | 15:45 | 45 |
| 6 | 12 November 2019 | 23:35 | 1:45 | 130 |
| 7 | 12 Januari 2020 | 22:15 | 23:15 | 60 |
| 8 | 17 Februari 2020 | 5:05 | 6:30 | 85 |
| 9 | 12 April 2020 | 11:15 | 13:15 | 120 |
| 10 | 27 Mei 2020 | 6:00 | 6:45 | 45 |
| 11 | 22 Juli 2020 | 9:34 | 10:10 | 36 |
| 12 | 25 September 2020 | 17:10 | 17:30 | 20 |
| 13 | 20 Desember 2020 | 21:10 | 22:00 | 50 |

BAB IV

PENGOLAHAN DATA DAN ANALISIS DATA

4.1 Pengumpulan Data

PT XYZ Farma merupakan perusahaan farmasi yang menjalankan proses produksi secara terus menerus selama 24 jam dalam satu hari. Hal ini mengharuskan kinerja dari mesin yang digunakan dalam keadaan baik sehingga proses produksi dapat tercapai sesuai target. Kinerja mesin yang baik dapat didukung dengan sistem perawatan yang terencana. Pada permasalahan ini yang akan dijadikan objek penelitian adalah mesin-mesin yang digunakan untuk produksi sediaan *effervescent*.

4.1.1. Data Kerusakan Mesin Produksi Sediaan *Solid*

Data historis kerusakan pada mesin produksi sediaan *effervescent* periode Jan 2019 – Des 2020 dapat dilihat pada Tabel 4.1. berikut:

Tabel 4.1. Data Historis Kerusakan Mesin

| Nama Mesin | Frekuensi Kerusakan |
|--------------|---------------------|
| ZANCHETA | 40 |
| RVS | 61 |
| PAMPAC | 74 |
| CHECKWEIGHER | 30 |
| CHIMEI | 93 |
| BHISAMON | 20 |

Berdasarkan Tabel 4.1 didapatkan bahwa frekuensi kerusakan terbesar adalah mesin chimei sehingga dijadikan sebagai objek penelitian. Mesin chimei berfungsi sebagai mesin yang digunakan untuk membungkus pack dengan *foil plastic* dalam satu bungkus terdapat 5 pack.

4.2 *Reliability Centered Maintenance (RCM)*

Metode pemeliharaan untuk Mesin Chimei di PT XYZ masih bersifat *unplanned maintenance*. Langkah-langkah proses analisis dengan pendekatan *Reliability Centered Maintenance (RCM)* adalah:

1. Pemilihan sistem dan pengumpulan informasi
2. Definisikan batasan sistem
3. Deskripsi sistem dan blokfungsi
4. Fungsistem dan kegagalan fungsi
5. *Failure mode and effect analysis (FMEA)*
6. *Logic Tree Analysis (LTA)*
7. Pemilihan tindakan perawatan

4.2.1. Pemilihan Sistem dan Pengumpulan Informasi

Pada penelitian ini yang dijadikan objek penelitian adalah MesinChimei, dimana mesin pengemas pack sachet terdiri dari beberapa subsistem. Subsistem yang dipilih untuk dilakukan analisis adalah subsistem yang banyak mengalami kerusakan sehingga dapat berpengaruh dalam menurunkan kinerja proses produksi.

Data historis kerusakan subsistem dari mesin chimei periode Jan 2019 – Des 2020 dapat dilihat pada Tabel 4.2 berikut:

Tabel 4.2. Data Kerusakan Mesin Chimei

| Subsistem Mesin | Frekuensi Kerusakan |
|-------------------------|---------------------|
| <i>Conveyor</i> | 10 |
| <i>Panel electric</i> | 15 |
| <i>Plat griffer</i> | 35 |
| <i>Cam and follower</i> | 13 |
| <i>Rantai utama</i> | 11 |
| <i>Roller opp</i> | 9 |

Berdasarkan Tabel 4.2 didapat bahwa frekuensi kerusakan terbesar terjadi pada subsitem *plat griffer*, *panel electric* dan *cam and follower* sehingga dijadikan sebagai objek penelitian lebih lanjut.

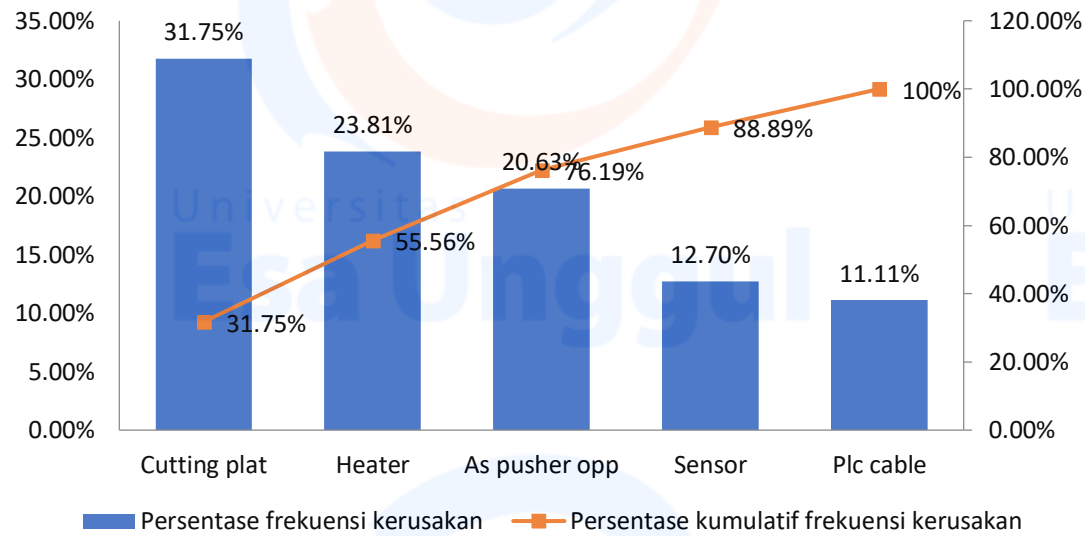
Berdasarkan data yang diperoleh dari hasil data historis perusahaan, subsistem yang memenuhi criteria untuk dianalisis adalah subsistem *Plat griffer*, *Cam and follower* dan *Panel electric* karena subsistem ini merupakan bagian yang mengalami frekuensi kerusakan yang tinggi sehingga menyebabkan *downtime* yang tinggi pula.

Pengumpulan informasi digunakan untuk mendapatkan gambaran dari objek yang akan diteliti. Fungsi dari masing-masing subsistem pada Mesin Chimei adalah *Plat griffer* berfungsi sebagai tempat untuk memotong opp dengan cutting plat dan merekatkan opp dengan plat heater, *Cam and Follower* berfungsi sebagai penggerak as pusher opp untuk mendorong pack dan *Panel electric* berfungsi sebagai tempat sensor untuk membaca opp. Jika salah satu system mengalami kerusakan maka akan menghambat jalannya proses produksi sehingga menyebabkan output yang dihasilkan tidak akan mencapai target yang sudah ditetapkan.

Data kerusakan komponen terjadi pada subsistem *Plat griffer*, *Cam and follower* dan *Panel electric* selama periode Jan 2019 – Des 2020 dapat dilihat pada Tabel 4.3. dan penentuan komponen kritis dapat dilihat pada Tabel 4.3.

Tabel 4.3. Data Kerusakan Komponen Mesin Chimei

| Subsistem Mesin | Komponen | Frekuensi Kerusakan | Persentase Frekuensi Kerusakan (%) | Persentase Kumulatif Frekuensi Kerusakan (%) |
|-------------------------|----------------------|---------------------|------------------------------------|--|
| <i>Plat griffer</i> | <i>Cutting plat</i> | 20 | 31.75 | 31.75 |
| | <i>Heater</i> | 15 | 23.81 | 55.56 |
| <i>Cam and follower</i> | <i>As pusher opp</i> | 13 | 20.63 | 76.19 |
| | <i>Sensor</i> | 8 | 12.70 | 88.89 |
| <i>Panel electric</i> | <i>Plc cable</i> | 7 | 11.11 | 100 |
| | Total | 63 | 100 | |



Gambar 4.1 Diagram Pareto Komponen Mesin Chimei

Berdasarkan Gambar 4.1 dengan menggunakan diagram pareto aturan 80/20 yang berarti 80% kegagalan kinerja dari Mesin Chimei disebabkan oleh 20%

kerusakan komponen. Dimana dapat dilihat bahwa persen tertinggi pada Gambar 4.1. adalah *Cutting plat*, *Heater* dan *As pusher opp* sehingga dikategorikan sebagai komponen kritis.

4.2.2. Definisikan batasan sistem

Pada tahap ini definisi batasan sistem sangat diperlukan, karena dengan adanya batasan sistem dapat membedakan batasan secara jelas antara sistem yang satu dengan sistem lainnya dan mampu membuat daftar komponen yang mendukung sistem tersebut. Berdasarkan penjelasan sebelumnya sistem yang akan dianalisis adalah *Plat griffer*, *Cam and follower* dan *Panel electric*. Komponen-komponen dari setiap subsistem yang sering mengalami kerusakan adalah:

4. *Plat griffer* terdiri dari:
 - *Cutting plat*
 - *Heater*
5. *Cam and follower* terdiri dari:
 - *As pusher opp*
6. *Panel electric* terdiri dari:
 - *Sensor*
 - *Plc cable*

4.2.3. Deskripsi Sistem dan Blok Diagram

Tahap ini digunakan untuk menunjukkan hubungan antar fungsi yang membentuk suatu sistem kerja. Melalui blok diagram dapat ditunjukkan bahwa sistem

kerja dari Mesin Chimei terdiri dari *input*, *process*, dan juga *output*. Deskripsi sistem dan blok diagram terdiri dari beberapa item yang harus dikembangkan yaitu:

1. Deskripsi Sistem

Pendeskripsi sistem diperlukan untuk mengetahui komponen-komponen yang terdapat didalam sistem tersebut.

Input

Sebelum masuk mesin chimei pack dijalankan menuju conveyor, kemudian mesin chimei akan bekerja bila pack tersebut menutupi sensor.

Process

Setelah menutupi sensor mesin chimei secara otomatis akan mendorong 5 pack tersebut menggunakan as pusher dan dilanjutkan dengan membungkus pack tersebut menggunakan foil, dimana foil tersebut akan dipotong sesuai ukuran dengan cutting plat dan direkatkan dengan plat heater. Kemudian, dilanjutkan dengan proses yang sama untuk mendapatkan 1 opp yang terdiri dari 5 pack.

Output

Setelah mendapatkan 1 opp dilanjutkan dengan memasukkan kedalam master box.

2. Blok Diagram

Blok diagram merupakan diagram yang menggambarkan suatu sistem dengan jelas. Blok diagram Mesin Chimei dapat dilihat pada Diagram 4.1

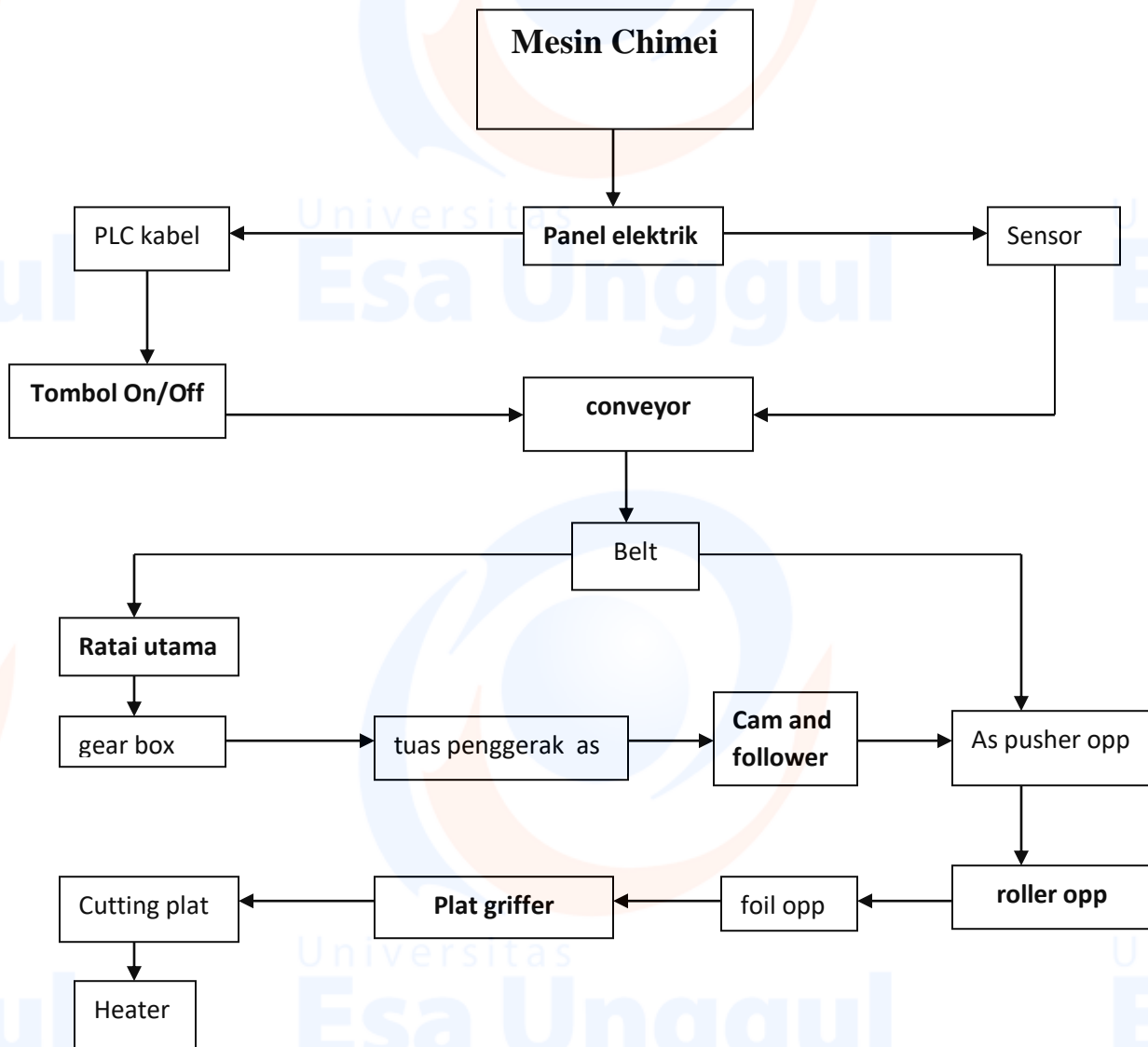
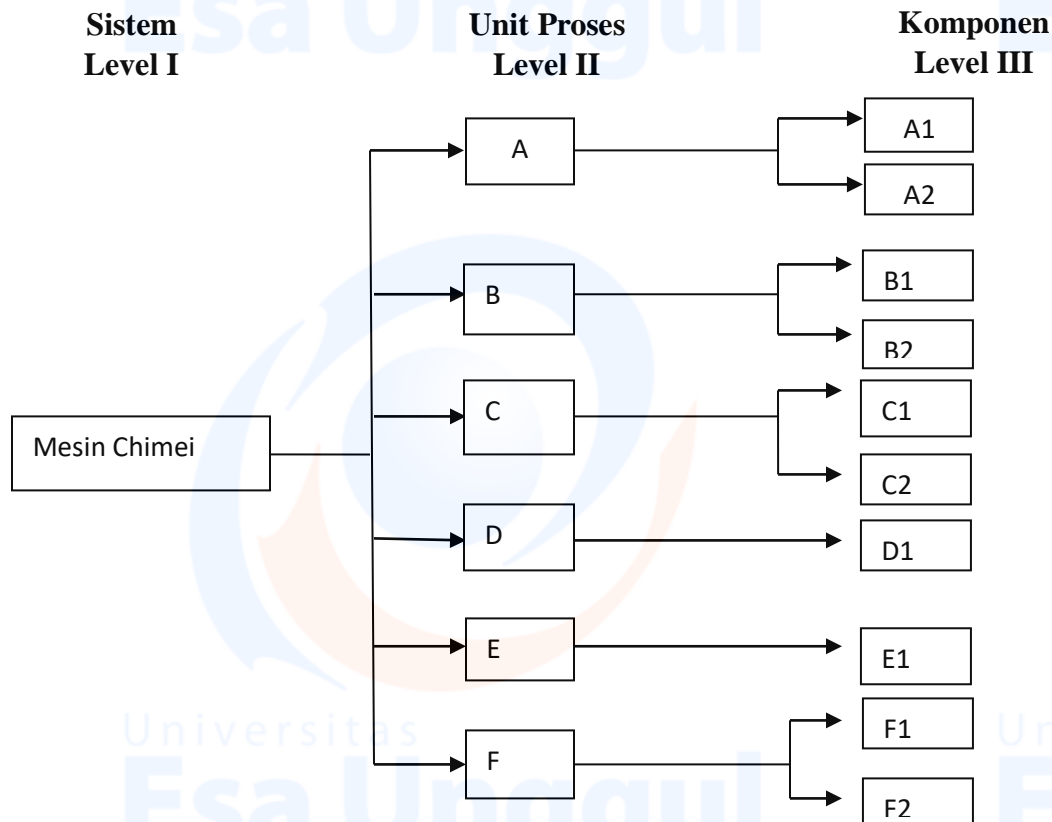


Diagram 4.1. Blok Diagram Fungsi Mesin Chimei

3. System Work Breakdown Structure (SWBS)

System Work Breakdown Structure (SWBS) merupakan struktur yang menggambarkan sejumlah komponen, mesin, unit proses, dan sub sistem yang dapat mengakibatkan kegagalan dalam sebuah sistem kerja. Pada tahapan ini akan

digambarkan himpunan daftar komponen untuk setiap bagian-bagian fungsi sub sistem. Sistem ini terdiri dari dua komponen utama yaitu diagram dan kode dari sub sistem/komponen yang mengalami kegagalan. SWBS pada Mesin Chimei dapat dilihat pada Gambar 4.2.



Gambar 4.2. System Work Breakdown Structure (SWBS)

4.2.4. Fungsi sistem dan kegagalan fungsi

Fungsi sistem ini merupakan kinerja yang diharapkan dari suatu sistem untuk dapat beroperasi sedangkan kegagalan fungsi merupakan ketidakmampuan suatu fungsi untuk memenuhi standar yang diharapkan. Aktivitas penelusuran data akan lebih terstruktur dan mudah dilakukan

dengan pengkodean fungsi dan kegagalan fungsi. Pengkodean fungsi dan kegagalan fungsi dilakukan dengan keterangan sebagai berikut:

- Huruf melambangkan nama unit operasi dari mesin Chimei
- Angka pertama melambangkan nama komponen utama mesin Chimei
- Angka kedua melambangkan kegagalan fungsi

Fungsi sistem dan kegagalan fungsi mesin Chimei dapat dilihat pada

Tabel 4.4.

Tabel 4.4. Fungsi Sistem dan Kegagalan Fungsi (T3)

| Kode Fungsi Mesin | Kode Kegagalan Fungsi | Uraian Fungsi |
|-------------------|-----------------------|--|
| A.1 | | Untuk memperoses pack yang di dorong dengan ass pusher yang terdiri dari cutting plat dan plat heater |
| | A.1.1 | Untuk memotong foil sesuai ukuran yang ditentukan |
| | A.1.2 | Untuk merekatkan foil yang membungkus pack menjadi opp |
| A.2 | | Alat untuk mengerakan as pusher opp |
| | A.2.1 | Untuk mendorong pack yang telah di jalankan oleh conveyor |
| A.3 | | Sebagai otak untuk menjalankan kelistrikan |
| | A.3.1 | Untuk membaca pack apabila pack menutupi sensor maka mesin chimei akan bekerja apabila tidak menutupi sensor mesin tidak bekerja |
| | A.3.2 | Sebagai alat untuk menyambungkan panel ke sensor |

(Sumber: PT XYZ, 2020)

4.2.5. Failure mode and effect analysis (FMEA)

Failure mode and effect analysis (FMEA) adalah suatu prosedur terstruktur untuk mengidentifikasi dan mencegah sebanyak mungkin mode kegagalan (*failure mode*)

mode). FMEA berguna untuk memprediksi komponen mana yang kritis, yang sering rusak dan jika terjadi kerusakan pada komponen tersebut maka sejauh mana pengaruhnya terhadap fungsi sistem secara keseluruhan pada pengemas pack Dengan demikian dapat diberikan perlakuan lebih terhadap komponen tersebut dengan tindakan pemeliharaan yang tepat. Hal utama dalam FMEA adalah *Risk Priority Number* (RPN). RPN merupakan hasil perhitungan matematis dari keseriusan effect (*severity*), kemungkinan terjadinya cause menimbulkan kegagalan yang berhubungan dengan effect (*occurrence*), dan kemampuan untuk mendeteksi kegagalan sebelum terjadi (*detection*). RPN dapat ditunjukkan dengan persamaan sebagai berikut:

$$\text{RPN} = \text{Severity} * \text{Occurrence} * \text{Detection}$$

Hasil dari RPN menunjukkan tingkatan prioritas peralatan yang dianggap beresiko tinggi sebagai penunjuk searah tindakan perbaikan. Berikut data dari komponen mesin Chimei yang akan diidentifikasi penyebab kegagalannya dapat dilihat pada tabel 4.5.

4.2.6. Logic Tree Analysis (LTA)

Logic Tree Analysis (LTA) mengandung informasi nomor, nama kegagalan fungsi, komponen yang mengalami kegagalan, fungsi komponen dan mode kerusakan komponen dan analisis kekritisan. Analisis kekritisan menempatkan setiap kerusakan komponen menjadi 4 kategori yaitu:

1. Kategori A (*Safety problem*)
2. Kategori B (*Outage problem*)
3. Kategori C (*Economic problem*)
4. Kategori D (*Hidden failure*)

Analisis ini memiliki tujuan untuk memberikan prioritas pada tiap mode kerusakan dan melakukan tinjauan dan fungsi, kegagalan fungsi sehingga status mode kerusakan tidak sama. Empat hal yang penting dalam analisis kekritisan yaitu sebagai berikut:

1. *Evident*, yaitu apakah operator mengetahui dalam kondisi normal, telah terjadi ganguan dalam sistem?
2. *Safety*, yaitu apakah mode kerusakan ini menyebabkan masalah keselamatan?
3. *Outage*, yaitu apakah mode kerusakan ini mengakibatkan seluruh atau sebagian mesin terhenti?
4. *Category*, yaitu pengkategorian yang diperoleh setelah menjawab pertanyaan-pertanyaan yang diajukan

Contoh pengisian tabel LTA adalah sebagai berikut:

A.1.1 *Cutting plat* tumpul.

1. Komponen yang mengalami kerusakan adalah *cutting plat*.
2. Fungsi *cutting plat* adalah untuk memotong foil sesuai ukuran yang digunakan.
3. Mode kerusakan (*failure mode*) adalah *cutting plat* tumpul sehingga menyebabkan kerusakan.
4. Analisis kekritisan (mode kerusakan):
 - a. *Evident* : Y
 - b. *Safety* : T
 - c. *Outage* : Y
 - d. *Category* : B

Tabel 4.5. Failure Mode and Effect Analysis (FMEA) (T4)

| No | Komponen | Failure Mode | Failure Cause | Failure Effects | Severity | Occurance | Detection | RPN |
|----|---------------|------------------------------------|--|--|----------|-----------|-----------|-----|
| 1. | Cutting plat | Cutting plat tumpul | Terjadi benturan dengan bantalan cutting plat | Foil tidak terpotong dengan sempurna yang membuat mesin berhenti proses | 6 | 7 | 3 | 126 |
| 2. | Heater | Plat heater tidak panas | Kabel isolator plat heater putus dan terjadi gesekan dengan plat | Foil tidak merekat pada pack yang membuat pack tidak terbungkus | 6 | 7 | 3 | 126 |
| 3. | As pusher opp | As pusher haus dan tidak terdorong | Ass pusher seret pada saat mendorong pack | Pack tidak dapat tedorong dan membuat prosester hambat | 6 | 5 | 3 | 90 |
| 4. | Sensor | Sensor tidak berfungsi | Umur sensor yang sudah lama | Pack yang menutupi sensor tidak bekerja karna sensor mati | 5 | 4 | 2 | 40 |
| 5. | Plc cable | Plc cable putus | Terjadi gesekan pada plc cable yang membuat cable putus | Sensor sensor pada mesin tidak bekerja yang membuat kegagalan dalam proses | 6 | 4 | 2 | 48 |

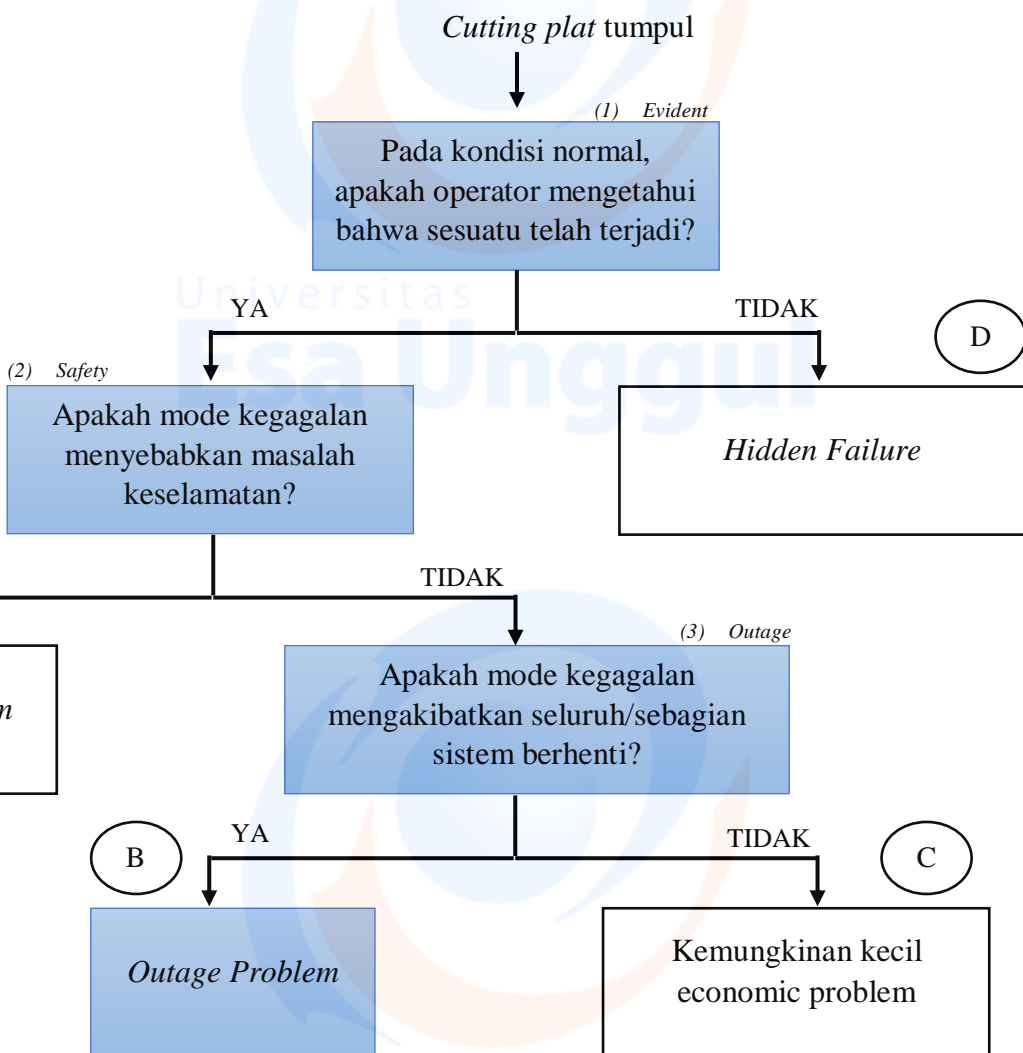


Diagram 4.2. Logic Tree Analysis Cutting plat

Berikut ini merupakan rekapitulasi *Logic Tree Analysis* pada Mesin Chimei dapat dilihat pada Tabel 4.6.

Tabel 4.6. Rekapitulasi Identifikasi Hasil LTA

| No | Komponen | Failure Mode | Evident | Safety | Outage | Category |
|----|---------------|------------------------------------|---------|--------|--------|----------|
| 1. | Cutting plat | Cutting plat tumpul | Y | T | Y | B |
| 2. | Heater | Plat heater tidak panas | Y | T | Y | B |
| 3. | As pusher opp | As pusher haus dan tidak terdorong | Y | T | Y | B |
| 4. | Sensor | Sensor tidak berfungsi | Y | T | Y | B |
| 5. | Plc cable | Plc cable putus | Y | T | Y | B |

4.2.7. Pemilihan tindakan perawatan

Menurut Smith (2003), pemilihan tindakan didasarkan dengan menjawab pertanyaan penuntun (*selection guide*) yang disesuaikan pada road map pemilihan tindakan. Pemilihan tindakan merupakan tahap terakhir dalam proses RCM. Proses ini akan menentukan tindakan yang tepat untuk mode kerusakan tertentu. Jika tugas pencegahan secara teknis tidak menguntungkan untuk dilakukan, tindakan standar yang harus dilakukan adalah bergantung pada konsekuensi kegagalan yang terjadi. Pemilihan tindakan pencegahan hasil analisis terhadap FMEA dan LTA adalah sebagai berikut:

1. Condition Directed (CD), tindakan yang diambil yang bertujuan untuk mendeteksi kerusakan dengan cara *visual inspection*, memeriksa alat, serta memonitoring sejumlah data yang ada. Apabila ada pendekslian ditemukan gejala-gejala kerusakan peralatan maka dilanjutkan dengan perbaikan atau penggantian komponen.
2. Time Directed (TD), tindakan yang diambil yang lebih berfokus pada aktivitas pergantian yang dilakukan secara berkala.
3. Finding Failure (FF), tindakan yang diambil dengan tujuan untuk menemukan kerusakan komponen yang tersembunyi dengan pemeriksaan berkala.

Adapun pertanyaan yang diajukan untuk memnentukan pemilihan tindakan yang akan dipilih adalah sebagai berikut:

1. Apakah hubungan kerusakan dengan age reliability diketahui?
2. Apakah tindakan TD bisa digunakan? : Y/N
3. Apakah tindakan CD dapat digunakan? : Y/N
4. Apakah termasuk dalam mode kerusakan D? : Y/N
5. Apakah F.F task dapat dipakai? : Y/N
6. Apakah tindakan yang dipilih efektif? : Y/N
7. Pemilihan tindakan (Selection task):TD/CD/FF

Berikut adalah contoh penyusunan pemilihan tindakan untuk komponen *cutting plat*.

A.1.1 *Cutting plat* tumpul.

1. Komponen yang mengalami kerusakan adalah *cutting plat*.
2. Fungsi *cutting plat* adalah sebagai pembagi untuk memotong foil sesuai ukuran yang digunakan.

Adapun petunjuk pemilihan tindakan (*selection guide*), yaitu:

1. Apakah hubungan kerusakan dengan age reliability diketahui? : Y
2. Apakah tindakan TD bisa digunakan? : Y
3. Apakah tindakan CD dapat digunakan? : T
4. Apakah termasuk dalam mode kerusakan D? : T
5. Pertanyaan 5 dilewat
6. Apakah tindakan yang dipilih efektif? : Y
7. Pemilihan tindakan (Selection task): TD

Penyusunan pemilihan tindakan untuk komponen *cutting plat* dapat dilihat pada

Diagram 4.3.

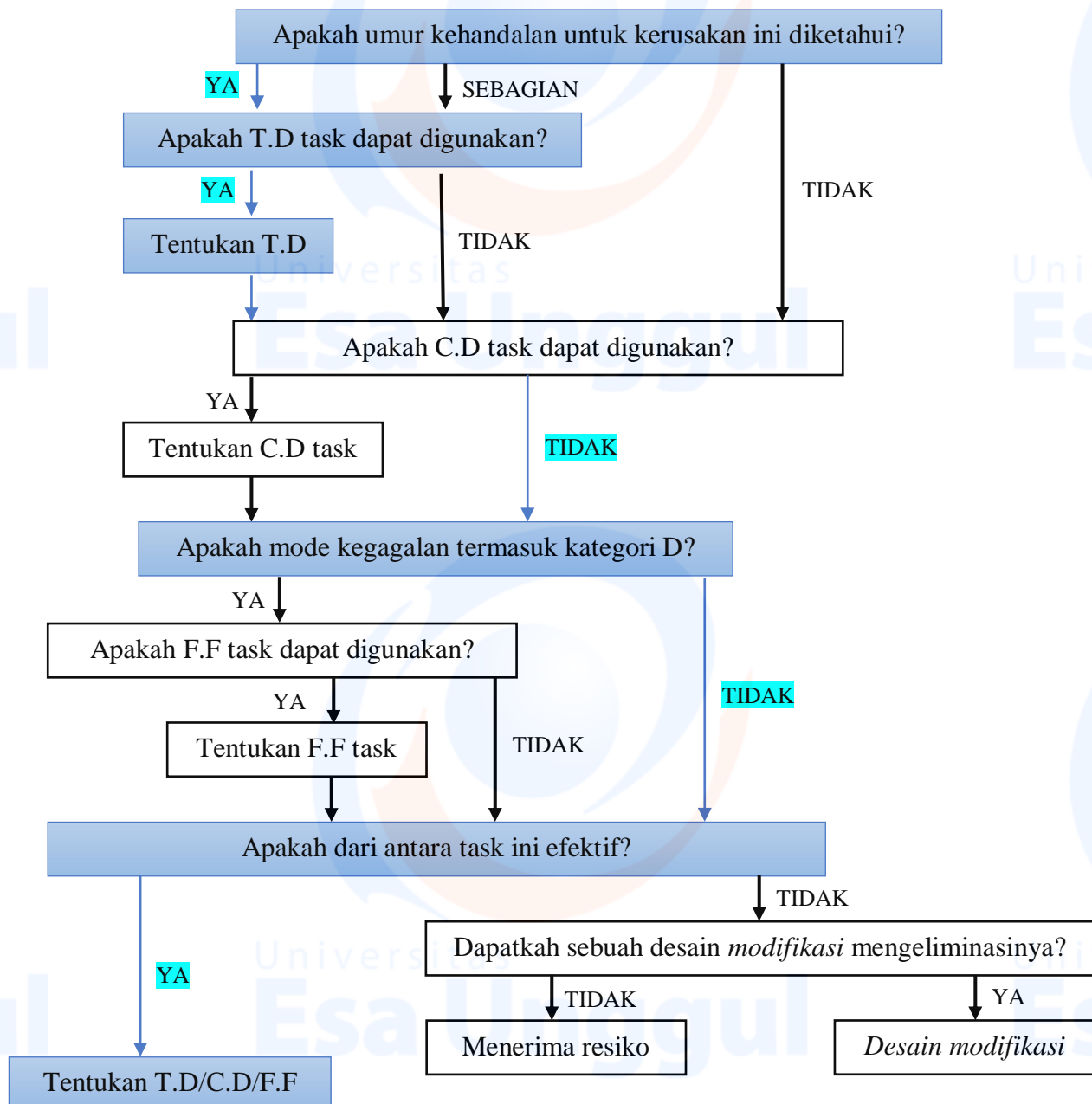


Diagram 4.3 Diagram Pemilihan Tindakan

Pemilihan tindakan dapat dilakukan dengan mengajukan pertanyaan di atas dan dilakukan rekapitulasi pengambilan tindakan kedalam sebuah table, dapat dilihat pada Tabel 4.7.

Tabel 4.7. Pemilihan Tindakan Perawatan Mesin Chimei

| No | Komponen | Failure Mode | Selection Guide | | | | | | | Selection Task |
|----|----------------------|-------------------------------------|-----------------|---|---|---|---|---|---|----------------|
| | | | 1 | 2 | 3 | 4 | 5 | 6 | 7 | |
| 1. | <i>Cutting plat</i> | Cutting plat tumpul | Y | Y | T | T | - | Y | - | T.D |
| 2. | <i>Heater</i> | Plat heater tidak panas | Y | Y | T | T | - | Y | - | T.D |
| 3. | <i>As pusher opp</i> | As pusher haus dan tidak ter dorong | Y | Y | T | T | - | Y | - | T.D |
| 4. | <i>Sensor</i> | Sensor tidak berfungsi | Y | T | Y | T | - | Y | - | C.D |
| 5. | <i>Plc cable</i> | Plc cable putus | Y | T | Y | T | - | Y | - | C.D |

4.2.8. Perhitungan keandalan komponen

Perhitungan keandalan meliputi kegiatan pengujian distribusi, perhitungan parameter distribusi dan perhitungan MTTF dan MTTR. Perlu diperhatikan bahwa perhitungan keandalan ini untuk komponen yang di mesin chimei. Untuk mesin yang memiliki performance maintenance paling rendah akan dibuatkan interval atau jadwal perawatan menggunakan RCM.

4.2.8.1 Interval kerusakan komponen

Berikut ini merupakan data interval kerusakan komponen di mesin chimei PT XYZ. Data ini diperoleh berdasarkan rekam historis kerusakan mesin di PT XYZ. Berikut data interval waktu kerusakan komponen dapat dilihat pada Tabel 4.8.

Tabel 4.8. Data Interval Waktu Kerusakan Komponen

| Interval Waktu Kerusakan Komponen (Hari) | | |
|--|---------------|----------------------|
| <i>Cutting plat</i> | <i>Heater</i> | <i>As pusher opp</i> |
| 51 | 42 | 50 |
| 46 | 64 | 54 |
| 24 | 57 | 36 |
| 15 | 53 | 52 |
| 31 | 22 | 66 |
| 31 | 33 | 57 |
| 27 | 42 | 61 |
| 34 | 52 | 36 |
| 24 | 31 | 55 |
| 37 | 77 | 45 |
| 50 | 46 | 56 |
| 33 | 33 | 65 |
| 29 | 37 | 86 |
| 45 | 37 | - |
| 48 | 59 | - |
| 42 | - | - |
| 43 | - | - |
| 17 | - | - |
| 25 | - | - |
| 34 | - | - |

Sumber : PT XYZ

Kerusakan pertama komponen cutting plat terjadi pada tanggal 5 Januari 2019, dan kerusakan kedua terjadi pada tanggal 25 Februari 2019. Berdasarkan informasi ini dapat dikalkulasikan bahwa selang waktu dari kerusakan pertama ke kerusakan kedua adalah 51 hari.

4.2.8.2 Interval perbaikan komponen

Berikut ini merupakan data waktu perawatan komponen yang dimesin chimei. Data ini diperoleh berdasarkan rekam historis kerusakan mesin di PT XYZ. Data historis tersebut dapat dilihat pada Tabel 4.9.

Tabel 4.9 Data Interval Waktu Perbaikan Komponen

| Interval Waktu Perbaikan Komponen (Menit) | | |
|---|--------|---------------|
| Cutting plat | Heater | As pusher opp |
| 55 | 90 | 45 |
| 80 | 35 | 90 |
| 90 | 30 | 90 |
| 60 | 50 | 35 |
| 35 | 60 | 45 |
| 40 | 47 | 130 |
| 30 | 53 | 60 |
| 47 | 60 | 85 |
| 10 | 13 | 120 |
| 60 | 30 | 45 |
| 53 | 60 | 36 |
| 30 | 45 | 20 |
| 35 | 30 | 50 |
| 120 | 50 | - |
| 63 | 65 | - |
| 30 | - | - |
| 47 | - | - |
| 46 | - | - |
| 65 | - | - |
| 45 | - | - |

Sumber : PT XYZ

Komponen cutting plat yang mengalami kerusakan kemudian dilakukan perbaikan dimulai pada pukul 15.00 WIB dan selesai diperbaiki pada pukul 15.55 WIB. Berdasarkan informasi ini dapat dikalkulasi bahwa selang waktu perawatan komponen cutting plat adalah 55 menit.

4.3 Penentuan Distribusi Kerusakan Komponen

Dalam melakukan penentuan distribusi kerusakan komponen digunakan metode *Least Square Curve Fitting*, yaitu berdasarkan nilai *Index of Fit (Correlation Coefficient)* yang paling besar (Novarina, 2010). Perhitungan ini digunakan untuk mendapatkan distribusi kerusakan yang paling sesuai dengan pola distribusinya yaitu apakah distribusi Normal, Eksponensial, Lognormal ataupun Weibull. Uji MTTF dan uji distribusi untuk menghitung MTTR. Contoh perhitungan yang akan diuraikan berikut ini merupakan perhitungan uji distribusi MTTF dan MTTR untuk komponen cutting plat.

4.3.1 Uji Distribusi untuk menghitung MTTF

1. Interval kerusakan komponen cutting plat

a. Distribusi Normal

Tabel 4.10 Interval kerusakan komponen cutting plat distribusi normal.

| i | Ti | F(Ti) | Yi | Ti ² | Yi ² | Ti . Yi | Ti- $\bar{T}i$ | (Ti- $\bar{T}i$) ² |
|-------|--------|----------|-------|-----------------|-----------------|----------|----------------|--------------------------------|
| 1 | 21600 | 0,034314 | -1,8 | 466560000 | 3,24 | -38880 | -27792 | 772395264 |
| 2 | 24480 | 0,083333 | -1,3 | 599270400 | 1,69 | -31824 | -24912 | 620607744 |
| 3 | 34560 | 0,132353 | -1,1 | 1194393600 | 1,21 | -38016 | -14832 | 219988224 |
| 4 | 34560 | 0,181373 | -0,9 | 1194393600 | 0,81 | -31104 | -14832 | 219988224 |
| 5 | 36000 | 0,230392 | -0,7 | 1296000000 | 0,49 | -25200 | -13392 | 179345664 |
| 6 | 38880 | 0,279412 | -0,5 | 1511654400 | 0,25 | -19440 | -10512 | 110502144 |
| 7 | 41760 | 0,328431 | -0,4 | 1743897600 | 0,16 | -16704 | -7632 | 58247424 |
| 8 | 44640 | 0,377451 | -0,3 | 1992729600 | 0,09 | -13392 | -4752 | 22581504 |
| 9 | 44640 | 0,426471 | -0,1 | 1992729600 | 0,01 | -4464 | -4752 | 22581504 |
| 10 | 47520 | 0,47549 | -0,06 | 2258150400 | 0,0036 | -2851,2 | -1872 | 3504384 |
| 11 | 48960 | 0,52451 | 0,06 | 2397081600 | 0,0036 | 2937,6 | -432 | 186624 |
| 12 | 48960 | 0,573529 | 0,1 | 2397081600 | 0,01 | 4896 | -432 | 186624 |
| 13 | 53280 | 0,622549 | 0,3 | 2838758400 | 0,09 | 15984 | 3888 | 15116544 |
| 14 | 60480 | 0,671569 | 0,4 | 3657830400 | 0,16 | 24192 | 11088 | 122943744 |
| 15 | 61920 | 0,720588 | 0,5 | 3834086400 | 0,25 | 30960 | 12528 | 156950784 |
| 16 | 64800 | 0,769608 | 0,7 | 4199040000 | 0,49 | 45360 | 15408 | 237406464 |
| 17 | 66240 | 0,818627 | 0,9 | 4387737600 | 0,81 | 59616 | 16848 | 283855104 |
| 18 | 69120 | 0,867647 | 1,1 | 4777574400 | 1,21 | 76032 | 19728 | 389193984 |
| 19 | 72000 | 0,916667 | 1,3 | 5184000000 | 1,69 | 93600 | 22608 | 511121664 |
| 20 | 73440 | 0,965686 | 1,8 | 5393433600 | 3,24 | 132192 | 24048 | 578306304 |
| TOTAL | 987840 | 10 | 0 | 53316403200 | 15,9072 | 263894,4 | 0 | 4,525E+09 |
| AVG | 49392 | 0,5 | 0 | 2665820160 | 0,79536 | 13194,72 | 0 | 226250496 |

Uraian Perhitungan:

1. i : data ke-i
2. N : jumlah data
3. T_i : waktu antara kerusakan komponen setelah diranking
4. $F(T_i)$: diperoleh dari rumus $(i-0,3)/(N+0,4)$, sehingga $F(T_i)$ data ke-1 adalah $(1-0,3)/(20+0,4) = 0,034314$, dst.
5. Y_i : didapat dari Tabel Standardized Normal Probabilities dimana $Z = F(T_i) = 0,034314$, sehingga diperoleh nilai $Y_i = -1,8$.
6. T_i^2 : diperoleh dari $T_i \times T_i$
7. Y_i^2 : diperoleh dari $Y_i \times Y_i$
8. $T_i \cdot Y_i$: diperoleh dari perkalian T_i dengan Y_i
9. $T_i - \bar{T}i$: diperoleh dari pengurangan T_i dengan nilai rata-rata $\bar{T}i$
10. $(T_i - \bar{T}i)^2$: diperoleh dari $T_i - \bar{T}i$ dikuadratkan
11. Index of Fit

$$r = \frac{n \sum_{i=1}^n T_i Y_i - (\sum_{i=1}^n T_i)(\sum_{i=1}^n Y_i)}{\sqrt{[n(\sum_{i=1}^n T_i^2) - (\sum_{i=1}^n T_i)^2][n(\sum_{i=1}^n Y_i^2) - (\sum_{i=1}^n Y_i)^2]}}$$

$$r = \frac{20(263894,4) - (987840)(0)}{\sqrt{[20(53316403200) - (987840)^2][20(15,9072) - (0)^2]}}$$

$$r = 0,9836$$

b. Distribusi Lognormal

Tabel 4.11 Interval kerusakan komponen cutting plat distribusi lognormal.

| i | Ti | F(Ti) | Yi | Ti=ln(T) | Ti ² | Yi ² | Ti . Yi | Ti- <bar{ti}< bar=""></bar{ti}<> | (Ti- <bar{ti})<sup>2</bar{ti})<sup> |
|-------|--------|----------|-------|----------|-----------------|-----------------|----------|----------------------------------|-------------------------------------|
| 1 | 21600 | 0,034314 | -1,8 | 9,9804 | 99,6094 | 3,24 | -17,9648 | -0,7748 | 0,6003 |
| 2 | 24480 | 0,083333 | -1,3 | 10,1056 | 102,1234 | 1,69 | -13,1373 | -0,6496 | 0,4220 |
| 3 | 34560 | 0,132353 | -1,1 | 10,4505 | 109,2120 | 1,21 | -11,4955 | -0,3048 | 0,0929 |
| 4 | 34560 | 0,181373 | -0,9 | 10,4505 | 109,2120 | 0,81 | -9,40541 | -0,3048 | 0,0929 |
| 5 | 36000 | 0,230392 | -0,7 | 10,4913 | 110,0668 | 0,49 | -7,34389 | -0,2640 | 0,0697 |
| 6 | 38880 | 0,279412 | -0,5 | 10,5682 | 111,6876 | 0,25 | -5,28412 | -0,1870 | 0,0350 |
| 7 | 41760 | 0,328431 | -0,4 | 10,6397 | 113,2031 | 0,16 | -4,25588 | -0,1155 | 0,0133 |
| 8 | 44640 | 0,377451 | -0,3 | 10,7064 | 114,6267 | 0,09 | -3,21192 | -0,0488 | 0,0024 |
| 9 | 44640 | 0,426471 | -0,1 | 10,7064 | 114,6267 | 0,01 | -1,07064 | -0,0488 | 0,0024 |
| 10 | 47520 | 0,47549 | -0,06 | 10,7689 | 115,9693 | 0,0036 | -0,64613 | 0,0137 | 0,0002 |
| 11 | 48960 | 0,52451 | 0,06 | 10,7988 | 116,6132 | 0,0036 | 0,647926 | 0,0435 | 0,0019 |
| 12 | 48960 | 0,573529 | 0,1 | 10,7988 | 116,6132 | 0,01 | 1,079876 | 0,0435 | 0,0019 |
| 13 | 53280 | 0,622549 | 0,3 | 10,8833 | 118,4466 | 0,09 | 3,264995 | 0,1281 | 0,0164 |
| 14 | 60480 | 0,671569 | 0,4 | 11,0101 | 121,2216 | 0,16 | 4,404027 | 0,2548 | 0,0649 |
| 15 | 61920 | 0,720588 | 0,5 | 11,0336 | 121,7403 | 0,25 | 5,516799 | 0,2784 | 0,0775 |
| 16 | 64800 | 0,769608 | 0,7 | 11,0791 | 122,7456 | 0,49 | 7,755343 | 0,3238 | 0,1049 |
| 17 | 66240 | 0,818627 | 0,9 | 11,1010 | 123,2331 | 0,81 | 9,990936 | 0,3458 | 0,1196 |
| 18 | 69120 | 0,867647 | 1,1 | 11,1436 | 124,1798 | 1,21 | 12,25796 | 0,3884 | 0,1508 |
| 19 | 72000 | 0,916667 | 1,3 | 11,1844 | 125,0913 | 1,69 | 14,53975 | 0,4292 | 0,1842 |
| 20 | 73440 | 0,965686 | 1,8 | 11,2042 | 125,5346 | 3,24 | 20,1676 | 0,4490 | 0,2016 |
| TOTAL | 987840 | 10 | 0 | 215,1047 | 2315,7561 | 15,9072 | 5,8096 | 0 | 2,2547 |
| AVG | 49392 | 0,5 | 0 | 10,7552 | 115,7878 | 0,7954 | 0,2905 | 0 | 0,1127 |

Uraian Perhitungan:

1. i : data ke-i
2. N : jumlah data
3. T_i : waktu antara kerusakan komponen setelah diranking
4. F(T_i) : diperoleh dari rumus $(i-0,3)/(N+0,4)$, sehingga F(T_i) data ke-1 adalah adalah $(1-0,3)/(20+0,4) = 0,034314$, dst.
5. Y_i : didapat dari Tabel Standarized Normal Probabilities dimana Z = F(T_i) = 0,034314, sehingga diperoleh nilai Y_i = -1,8.
6. T_i=LN(T) : waktu antara kerusakan distribusi Lognormal diperoleh oleh rumus LN(T) sehingga T_i data Ke-1 adalah LN(T) = 9,9804.
7. T_i² : diperoleh dari T_i x T_i
8. Y_i² : diperoleh dari Y_i x Y_i
9. T_i Y_i : diperoleh dari perkalian T_i dengan Y_i
10. T_i- : diperoleh dari pengurangan T_i dengan nilai rata-rata
11. (T_i-2 : diperoleh dari T_i-- 12. Index of Fit

$$r = \frac{n \sum_{i=1}^n T_i Y_i - (\sum_{i=1}^n T_i)(\sum_{i=1}^n Y_i)}{\sqrt{[n(\sum_{i=1}^n T_i^2) - (\sum_{i=1}^n T_i)^2][n(\sum_{i=1}^n Y_i^2) - (\sum_{i=1}^n Y_i)^2]}}$$

$$r = \frac{20(5,8096) - (215,1047)(0)}{\sqrt{[20(2315,7561) - (215,1047)^2][20(15,9072) - (0)^2]}}$$

$$r = 0,9700$$

c. Distribusi Eksponensial

Tabel 4.12 Interval kerusakan komponen cutting plat distribusi eksponensial.

| i | Ti | F(Ti) | Yi = ln[1 - F(Ti)] | Ti ² | Yi ² | Ti . Yi | Ti - Tī | (Ti - Tī) ² |
|-------|--------|----------|--------------------|-----------------|-----------------|---------|----------|-------------------------|
| 1 | 21600 | 0,034314 | -0,0349 | -0,0349 | 466560000 | 0,0012 | -754,191 | -27792 |
| 2 | 24480 | 0,083333 | -0,0870 | -0,0870 | 599270400 | 0,0076 | -2130,04 | -24912 |
| 3 | 34560 | 0,132353 | -0,1420 | -0,1420 | 1194393600 | 0,0202 | -4906,49 | -14832 |
| 4 | 34560 | 0,181373 | -0,2001 | -0,2001 | 1194393600 | 0,0401 | -6916,36 | -14832 |
| 5 | 36000 | 0,230392 | -0,2619 | -0,2619 | 1296000000 | 0,0686 | -9427,47 | -13392 |
| 6 | 38880 | 0,279412 | -0,3277 | -0,3277 | 1511654400 | 0,1074 | -12740,5 | -10512 |
| 7 | 41760 | 0,328431 | -0,3981 | -0,3981 | 1743897600 | 0,1585 | -16626,3 | -7632 |
| 8 | 44640 | 0,377451 | -0,4739 | -0,4739 | 1992729600 | 0,2246 | -21156,4 | -4752 |
| 9 | 44640 | 0,426471 | -0,5559 | -0,5559 | 1992729600 | 0,3091 | -24817,4 | -4752 |
| 10 | 47520 | 0,47549 | -0,6453 | -0,6453 | 2258150400 | 0,4164 | -30664,2 | -1872 |
| 11 | 48960 | 0,52451 | -0,7434 | -0,7434 | 2397081600 | 0,5527 | -36397,3 | -432 |
| 12 | 48960 | 0,573529 | -0,8522 | -0,8522 | 2397081600 | 0,7263 | -41724,3 | -432 |
| 13 | 53280 | 0,622549 | -0,9743 | -0,9743 | 2838758400 | 0,9493 | -51911,5 | 3888 |
| 14 | 60480 | 0,671569 | -1,1134 | -1,1134 | 3657830400 | 1,2397 | -67340,1 | 11088 |
| 15 | 61920 | 0,720588 | -1,2751 | -1,2751 | 3834086400 | 1,6258 | -78952,3 | 12528 |
| 16 | 64800 | 0,769608 | -1,4680 | -1,4680 | 4199040000 | 2,1549 | -95124,6 | 15408 |
| 17 | 66240 | 0,818627 | -1,7072 | -1,7072 | 4387737600 | 2,9145 | -113085 | 16848 |
| 18 | 69120 | 0,867647 | -2,0223 | -2,0223 | 4777574400 | 4,0896 | -139780 | 19728 |
| 19 | 72000 | 0,916667 | -2,4849 | -2,4849 | 5184000000 | 6,1748 | -178913 | 22608 |
| 20 | 73440 | 0,965686 | -3,3722 | -3,3722 | 5393433600 | 11,3718 | -247655 | 24048 |
| TOTAL | 987840 | 10 | -19,1399 | -19,1399 | 53316403200 | 33,1530 | -1181023 | 0 |
| AVG | 49392 | 0,5 | -0,9570 | -0,9570 | 2665820160 | 3,1574 | -59051,2 | 0 |

Uraian Perhitungan:

1. i : data ke-i
2. N : jumlah data
3. T_i : waktu antara kerusakan komponen setelah diranking
4. F(T_i) : diperoleh dari rumus (i-0,3)/(N+0,4), sehingga F(T_i) data ke-1 adalah adalah (1-0,3)/(20+0,4) = 0,034314, dst.
5. Y_i : diperoleh dari rumus Y = LN[1-F(T_i)], sehingga nilai Y = LN[1-0,034314] = -0,0349.
6. T_i² : diperoleh dari T_i x T_i
7. Y_i² : diperoleh dari Y_i x Y_i
8. T_i Y_i : diperoleh dari perkalian T_i dengan Y_i
9. T_i - T̄_i : diperoleh dari pengurangan T_i dengan nilai rata-rata T̄_i
10. (T_i - T̄_i)² : diperoleh dari T_i - T̄_i dikuadratkan
11. Index of Fit

$$r = \frac{n \sum_{i=1}^n T_i Y_i - (\sum_{i=1}^n T_i)(\sum_{i=1}^n Y_i)}{\sqrt{[n(\sum_{i=1}^n T_i^2) - (\sum_{i=1}^n T_i)^2][n(\sum_{i=1}^n Y_i^2) - (\sum_{i=1}^n Y_i)^2]}}$$

$$r = \frac{20(-1181023) - (987840)(-19,1399)}{\sqrt{[20(533164) - (987840)^2][20(33,1529) - (-19,1399)^2]}}$$

$$r = -0,9095$$

c. Distribusi Weibull

Tabel 4.13 Interval kerusakan komponen cutting plat distribusi weibull.

| i | Ti | F(Ti) | Ti= ln(Ti) | Yi= ln[-ln(1-F(Ti))] | Ti ² | Yi ² | Ti . Yi | Ti-̄Ti | (Ti-̄Ti) ² |
|-------|--------|----------|------------|----------------------|-----------------|-----------------|----------|-----------|-----------------------|
| 1 | 21600 | 0,034314 | 9,9804 | -3,354802509 | 99,6094 | 11,2547 | -33,4824 | -0,774786 | 0,6003 |
| 2 | 24480 | 0,083333 | 10,1056 | -2,441716399 | 102,1234 | 5,9620 | -24,675 | -0,649623 | 0,4220 |
| 3 | 34560 | 0,132353 | 10,4505 | -1,952137671 | 109,2120 | 3,8108 | -20,4007 | -0,304782 | 0,0929 |
| 4 | 34560 | 0,181373 | 10,4505 | -1,608807204 | 109,2120 | 2,5883 | -16,8128 | -0,304782 | 0,0929 |
| 5 | 36000 | 0,230392 | 10,4913 | -1,339891087 | 110,0668 | 1,7953 | -14,0572 | -0,26396 | 0,0697 |
| 6 | 38880 | 0,279412 | 10,5682 | -1,115695152 | 111,6876 | 1,2448 | -11,7909 | -0,186999 | 0,0350 |
| 7 | 41760 | 0,328431 | 10,6397 | -0,920953918 | 113,2031 | 0,8482 | -9,79867 | -0,11554 | 0,0133 |
| 8 | 44640 | 0,377451 | 10,7064 | -0,746689513 | 114,6267 | 0,5575 | -7,99435 | -0,048849 | 0,0024 |
| 9 | 44640 | 0,426471 | 10,7064 | -0,587084006 | 114,6267 | 0,3447 | -6,28555 | -0,048849 | 0,0024 |
| 10 | 47520 | 0,47549 | 10,7689 | -0,438053654 | 115,9693 | 0,1919 | -4,71736 | 0,0136714 | 0,0002 |
| 11 | 48960 | 0,52451 | 10,7988 | -0,296508894 | 116,6132 | 0,0879 | -3,20193 | 0,0435243 | 0,0019 |
| 12 | 48960 | 0,573529 | 10,7988 | -0,159920103 | 116,6132 | 0,0256 | -1,72694 | 0,0435243 | 0,0019 |
| 13 | 53280 | 0,622549 | 10,8833 | -0,026021058 | 118,4466 | 0,0007 | -0,2832 | 0,1280817 | 0,0164 |
| 14 | 60480 | 0,671569 | 11,0101 | 0,107442983 | 121,2216 | 0,0115 | 1,182955 | 0,2548334 | 0,0649 |
| 15 | 61920 | 0,720588 | 11,0336 | 0,24300008 | 121,7403 | 0,0590 | 2,681165 | 0,2783639 | 0,0775 |
| 16 | 64800 | 0,769608 | 11,0791 | 0,383882124 | 122,7456 | 0,1474 | 4,253053 | 0,3238263 | 0,1049 |
| 17 | 66240 | 0,818627 | 11,1010 | 0,534855821 | 123,2331 | 0,2861 | 5,937456 | 0,3458052 | 0,1196 |
| 18 | 69120 | 0,867647 | 11,1436 | 0,704227134 | 124,1798 | 0,4959 | 7,847625 | 0,3883648 | 0,1508 |
| 19 | 72000 | 0,916667 | 11,1844 | 0,910235093 | 125,0913 | 0,8285 | 10,18045 | 0,4291868 | 0,1842 |
| 20 | 73440 | 0,965686 | 11,2042 | 1,21556827 | 125,5346 | 1,4776 | 13,6195 | 0,4489894 | 0,2016 |
| TOTAL | 987840 | 10 | 215,1047 | -10,88906966 | 2315,7561 | 32,0184 | -109,525 | 0 | 2,2547 |
| AVG | 49392 | 0,5 | 10,7552 | -0,544453483 | 115,7878 | 1,6009 | -5,47624 | 0 | 0,1127 |

Uraian Perhitungan:

1. i : data ke-i
2. N : jumlah data
3. t_i : waktu antara kerusakan komponen setelah diranking
4. F(T_i) : diperoleh dari rumus (i-0,3)/(N+0,4), sehingga F(T_i) data ke-1 adalah adalah (1-0,3)/(20+0,4) = 0,034314, dst.
5. T : waktu antara kerusakan distribusi weibull diperoleh oleh rumus LN(T) sehingga T data Ke-1 adalah LN(T) = 9,9804.
6. Y_i : diperoleh dari rumus Y_i = LN{-LN[1-F(T_i)]}, sehingga nilai Y_i = LN[-LN[1-F(T_i)]] = -3,3548.
7. T_i² : diperoleh dari T_i x T_i
8. Y_i² : diperoleh dari Y_i x Y_i
9. T_i Y_i : diperoleh dari perkalian T_i dengan Y_i
10. Ti-̄Ti : diperoleh dari pengurangan T_i dengan nilai rata-rata ̄Ti
11. (Ti-̄Ti)² : diperoleh dari Ti-̄Ti dikuadratkan
12. Index of Fit

$$r = \frac{n \sum_{i=1}^n Ti.Yi - (\sum_{i=1}^n Ti)(\sum_{i=1}^n Yi)}{\sqrt{[n(\sum_{i=1}^n Ti^2) - (\sum_{i=1}^n Ti)^2][n(\sum_{i=1}^n Yi^2) - (\sum_{i=1}^n Yi)^2]}}$$

$$r = \frac{20(-109,525) - (215,1047)(-10,8890)}{\sqrt{[20(2315,7561) - (32,0184)^2][20(33,1529) - (-10,8890)^2]}}$$

$$r = 0,9896$$

2. Interval kerusakan komponen heater.

a. Distribusi Normal

Tabel 4.14 Interval kerusakan komponen heater distribusi normal.

| i | Ti | F(Ti) | Yi | Ti ² | Yi ² | Ti . Yi | Ti- <bar>Ti</bar> | (Ti- <bar>Ti)²</bar> |
|-------|--------|----------|------|-----------------|-----------------|---------|-------------------|---------------------------------|
| 1 | 31680 | 0,045455 | -1,6 | 1003622400 | 2,56 | -50688 | -34080 | 1,161E+09 |
| 2 | 44640 | 0,11039 | -1,2 | 1992729600 | 1,44 | -53568 | -21120 | 446054400 |
| 3 | 47520 | 0,175325 | -0,9 | 2258150400 | 0,81 | -42768 | -18240 | 332697600 |
| 4 | 47520 | 0,24026 | -0,7 | 2258150400 | 0,49 | -33264 | -18240 | 332697600 |
| 5 | 53280 | 0,305195 | -0,5 | 2838758400 | 0,25 | -26640 | -12480 | 155750400 |
| 6 | 53280 | 0,37013 | -0,3 | 2838758400 | 0,09 | -15984 | -12480 | 155750400 |
| 7 | 60480 | 0,435065 | -0,1 | 3657830400 | 0,01 | -6048 | -5280 | 27878400 |
| 8 | 60480 | 0,5 | 0 | 3657830400 | 0 | 0 | -5280 | 27878400 |
| 9 | 66240 | 0,564935 | 0,1 | 4387737600 | 0,01 | 6624 | 480 | 230400 |
| 10 | 74880 | 0,62987 | 0,3 | 5607014400 | 0,09 | 22464 | 9120 | 83174400 |
| 11 | 76320 | 0,694805 | 0,5 | 5824742400 | 0,25 | 38160 | 10560 | 111513600 |
| 12 | 82080 | 0,75974 | 0,7 | 6737126400 | 0,49 | 57456 | 16320 | 266342400 |
| 13 | 84960 | 0,824675 | 0,9 | 7218201600 | 0,81 | 76464 | 19200 | 368640000 |
| 14 | 92160 | 0,88961 | 1,2 | 8493465600 | 1,44 | 110592 | 26400 | 696960000 |
| 15 | 110880 | 0,954545 | 1,6 | 12294374400 | 2,56 | 177408 | 45120 | 2,036E+09 |
| TOTAL | 986400 | 7,5 | 0 | 71068492800 | 11,3 | 260208 | 0 | 6,203E+09 |
| AVG | 65760 | 0,5 | 0 | 4737899520 | 0,753333 | 17347,2 | 0 | 413521920 |

Uraian Perhitungan:

1. i : data ke-i
2. N : jumlah data
3. T_i : waktu antara kerusakan komponen setelah diranking
4. F(T_i) : diperoleh dari rumus (i-0,3)/(N+0,4), sehingga F(T_i) data ke-1 adalah adalah (1-0,3)/(15+0,4) = 0,045455, dst.
5. Y_i : didapat dari Tabel Standarized Normal Probabilities dimana Z = F(T_i) = 0,045455, sehingga diperoleh nilai Y_i = -1,6.
6. T_i² : diperoleh dari T_i x T_i
7. Y_i² : diperoleh dari Y_i x Y_i
8. T_i Y_i : diperoleh dari perkalian T_i dengan Y_i
9. T_i-T_i : diperoleh dari pengurangan T_i dengan nilai rata-rata T_i
10. (T_i-T_i)² : diperoleh dari T_i-T_i dikuadratkan
11. Index of Fit

$$r = \frac{n \sum_{i=1}^n T_i.Y_i - (\sum_{i=1}^n T_i)(\sum_{i=1}^n Y_i)}{\sqrt{[n(\sum_{i=1}^n T_i^2) - (\sum_{i=1}^n T_i)^2][n(\sum_{i=1}^n Y_i^2) - (\sum_{i=1}^n Y_i)^2]}}$$

$$r = \frac{15(260208) - (986400)(0)}{\sqrt{[15(71068492800) - (986400)^2][15(11,3) - (0)^2]}}$$

$$r = 0,9828$$

b. Distribusi Lognormal

Tabel 4.15 Interval kerusakan komponen heater distribusi lognormal.

| i | Ti | F(Ti) | Yi | Ti= ln(T) | Ti ² | Yi ² | Ti . Yi | Ti-̄Ti | (Ti-̄Ti) ² |
|-------|--------|----------|------|-----------|-----------------|-----------------|----------|-----------|-----------------------|
| 1 | 31680 | 0,045455 | -1,6 | 10,3634 | 107,4009 | 2,56 | -16,5815 | -0,681536 | 0,464491 |
| 2 | 44640 | 0,11039 | -1,2 | 10,7064 | 114,6267 | 1,44 | -12,8477 | -0,338591 | 0,114644 |
| 3 | 47520 | 0,175325 | -0,9 | 10,7689 | 115,9693 | 0,81 | -9,69202 | -0,276071 | 0,076215 |
| 4 | 47520 | 0,24026 | -0,7 | 10,7689 | 115,9693 | 0,49 | -7,53823 | -0,276071 | 0,076215 |
| 5 | 53280 | 0,305195 | -0,5 | 10,8833 | 118,4466 | 0,25 | -5,44166 | -0,16166 | 0,026134 |
| 6 | 53280 | 0,37013 | -0,3 | 10,8833 | 118,4466 | 0,09 | -3,26499 | -0,16166 | 0,026134 |
| 7 | 60480 | 0,435065 | -0,1 | 11,0101 | 121,2216 | 0,01 | -1,10101 | -0,034909 | 0,001219 |
| 8 | 60480 | 0,5 | 0 | 11,0101 | 121,2216 | 0 | 0 | -0,034909 | 0,001219 |
| 9 | 66240 | 0,564935 | 0,1 | 11,1010 | 123,2331 | 0,01 | 1,110104 | 0,056063 | 0,003143 |
| 10 | 74880 | 0,62987 | 0,3 | 11,2236 | 125,9701 | 0,09 | 3,367093 | 0,178665 | 0,031921 |
| 11 | 76320 | 0,694805 | 0,5 | 11,2427 | 126,3981 | 0,25 | 5,621345 | 0,197713 | 0,039091 |
| 12 | 82080 | 0,75974 | 0,7 | 11,3154 | 128,0394 | 0,49 | 7,920815 | 0,270473 | 0,073156 |
| 13 | 84960 | 0,824675 | 0,9 | 11,3499 | 128,821 | 0,81 | 10,21494 | 0,304959 | 0,093 |
| 14 | 92160 | 0,88961 | 1,2 | 11,4313 | 130,6742 | 1,44 | 13,71754 | 0,386304 | 0,149231 |
| 15 | 110880 | 0,954545 | 1,6 | 11,6162 | 134,9362 | 2,56 | 18,58593 | 0,571227 | 0,3263 |
| TOTAL | 986400 | 7,5 | 0 | 165,6746 | 1831,375 | 11,3 | 4,070685 | 0 | 1,502113 |
| AVG | 65760 | 0,5 | 0 | 11,0450 | 122,0917 | 0,75333 | 0,271379 | 0 | 0,100141 |

Uraian Perhitungan:

1. i : data ke-i
2. N : jumlah data
3. T_i : waktu antara kerusakan komponen setelah diranking
4. F(T_i) : diperoleh dari rumus (i-0,3)/(N+0,4), sehingga F(T_i) data ke-1 adalah adalah (1-0,3)/(15+0,4) = 0,045455, dst.
5. Y_i : didapat dari Tabel Standardized Normal Probabilities dimana Z = F(T_i) = 0,045455, sehingga diperoleh nilai Y_i = -1,6.
6. Ti= LN(T) : waktu antara kerusakan distribusi Lognormal diperoleh oleh rumus LN(T) sehingga T data Ke-1 adalah LN(T) = 10,3634.
7. T_i² : diperoleh dari T_i x T_i
8. Y_i² : diperoleh dari Y_i x Y_i
9. T_i Y_i : diperoleh dari perkalian T_i dengan Y_i
10. Ti-̄Ti : diperoleh dari pengurangan T_i dengan nilai rata-rata ̄Ti
11. (Ti-̄Ti)² : diperoleh dari Ti-̄Ti dikuadratkan
12. Index of Fit

$$r = \frac{n \sum_{i=1}^n Ti.Yi - (\sum_{i=1}^n Ti)(\sum_{i=1}^n Yi)}{\sqrt{[n(\sum_{i=1}^n Ti^2) - (\sum_{i=1}^n Ti)^2][n(\sum_{i=1}^n Yi^2) - (\sum_{i=1}^n Yi)^2]}}$$

$$r = \frac{15(4,070685) - (165,6746)(0)}{\sqrt{[20(1831,375) - (165,6746)^2][20(11,3) - (0)^2]}}$$

$$r = 0,9880$$

c. Distribusi Eksponensial

Tabel 4.16 Interval kerusakan komponen heater distribusi eksponensial.

| i | Ti | F(Ti) | Yi= ln[1-F(Ti)] | Ti ² | Yi ² | Ti . Yi | Ti-̄Ti | (Ti-̄Ti) ² |
|-------|--------|----------|-----------------|-----------------|-----------------|----------|--------|-----------------------|
| 1 | 31680 | 0,045455 | -0,0465 | 1003622400 | 0,002164 | -1473,75 | -34080 | 1,161E+09 |
| 2 | 44640 | 0,11039 | -0,1170 | 1992729600 | 0,013682 | -5221,62 | -21120 | 446054400 |
| 3 | 47520 | 0,175325 | -0,1928 | 2258150400 | 0,037159 | -9160,22 | -18240 | 332697600 |
| 4 | 47520 | 0,24026 | -0,2748 | 2258150400 | 0,075503 | -13057,5 | -18240 | 332697600 |
| 5 | 53280 | 0,305195 | -0,3641 | 2838758400 | 0,132586 | -19400,5 | -12480 | 155750400 |
| 6 | 53280 | 0,37013 | -0,4622 | 2838758400 | 0,213667 | -24628,2 | -12480 | 155750400 |
| 7 | 60480 | 0,435065 | -0,5710 | 3657830400 | 0,326092 | -34536,8 | -5280 | 27878400 |
| 8 | 60480 | 0,5 | -0,6931 | 3657830400 | 0,480453 | -41921,5 | -5280 | 27878400 |
| 9 | 66240 | 0,564935 | -0,8323 | 4387737600 | 0,692657 | -55128,9 | 480 | 230400 |
| 10 | 74880 | 0,62987 | -0,9939 | 5607014400 | 0,98784 | -74423,3 | 9120 | 83174400 |
| 11 | 76320 | 0,694805 | -1,1868 | 5824742400 | 1,408506 | -90577 | 10560 | 111513600 |
| 12 | 82080 | 0,75974 | -1,4260 | 6737126400 | 2,033575 | -117049 | 16320 | 266342400 |
| 13 | 84960 | 0,824675 | -1,7411 | 7218201600 | 3,031484 | -147925 | 19200 | 368640000 |
| 14 | 92160 | 0,88961 | -2,2037 | 8493465600 | 4,856467 | -203097 | 26400 | 696960000 |
| 15 | 110880 | 0,954545 | -3,0910 | 12294374400 | 9,554543 | -342735 | 45120 | 2,036E+09 |
| TOTAL | 986400 | 7,5 | -14,1965 | 71068492800 | 23,84638 | -1180335 | 0 | 6,203E+09 |
| AVG | 65760 | 0,5 | -0,9464 | 4737899520 | 1,589759 | -78689 | 0 | 413521920 |

Uraian Perhitungan:

1. i : data ke-i
2. N : jumlah data
3. T_i : waktu antara kerusakan komponen setelah diranking
4. F(T_i) : diperoleh dari rumus (i-0,3)/(N+0,4), sehingga F(T_i) data ke-1 adalah adalah (1-0,3)/(15+0,4) = 0,045455, dst.
5. Y_i : diperoleh dari rumus Y= LN[1-F(T)], sehingga nilai Y = LN[1-0,045455] = -0,0465.
6. T_i² : diperoleh dari T_i x T_i
7. Y_i² : diperoleh dari Y_i x Y_i
8. T_i Y_i : diperoleh dari perkalian T_i dengan Y_i
9. T_i-̄T_i : diperoleh dari pengurangan T_i dengan nilai rata-rata ̄T_i
10. (T_i-̄T_i)² : diperoleh dari T_i-̄T_i dikuadratkan
11. Index of Fit

$$r = \frac{n \sum_{i=1}^n T_i Y_i - (\sum_{i=1}^n T_i)(\sum_{i=1}^n Y_i)}{\sqrt{[n(\sum_{i=1}^n T_i^2) - (\sum_{i=1}^n T_i)^2][n(\sum_{i=1}^n Y_i^2) - (\sum_{i=1}^n Y_i)^2]}}$$

$$r = \frac{15(-1180335)-(986400)(-14,1965)}{\sqrt{[15(71068492800)-(986400)^2][15(23,84638)-(-14,1965)^2]}}$$

$$r = -0,9711$$

c. Distribusi Weibull

Tabel 4.17 Interval kerusakan komponen heater distribusi weibull.

| i | Ti | F(Ti) | Ti= ln(Ti) | Yi= ln[-ln(1-F(Ti))] | Ti ² | Yi ² | Ti . Yi | Ti-̄Ti | (Ti-̄Ti) ² |
|-------|--------|----------|------------|----------------------|-----------------|-----------------|----------|-----------|-----------------------|
| 1 | 31680 | 0,045455 | 10,3634 | -3,067872615 | 107,4009 | 9,4118 | -31,7937 | -0,681536 | 0,464491 |
| 2 | 44640 | 0,11039 | 10,7064 | -2,145823454 | 114,6267 | 4,6046 | -22,974 | -0,338591 | 0,114644 |
| 3 | 47520 | 0,175325 | 10,7689 | -1,646280772 | 115,9693 | 2,7102 | -17,7286 | -0,276071 | 0,076215 |
| 4 | 47520 | 0,24026 | 10,7689 | -1,29178935 | 115,9693 | 1,6687 | -13,9112 | -0,276071 | 0,076215 |
| 5 | 53280 | 0,305195 | 10,8833 | -1,010261447 | 118,4466 | 1,0206 | -10,995 | -0,16166 | 0,026134 |
| 6 | 53280 | 0,37013 | 10,8833 | -0,771667529 | 118,4466 | 0,5955 | -8,3983 | -0,16166 | 0,026134 |
| 7 | 60480 | 0,435065 | 11,0101 | -0,560288167 | 121,2216 | 0,3139 | -6,16881 | -0,034909 | 0,001219 |
| 8 | 60480 | 0,5 | 11,0101 | -0,366512921 | 121,2216 | 0,1343 | -4,03533 | -0,034909 | 0,001219 |
| 9 | 66240 | 0,564935 | 11,1010 | -0,183610407 | 123,2331 | 0,0337 | -2,03827 | 0,0560631 | 0,003143 |
| 10 | 74880 | 0,62987 | 11,2236 | -0,006117338 | 125,9701 | 0,0000 | -0,06866 | 0,1786654 | 0,031921 |
| 11 | 76320 | 0,694805 | 11,2427 | 0,171264823 | 126,3981 | 0,0293 | 1,925477 | 0,1977136 | 0,039091 |
| 12 | 82080 | 0,75974 | 11,3154 | 0,354897648 | 128,0394 | 0,1260 | 4,015826 | 0,270473 | 0,073156 |
| 13 | 84960 | 0,824675 | 11,3499 | 0,554526136 | 128,8210 | 0,3075 | 6,293836 | 0,3049592 | 0,093 |
| 14 | 92160 | 0,88961 | 11,4313 | 0,79015558 | 130,6742 | 0,6243 | 9,032491 | 0,3863048 | 0,149231 |
| 15 | 110880 | 0,954545 | 11,6162 | 1,128508398 | 134,9362 | 1,2735 | 13,10898 | 0,5712271 | 0,3263 |
| TOTAL | 986400 | 7,5 | 165,6746 | -8,050871417 | 1831,3748 | 22,8541 | -83,7353 | 0 | 1,502113 |
| AVG | 65760 | 0,5 | 11,0450 | -0,536724761 | 122,0917 | 1,5236 | -5,58235 | 0 | 0,100141 |

Uraian Perhitungan:

1. i : data ke-i
2. N : jumlah data
3. t_i : waktu antara kerusakan komponen setelah diranking
4. F(T_i) : diperoleh dari rumus (i-0,3)/(N+0,4), sehingga F(T_i) data ke-1 adalah adalah (1-0,3)/(15+0,4) = 0,045455 dst.
5. T : waktu antara kerusakan distribusi weibull diperoleh oleh rumus LN(T) sehingga T data Ke-1 adalah LN(T) = 10,3634.
6. Y : diperoleh dari rumus Y_i = LN{-LN[1-F(T_i)]}, sehingga nilai Y_i = LN[-LN[1-F(T_i)]] = -3,06787
7. T_i² : diperoleh dari T_i x T_i
8. Y_i² : diperoleh dari Y_i x Y_i
9. T_i Y_i : diperoleh dari perkalian T_i dengan Y_i
10. Ti-̄Ti : diperoleh dari pengurangan T_i dengan nilai rata-rata ̄Ti
11. (Ti-̄Ti)² : diperoleh dari Ti-̄Ti dikuadratkan
12. Index of Fit

$$r = \frac{n \sum_{i=1}^n Ti.Yi - (\sum_{i=1}^n Ti)(\sum_{i=1}^n Yi)}{\sqrt{[n(\sum_{i=1}^n Ti^2) - (\sum_{i=1}^n Ti)^2][n(\sum_{i=1}^n Yi^2) - (\sum_{i=1}^n Yi)^2]}}$$

$$r = \frac{15(-83,7353) - (165,6746)(-8,05087)}{\sqrt{[15(1831,3748) - (165,6746)^2][15(22,8541) - (-8,05087)^2]}}$$

$$r = 0,9830$$

3. Interval kerusakan komponen as pusher opp.

a. Distribusi Normal

Tabel 4.18 Interval kerusakan komponen as pusher opp distribusi normal.

| i | Ti | F(Ti) | Yi | Ti ² | Yi ² | Ti . Yi | Ti-̄Ti | (Ti-̄Ti) ² |
|-------|----------|----------|------|-----------------|-----------------|----------|----------|-----------------------|
| 1 | 51840 | 0,052239 | -1,6 | 2687385600 | 2,56 | -82944 | -27803,1 | 773011086 |
| 2 | 51840 | 0,126866 | -1,1 | 2687385600 | 1,21 | -57024 | -27803,1 | 773011086 |
| 3 | 64800 | 0,201493 | -0,8 | 4199040000 | 0,64 | -51840 | -14843,1 | 220316933 |
| 4 | 72000 | 0,276119 | -0,6 | 5184000000 | 0,36 | -43200 | -7643,08 | 58416625 |
| 5 | 74880 | 0,350746 | -0,3 | 5607014400 | 0,09 | -22464 | -4763,08 | 22686902 |
| 6 | 77760 | 0,425373 | -0,1 | 6046617600 | 0,01 | -7776 | -1883,08 | 3545978,7 |
| 7 | 79200 | 0,5 | 0 | 6272640000 | 0 | 0 | -443,077 | 196317,16 |
| 8 | 80640 | 0,574627 | 0,1 | 6502809600 | 0,01 | 8064 | 996,9231 | 993855,62 |
| 9 | 82080 | 0,649254 | 0,3 | 6737126400 | 0,09 | 24624 | 2436,923 | 5938594,1 |
| 10 | 87840 | 0,723881 | 0,6 | 7715865600 | 0,36 | 52704 | 8196,923 | 67189548 |
| 11 | 93600 | 0,798507 | 0,8 | 8760960000 | 0,64 | 74880 | 13956,92 | 194795702 |
| 12 | 95040 | 0,873134 | 1,1 | 9032601600 | 1,21 | 104544 | 15396,92 | 237065240 |
| 13 | 123840 | 0,947761 | 1,6 | 15336345600 | 2,56 | 198144 | 44196,92 | 1,953E+09 |
| TOTAL | 1035360 | 6,5 | 0 | 86769792000 | 9,74 | 197712 | 0 | 4,311E+09 |
| AVG | 79643,08 | 0,5 | 0 | 6674599385 | 0,749231 | 15208,62 | 0 | 331579683 |

Uraian Perhitungan:

1. i : data ke-i
2. N : jumlah data
3. T_i : waktu antara kerusakan komponen setelah diranking
4. F(T_i) : diperoleh dari rumus $(i-0,3)/(N+0,4)$, sehingga F(T_i) data ke-1 adalah adalah $(1-0,3)/(13+0,4) = 0,052239$ dst.
5. Y_i : didapat dari Tabel Standarized Normal Probabilities dimana Z = F(T_i) = 0,052239, sehingga diperoleh nilai Y_i = -1,6.
6. T_i² : diperoleh dari T_i x T_i
7. Y_i² : diperoleh dari Y_i x Y_i
8. T_i Y_i : diperoleh dari perkalian T_i dengan Y_i
9. T_i-̄T_i : diperoleh dari pengurangan T_i dengan nilai rata-rata ̄T_i
10. (T_i-̄T_i)² : diperoleh dari T_i-̄T_i dikuadratkan
11. Index of Fit

$$r = \frac{n \sum_{i=1}^n T_i Y_i - (\sum_{i=1}^n T_i)(\sum_{i=1}^n Y_i)}{\sqrt{[n(\sum_{i=1}^n T_i^2) - (\sum_{i=1}^n T_i)^2][n(\sum_{i=1}^n Y_i^2) - (\sum_{i=1}^n Y_i)^2]}}$$

$$r = \frac{13(197712) - (1035360)(0)}{\sqrt{[13(86768782000) - (1035360)^2][13(9,74) - (0)^2]}}$$

$$r = 0,9670$$

b. Distribusi Lognormal

Tabel 4.19 Interval kerusakan komponen as pusher opp distribusi lognormal.

| i | Ti | F(Ti) | Yi | Ti= ln(T) | Ti ² | Yi ² | Ti . Yi | Ti-̄Ti | (Ti-̄Ti) ² |
|-------|----------|----------|------|-----------|-----------------|-----------------|----------|---------|-----------------------|
| 1 | 51840 | 0,052239 | -1,6 | 10,8559 | 117,850941 | 2,56 | -17,3695 | -0,4035 | 0,1628 |
| 2 | 51840 | 0,126866 | -1,1 | 10,8559 | 117,850941 | 1,21 | -11,9415 | -0,4035 | 0,1628 |
| 3 | 64800 | 0,201493 | -0,8 | 11,0791 | 122,74559 | 0,64 | -8,86325 | -0,1803 | 0,0325 |
| 4 | 72000 | 0,276119 | -0,6 | 11,1844 | 125,091282 | 0,36 | -6,71065 | -0,0750 | 0,0056 |
| 5 | 74880 | 0,350746 | -0,3 | 11,2236 | 125,970142 | 0,09 | -3,36709 | -0,0358 | 0,0013 |
| 6 | 77760 | 0,425373 | -0,1 | 11,2614 | 126,818734 | 0,01 | -1,12614 | 0,0020 | 0,0000 |
| 7 | 79200 | 0,5 | 0 | 11,2797 | 127,232344 | 0 | 0 | 0,0203 | 0,0004 |
| 8 | 80640 | 0,574627 | 0,1 | 11,2978 | 127,639157 | 0,01 | 1,129775 | 0,0384 | 0,0015 |
| 9 | 82080 | 0,649254 | 0,3 | 11,3154 | 128,039401 | 0,09 | 3,394635 | 0,0561 | 0,0031 |
| 10 | 87840 | 0,723881 | 0,6 | 11,3833 | 129,578887 | 0,36 | 6,829963 | 0,1239 | 0,0153 |
| 11 | 93600 | 0,798507 | 0,8 | 11,4468 | 131,028902 | 0,64 | 9,157429 | 0,1874 | 0,0351 |
| 12 | 95040 | 0,873134 | 1,1 | 11,4621 | 131,378662 | 1,21 | 12,60826 | 0,2027 | 0,0411 |
| 13 | 123840 | 0,947761 | 1,6 | 11,7267 | 137,516564 | 2,56 | 18,76279 | 0,4674 | 0,2184 |
| TOTAL | 1035360 | 6,5 | 0 | 146,3721 | 1648,7415 | 9,7400 | 2,5047 | 0 | 0,6800 |
| AVG | 79643,08 | 0,5 | 0 | 11,2594 | 126,8263 | 0,7492 | 0,1927 | 0 | 0,0523 |

Uraian Perhitungan:

1. i : data ke-i
2. N : jumlah data
3. T_i : waktu antara kerusakan komponen setelah diranking
4. F(T_i) : diperoleh dari rumus $(i-0,3)/(N+0,4)$, sehingga F(T_i) data ke-1 adalah adalah $(1-0,3)/(13+0,4) = 0,052239$, dst.
5. Y_i : didapat dari Tabel Standarized Normal Probabilities dimana Z = F(T_i) = 0,052239, sehingga diperoleh nilai Y_i = -1,6.
6. Ti= LN(T) : waktu antara kerusakan distribusi Lognormal diperoleh oleh rumus LN(T) sehingga T_i data Ke-1 adalah LN(T) = 10,8559.
7. T_i² : diperoleh dari T_i x T_i
8. Y_i² : diperoleh dari Y_i x Y_i
9. T_i Y_i : diperoleh dari perkalian T_i dengan Y_i
10. T_i-̄T_i : diperoleh dari pengurangan T_i dengan nilai rata-rata ̄T_i
11. (T_i-̄T_i)² : diperoleh dari T_i-̄T_i dikuadratkan
12. Index of Fit

$$r = \frac{n \sum_{i=1}^n T_i \cdot Y_i - (\sum_{i=1}^n T_i)(\sum_{i=1}^n Y_i)}{\sqrt{[n(\sum_{i=1}^n T_i^2) - (\sum_{i=1}^n T_i)^2][n(\sum_{i=1}^n Y_i^2) - (\sum_{i=1}^n Y_i)^2]}}$$

$$r = \frac{13(2,5047) - (146,3721)(0)}{\sqrt{[13(1648,7415) - (146,3721)^2][20(9,74) - (0)^2]}}$$

$$r = 0,9733$$

c. Distribusi Eksponensial

Tabel 4.20 Interval kerusakan komponen as pusher opp distribusi eksponensial.

| i | Ti | F(Ti) | Yi= ln[1-F(Ti)] | Ti ² | Yi ² | Ti . Yi | Ti-̄Ti | (Ti-̄Ti) ² |
|-------|----------|----------|-----------------|-----------------|-----------------|----------|----------|-----------------------|
| 1 | 51840 | 0,052239 | -0,0537 | 2687385600 | 0,0029 | -2781,36 | -27803,1 | 773011086 |
| 2 | 51840 | 0,126866 | -0,1357 | 2687385600 | 0,0184 | -7032,92 | -27803,1 | 773011086 |
| 3 | 64800 | 0,201493 | -0,2250 | 4199040000 | 0,0506 | -14580,7 | -14843,1 | 220316933 |
| 4 | 72000 | 0,276119 | -0,3231 | 5184000000 | 0,1044 | -23265,3 | -7643,08 | 58416625 |
| 5 | 74880 | 0,350746 | -0,4319 | 5607014400 | 0,1866 | -32343 | -4763,08 | 22686902 |
| 6 | 77760 | 0,425373 | -0,5540 | 6046617600 | 0,3070 | -43081,7 | -1883,08 | 3545978,7 |
| 7 | 79200 | 0,5 | -0,6931 | 6272640000 | 0,4805 | -54897,3 | -443,077 | 196317,16 |
| 8 | 80640 | 0,574627 | -0,8548 | 6502809600 | 0,7307 | -68930,1 | 996,9231 | 993855,62 |
| 9 | 82080 | 0,649254 | -1,0477 | 6737126400 | 1,0977 | -85994,6 | 2436,923 | 5938594,1 |
| 10 | 87840 | 0,723881 | -1,2869 | 7715865600 | 1,6562 | -113043 | 8196,923 | 67189548 |
| 11 | 93600 | 0,798507 | -1,6020 | 8760960000 | 2,5664 | -149947 | 13956,92 | 194795702 |
| 12 | 95040 | 0,873134 | -2,0646 | 9032601600 | 4,2627 | -196222 | 15396,92 | 237065240 |
| 13 | 123840 | 0,947761 | -2,9519 | 15336345600 | 8,7139 | -365567 | 44196,92 | 1,953E+09 |
| TOTAL | 1035360 | 6,5 | -12,2245 | 86769792000 | 20,1778 | -1157687 | 0 | 4,311E+09 |
| AVG | 79643,08 | 0,5 | -0,9403 | 6674599385 | 1,5521 | -89052,8 | 0 | 331579683 |

Uraian Perhitungan:

1. i : data ke-i
2. N : jumlah data
3. T_i : waktu antara kerusakan komponen setelah diranking
4. F(T_i) : diperoleh dari rumus $(i-0,3)/(N+0,4)$, sehingga F(T_i) data ke-1 adalah adalah $(1-0,3)/(13+0,4) = 0,052239$, dst.
5. Y_i : diperoleh dari rumus $Y = \ln[1-F(T_i)]$, sehingga nilai Y = $\ln[1-0,052239] = -0,0537$.
6. T_i² : diperoleh dari T_i x T_i
7. Y_i² : diperoleh dari Y_i x Y_i
8. T_i Y_i : diperoleh dari perkalian T_i dengan Y_i
9. T_i-̄T_i : diperoleh dari pengurangan T_i dengan nilai rata-rata ̄T_i
10. (T_i-̄T_i)² : diperoleh dari T_i-̄T_i dikuadratkan
11. Index of Fit

$$r = \frac{n \sum_{i=1}^n T_i Y_i - (\sum_{i=1}^n T_i)(\sum_{i=1}^n Y_i)}{\sqrt{[n(\sum_{i=1}^n T_i^2) - (\sum_{i=1}^n T_i)^2][n(\sum_{i=1}^n Y_i^2) - (\sum_{i=1}^n Y_i)^2]}}$$

$$r = \frac{13(-1157687)-(1035360)(-12,2245)}{\sqrt{[13(86769792000)-(1035360)^2][13(20,1778)-(-12,2245)^2]}}$$

$$r = -0,9516$$

c. Distribusi Weibull

Tabel 4.21 Interval kerusakan komponen as pusher opp distribusi weibull.

| i | Ti | F(Ti) | Ti= ln(Ti) | Yi= ln[-ln(1-F(Ti))] | Ti ² | Yi ² | Ti . Yi | Ti-̄Ti | (Ti-̄Ti) ² |
|-------|----------|----------|------------|----------------------|-----------------|-----------------|----------|-----------|-----------------------|
| 1 | 51840 | 0,052239 | 10,8559 | -2,9252 | 117,8509 | 8,556931 | -31,756 | -0,403477 | 0,162794 |
| 2 | 51840 | 0,126866 | 10,8559 | -1,9976 | 117,8509 | 3,990247 | -21,6853 | -0,403477 | 0,162794 |
| 3 | 64800 | 0,201493 | 11,0791 | -1,4916 | 122,7456 | 2,224889 | -16,5256 | -0,180334 | 0,03252 |
| 4 | 72000 | 0,276119 | 11,1844 | -1,1297 | 125,0913 | 1,276232 | -12,6351 | -0,074973 | 0,005621 |
| 5 | 74880 | 0,350746 | 11,2236 | -0,8395 | 125,9701 | 0,70474 | -9,42211 | -0,035752 | 0,001278 |
| 6 | 77760 | 0,425373 | 11,2614 | -0,5905 | 126,8187 | 0,348724 | -6,65017 | 0,0019879 | 3,95E-06 |
| 7 | 79200 | 0,5 | 11,2797 | -0,3665 | 127,2323 | 0,134332 | -4,13417 | 0,020337 | 0,000414 |
| 8 | 80640 | 0,574627 | 11,2978 | -0,1569 | 127,6392 | 0,024618 | -1,77263 | 0,0383555 | 0,001471 |
| 9 | 82080 | 0,649254 | 11,3154 | 0,0466 | 128,0394 | 0,002171 | 0,527185 | 0,0560551 | 0,003142 |
| 10 | 87840 | 0,723881 | 11,3833 | 0,2523 | 129,5789 | 0,063632 | 2,871467 | 0,1238777 | 0,015346 |
| 11 | 93600 | 0,798507 | 11,4468 | 0,4713 | 131,0289 | 0,222081 | 5,394351 | 0,1873911 | 0,035115 |
| 12 | 95040 | 0,873134 | 11,4621 | 0,7249 | 131,3787 | 0,525552 | 8,309408 | 0,2026586 | 0,04107 |
| 13 | 123840 | 0,947761 | 11,7267 | 1,0825 | 137,5166 | 1,171718 | 12,69372 | 0,4673511 | 0,218417 |
| TOTAL | 1035360 | 6,5 | 146,3721 | -6,9200 | 1648,7415 | 19,24586 | -74,785 | 0 | 0,679987 |
| AVG | 79643,08 | 0,5 | 11,2594 | -0,5323 | 126,8263 | 1,480451 | -5,75269 | 0 | 0,052307 |

Uraian Perhitungan:

1. i : data ke-i
2. N : jumlah data
3. t_i : waktu antara kerusakan komponen setelah diranking
4. F(T_i) : diperoleh dari rumus (i-0,3)/(N+0,4), sehingga F(T_i) data ke-1 adalah adalah (1-0,3)/(13+0,4) = 0,052239 dst.
5. T : waktu antara kerusakan distribusi weibull diperoleh oleh rumus LN(T) sehingga T data Ke-1 adalah LN(T) = 10,8559.
6. Y : diperoleh dari rumus Y_i = LN{-LN[1-F(T_i)]}, sehingga nilai Y_i = LN[-LN[1-F(T_i)]] = -2,9252
7. T_i² : diperoleh dari T_i x T_i
8. Y_i² : diperoleh dari Y_i x Y_i
9. T_i Y_i : diperoleh dari perkalian T_i dengan Y_i
10. Ti-̄Ti : diperoleh dari pengurangan T_i dengan nilai rata-rata ̄Ti
11. (Ti-̄Ti)² : diperoleh dari Ti-̄Ti dikuadratkan
12. Index of Fit

$$r = \frac{n \sum_{i=1}^n T_i \cdot Y_i - (\sum_{i=1}^n T_i)(\sum_{i=1}^n Y_i)}{\sqrt{[n(\sum_{i=1}^n T_i^2) - (\sum_{i=1}^n T_i)^2][n(\sum_{i=1}^n Y_i^2) - (\sum_{i=1}^n Y_i)^2]}}$$

$$r = \frac{13(-74,785) - (146,3721)(-6,9200)}{\sqrt{[13(1648,7415) - (146,3721)^2][13(19,24586) - (-6,9200)^2]}}$$

$$r = 0,9623$$

4.3.2 Uji Distribusi untuk menghitung MTTR

1. Interval perbaikan komponen cutting plat

a. Distribusi Normal

Tabel 4.22 Interval perbaikan komponen cutting plat distribusi normal.

| i | Ti | F(Ti) | Yi | Ti ² | Yi ² | Ti . Yi | Ti- $\bar{T}i$ | (Ti- $\bar{T}i$) ² |
|-------|-------|----------|-------|-----------------|-----------------|---------|----------------|--------------------------------|
| 1 | 10 | 0,034314 | -1,8 | 100 | 3,24 | -18 | -42,05 | 1768,2025 |
| 2 | 30 | 0,083333 | -1,3 | 900 | 1,69 | -39 | -22,05 | 486,2025 |
| 3 | 30 | 0,132353 | -1,1 | 900 | 1,21 | -33 | -22,05 | 486,2025 |
| 4 | 30 | 0,181373 | -0,9 | 900 | 0,81 | -27 | -22,05 | 486,2025 |
| 5 | 35 | 0,230392 | -0,7 | 1225 | 0,49 | -24,5 | -17,05 | 290,7025 |
| 6 | 35 | 0,279412 | -0,5 | 1225 | 0,25 | -17,5 | -17,05 | 290,7025 |
| 7 | 40 | 0,328431 | -0,4 | 1600 | 0,16 | -16 | -12,05 | 145,2025 |
| 8 | 45 | 0,377451 | -0,3 | 2025 | 0,09 | -13,5 | -7,05 | 49,7025 |
| 9 | 46 | 0,426471 | -0,1 | 2116 | 0,01 | -4,6 | -6,05 | 36,6025 |
| 10 | 47 | 0,47549 | -0,06 | 2209 | 0,0036 | -2,82 | -5,05 | 25,5025 |
| 11 | 47 | 0,52451 | 0,06 | 2209 | 0,0036 | 2,82 | -5,05 | 25,5025 |
| 12 | 53 | 0,573529 | 0,1 | 2809 | 0,01 | 5,3 | 0,95 | 0,9025 |
| 13 | 55 | 0,622549 | 0,3 | 3025 | 0,09 | 16,5 | 2,95 | 8,7025 |
| 14 | 60 | 0,671569 | 0,4 | 3600 | 0,16 | 24 | 7,95 | 63,2025 |
| 15 | 60 | 0,720588 | 0,5 | 3600 | 0,25 | 30 | 7,95 | 63,2025 |
| 16 | 63 | 0,769608 | 0,7 | 3969 | 0,49 | 44,1 | 10,95 | 119,9025 |
| 17 | 65 | 0,818627 | 0,9 | 4225 | 0,81 | 58,5 | 12,95 | 167,7025 |
| 18 | 80 | 0,867647 | 1,1 | 6400 | 1,21 | 88 | 27,95 | 781,2025 |
| 19 | 90 | 0,916667 | 1,3 | 8100 | 1,69 | 117 | 37,95 | 1440,2025 |
| 20 | 120 | 0,965686 | 1,8 | 14400 | 3,24 | 216 | 67,95 | 4617,2025 |
| TOTAL | 1041 | 10 | 0 | 65537 | 15,9072 | 406,3 | 0 | 11352,95 |
| AVG | 52,05 | 0,5 | 0 | 3276,85 | 0,79536 | 20,315 | 0 | 567,6475 |

Uraian Perhitungan:

1. i : data ke-i
2. N : jumlah data
3. T_i : waktu antara kerusakan komponen setelah diranking
4. $F(T_i)$: diperoleh dari rumus $(i-0,3)/(N+0,4)$, sehingga $F(T_i)$ data ke-1 adalah adalah $(1-0,3)/(20+0,4) = 0,034314$, dst.
5. Y_i : didapat dari Tabel Standarized Normal Probabilities dimana $Z = F(T_i) = 0,034314$, sehingga diperoleh nilai $Y_i = -1,8$.
6. T_i^2 : diperoleh dari $T_i \times T_i$
7. Y_i^2 : diperoleh dari $Y_i \times Y_i$
8. $T_i \cdot Y_i$: diperoleh dari perkalian T_i dengan Y_i
9. $T_i - \bar{T}i$: diperoleh dari pengurangan T_i dengan nilai rata-rata $\bar{T}i$
10. $(T_i - \bar{T}i)^2$: diperoleh dari $T_i - \bar{T}i$ dikuadratkan
11. Index of Fit

$$r = \frac{n \sum_{i=1}^n T_i Y_i - (\sum_{i=1}^n T_i)(\sum_{i=1}^n Y_i)}{\sqrt{[n(\sum_{i=1}^n T_i^2) - (\sum_{i=1}^n T_i)^2][n(\sum_{i=1}^n Y_i^2) - (\sum_{i=1}^n Y_i)^2]}}$$

$$r = \frac{20(406,3)-(1041)(0)}{\sqrt{[20(65537)-(1041)^2][20(15,9072)-(0)^2]}}$$

$$r = 0,9561$$

b. Distribusi Lognormal

Tabel 4.23 Interval perbaikan komponen cutting plat distribusi lognormal.

| i | Ti | F(Ti) | Ti= ln(T) | Yi | Ti ² | Yi ² | Ti . Yi | Ti- \bar{T}_i | (Ti- \bar{T}_i) ² |
|-------|-------|----------|-----------|-------|-----------------|-----------------|----------|-----------------|---------------------------------|
| 1 | 10 | 0,034314 | 2,3026 | -1,8 | 5,3019 | 3,24 | -4,14465 | -1,5371 | 2,3628 |
| 2 | 30 | 0,083333 | 3,4012 | -1,3 | 11,5681 | 1,69 | -4,42156 | -0,4385 | 0,1923 |
| 3 | 30 | 0,132353 | 3,4012 | -1,1 | 11,5681 | 1,21 | -3,74132 | -0,4385 | 0,1923 |
| 4 | 30 | 0,181373 | 3,4012 | -0,9 | 11,5681 | 0,81 | -3,06108 | -0,4385 | 0,1923 |
| 5 | 35 | 0,230392 | 3,5553 | -0,7 | 12,6405 | 0,49 | -2,48874 | -0,2844 | 0,0809 |
| 6 | 35 | 0,279412 | 3,5553 | -0,5 | 12,6405 | 0,25 | -1,77767 | -0,2844 | 0,0809 |
| 7 | 40 | 0,328431 | 3,6889 | -0,4 | 13,6078 | 0,16 | -1,47555 | -0,1508 | 0,0228 |
| 8 | 45 | 0,377451 | 3,8067 | -0,3 | 14,4907 | 0,09 | -1,142 | -0,0331 | 0,0011 |
| 9 | 46 | 0,426471 | 3,8286 | -0,1 | 14,6585 | 0,01 | -0,38286 | -0,0111 | 0,0001 |
| 10 | 47 | 0,47549 | 3,8501 | -0,06 | 14,8236 | 0,0036 | -0,23101 | 0,0104 | 0,0001 |
| 11 | 47 | 0,52451 | 3,8501 | 0,06 | 14,8236 | 0,0036 | 0,231009 | 0,0104 | 0,0001 |
| 12 | 53 | 0,573529 | 3,9703 | 0,1 | 15,7632 | 0,01 | 0,397029 | 0,1306 | 0,0170 |
| 13 | 55 | 0,622549 | 4,0073 | 0,3 | 16,0587 | 0,09 | 1,2022 | 0,1676 | 0,0281 |
| 14 | 60 | 0,671569 | 4,0943 | 0,4 | 16,7637 | 0,16 | 1,637738 | 0,2546 | 0,0648 |
| 15 | 60 | 0,720588 | 4,0943 | 0,5 | 16,7637 | 0,25 | 2,047172 | 0,2546 | 0,0648 |
| 16 | 63 | 0,769608 | 4,1431 | 0,7 | 17,1656 | 0,49 | 2,900194 | 0,3034 | 0,0921 |
| 17 | 65 | 0,818627 | 4,1744 | 0,9 | 17,4255 | 0,81 | 3,756949 | 0,3347 | 0,1120 |
| 18 | 80 | 0,867647 | 4,3820 | 1,1 | 19,2022 | 1,21 | 4,820229 | 0,5423 | 0,2941 |
| 19 | 90 | 0,916667 | 4,4998 | 1,3 | 20,2483 | 1,69 | 5,849753 | 0,6601 | 0,4357 |
| 20 | 120 | 0,965686 | 4,7875 | 1,8 | 22,9201 | 3,24 | 8,617485 | 0,9478 | 0,8983 |
| TOTAL | 1041 | 10 | 76,7945 | 0 | 300,0025 | 15,9072 | 8,593312 | 0,0000 | 5,1326 |
| AVG | 52,05 | 0,5 | 3,8397 | 0 | 15,0001 | 0,79536 | 0,429666 | 0,0000 | 0,2566 |

Uraian Perhitungan:

1. i : data ke-i
2. N : jumlah data
3. T_i : waktu antara kerusakan komponen setelah diranking
4. $F(T_i)$: diperoleh dari rumus $(i-0,3)/(N+0,4)$, sehingga $F(T_i)$ data ke-1 adalah adalah $(1-0,3)/(20+0,4) = 0,034314$, dst.
5. Y_i : didapat dari Tabel Standarized Normal Probabilities dimana $Z = F(T_i) = 0,034314$, sehingga diperoleh nilai $Y_i = -1,8$.
6. $T_i = \ln(T)$: waktu antara kerusakan distribusi Lognormal diperoleh oleh rumus $\ln(T)$ sehingga T data Ke-1 adalah $\ln(T) = 9,9804$.
7. T_i^2 : diperoleh dari $T_i \times T_i$
8. Y_i^2 : diperoleh dari $Y_i \times Y_i$
9. $T_i Y_i$: diperoleh dari perkalian T_i dengan Y_i
10. $T_i - \bar{T}_i$: diperoleh dari pengurangan T_i dengan nilai rata-rata \bar{T}_i
11. $(T_i - \bar{T}_i)^2$: diperoleh dari $T_i - \bar{T}_i$ dikuadratkan
12. Index of Fit

$$r = \frac{n \sum_{i=1}^n T_i Y_i - (\sum_{i=1}^n T_i)(\sum_{i=1}^n Y_i)}{\sqrt{[n(\sum_{i=1}^n T_i^2) - (\sum_{i=1}^n T_i)^2][n(\sum_{i=1}^n Y_i^2) - (\sum_{i=1}^n Y_i)^2]}}$$

$$r = \frac{20(8,59322) - (76,7945)(0)}{\sqrt{[20(300,0025) - (76,7945)^2][20(15,9072) - (0)^2]}}$$

$$r = 0,9510$$

c. Distribusi Eksponensial

Tabel 4.24 Interval perbaikan komponen cutting plat distribusi eksponensial.

| i | Ti | F(Ti) | Yi = ln[1 - F(Ti)] | Ti ² | Yi ² | Ti . Yi | Ti - Tī | (Ti - Tī) ² |
|-------|-------|----------|--------------------|-----------------|-----------------|----------|----------|-------------------------|
| 1 | 10 | 0,034314 | -0,0349 | 100 | 0,0012 | -0,34916 | -42,05 | 1768,2025 |
| 2 | 30 | 0,083333 | -0,0870 | 900 | 0,0076 | -2,61034 | -22,05 | 486,2025 |
| 3 | 30 | 0,132353 | -0,1420 | 900 | 0,0202 | -4,25911 | -22,05 | 486,2025 |
| 4 | 30 | 0,181373 | -0,2001 | 900 | 0,0401 | -6,00379 | -22,05 | 486,2025 |
| 5 | 35 | 0,230392 | -0,2619 | 1225 | 0,0686 | -9,1656 | -17,05 | 290,7025 |
| 6 | 35 | 0,279412 | -0,3277 | 1225 | 0,1074 | -11,4691 | -17,05 | 290,7025 |
| 7 | 40 | 0,328431 | -0,3981 | 1600 | 0,1585 | -15,9256 | -12,05 | 145,2025 |
| 8 | 45 | 0,377451 | -0,4739 | 2025 | 0,2246 | -21,327 | -7,05 | 49,7025 |
| 9 | 46 | 0,426471 | -0,5559 | 2116 | 0,3091 | -25,5735 | -6,05 | 36,6025 |
| 10 | 47 | 0,47549 | -0,6453 | 2209 | 0,4164 | -30,3287 | -5,05 | 25,5025 |
| 11 | 47 | 0,52451 | -0,7434 | 2209 | 0,5527 | -34,9402 | -5,05 | 25,5025 |
| 12 | 53 | 0,573529 | -0,8522 | 2809 | 0,7263 | -45,1672 | 0,95 | 0,9025 |
| 13 | 55 | 0,622549 | -0,9743 | 3025 | 0,9493 | -53,5873 | 2,95 | 8,7025 |
| 14 | 60 | 0,671569 | -1,1134 | 3600 | 1,2397 | -66,8056 | 7,95 | 63,2025 |
| 15 | 60 | 0,720588 | -1,2751 | 3600 | 1,6258 | -76,5041 | 7,95 | 63,2025 |
| 16 | 63 | 0,769608 | -1,4680 | 3969 | 2,1549 | -92,4823 | 10,95 | 119,9025 |
| 17 | 65 | 0,818627 | -1,7072 | 4225 | 2,9145 | -110,968 | 12,95 | 167,7025 |
| 18 | 80 | 0,867647 | -2,0223 | 6400 | 4,0896 | -161,783 | 27,95 | 781,2025 |
| 19 | 90 | 0,916667 | -2,4849 | 8100 | 6,1748 | -223,642 | 37,95 | 1440,2025 |
| 20 | 120 | 0,965686 | -3,3722 | 14400 | 11,3718 | -404,665 | 67,95 | 4617,2025 |
| TOTAL | 1041 | 10 | -19,1399 | 65537 | 33,1530 | -1397,56 | 0 | 11352,95 |
| AVG | 52,05 | 0,5 | -0,9570 | 3276,85 | 1,6576 | -69,8778 | 0 | 567,6475 |

Uraian Perhitungan:

1. i : data ke-i
2. N : jumlah data
3. T_i : waktu antara kerusakan komponen setelah diranking
4. F(T_i) : diperoleh dari rumus (i-0,3)/(N+0,4), sehingga F(T_i) data ke-1 adalah adalah (1-0,3)/(20+0,4) = 0,034314, dst.
5. Y_i : diperoleh dari rumus Y = LN[1-F(T)], sehingga nilai Y = LN[1-0,034314] = -0,0349.
6. T_i² : diperoleh dari T_i x T_i
7. Y_i² : diperoleh dari Y_i x Y_i
8. T_i Y_i : diperoleh dari perkalian T_i dengan Y_i
9. T_i - T̄_i : diperoleh dari pengurangan T_i dengan nilai rata-rata T̄_i
10. (T_i - T̄_i)² : diperoleh dari T_i - T̄_i dikuadratkan
11. Index of Fit

$$r = \frac{n \sum_{i=1}^n T_i Y_i - (\sum_{i=1}^n T_i)(\sum_{i=1}^n Y_i)}{\sqrt{[n(\sum_{i=1}^n T_i^2) - (\sum_{i=1}^n T_i)^2][n(\sum_{i=1}^n Y_i^2) - (\sum_{i=1}^n Y_i)^2]}}$$

$$r = \frac{20(-1397,56) - (1041)(-19,1399)}{\sqrt{[20(65537) - (1041)^2][20(33,15230) - (-19,1399)^2]}}$$

$$r = -0,9779$$

c. Distribusi Weibull

Tabel 4.25 Interval perbaikan komponen cutting plat distribusi weibull.

| i | Ti | F(Ti) | Ti= ln(Ti) | Yi= ln[-ln(1-F(Ti))] | Ti ² | Yi ² | Ti . Yi | Ti-̄Ti | (Ti-̄Ti) ² |
|-------|-------|----------|------------|----------------------|-----------------|-----------------|----------|---------|-----------------------|
| 1 | 10 | 0,034314 | 2,3026 | -3,3548 | 5,3019 | 11,2547 | -7,7247 | -1,5371 | 2,3628 |
| 2 | 30 | 0,083333 | 3,4012 | -2,4417 | 11,5681 | 5,9620 | -8,3048 | -0,4385 | 0,1923 |
| 3 | 30 | 0,132353 | 3,4012 | -1,9521 | 11,5681 | 3,8108 | -6,6396 | -0,4385 | 0,1923 |
| 4 | 30 | 0,181373 | 3,4012 | -1,6088 | 11,5681 | 2,5883 | -5,4719 | -0,4385 | 0,1923 |
| 5 | 35 | 0,230392 | 3,5553 | -1,3399 | 12,6405 | 1,7953 | -4,7638 | -0,2844 | 0,0809 |
| 6 | 35 | 0,279412 | 3,5553 | -1,1157 | 12,6405 | 1,2448 | -3,9667 | -0,2844 | 0,0809 |
| 7 | 40 | 0,328431 | 3,6889 | -0,9210 | 13,6078 | 0,8482 | -3,3973 | -0,1508 | 0,0228 |
| 8 | 45 | 0,377451 | 3,8067 | -0,7467 | 14,4907 | 0,5575 | -2,8424 | -0,0331 | 0,0011 |
| 9 | 46 | 0,426471 | 3,8286 | -0,5871 | 14,6585 | 0,3447 | -2,2477 | -0,0111 | 0,0001 |
| 10 | 47 | 0,47549 | 3,8501 | -0,4381 | 14,8236 | 0,1919 | -1,6866 | 0,0104 | 0,0001 |
| 11 | 47 | 0,52451 | 3,8501 | -0,2965 | 14,8236 | 0,0879 | -1,1416 | 0,0104 | 0,0001 |
| 12 | 53 | 0,573529 | 3,9703 | -0,1599 | 15,7632 | 0,0256 | -0,6349 | 0,1306 | 0,0170 |
| 13 | 55 | 0,622549 | 4,0073 | -0,0260 | 16,0587 | 0,0007 | -0,1043 | 0,1676 | 0,0281 |
| 14 | 60 | 0,671569 | 4,0943 | 0,1074 | 16,7637 | 0,0115 | 0,4399 | 0,2546 | 0,0648 |
| 15 | 60 | 0,720588 | 4,0943 | 0,2430 | 16,7637 | 0,0590 | 0,9949 | 0,2546 | 0,0648 |
| 16 | 63 | 0,769608 | 4,1431 | 0,3839 | 17,1656 | 0,1474 | 1,5905 | 0,3034 | 0,0921 |
| 17 | 65 | 0,818627 | 4,1744 | 0,5349 | 17,4255 | 0,2861 | 2,2327 | 0,3347 | 0,1120 |
| 18 | 80 | 0,867647 | 4,3820 | 0,7042 | 19,2022 | 0,4959 | 3,0859 | 0,5423 | 0,2941 |
| 19 | 90 | 0,916667 | 4,4998 | 0,9102 | 20,2483 | 0,8285 | 4,0959 | 0,6601 | 0,4357 |
| 20 | 120 | 0,965686 | 4,7875 | 1,2156 | 22,9201 | 1,4776 | 5,8195 | 0,9478 | 0,8983 |
| TOTAL | 1041 | 10 | 76,7945 | -10,8891 | 300,0025 | 32,0184 | -30,6669 | 0 | 5,1326 |
| AVG | 52,05 | 0,5 | 3,8397 | -0,5445 | 15,0001 | 1,6009 | -1,5333 | 0 | 0,2566 |

Uraian Perhitungan:

1. i : data ke-i
2. N : jumlah data
3. t_i : waktu antara kerusakan komponen setelah diranking
4. F(T_i) : diperoleh dari rumus (i-0,3)/(N+0,4), sehingga F(T_i) data ke-1 adalah (1-0,3)/(20+0,4) = 0,034314, dst.
5. T : waktu antara kerusakan distribusi weibull diperoleh oleh rumus LN(T) sehingga T data Ke-1 adalah LN(T) = 2,3026
6. Y : diperoleh dari rumus Y_i = LN{-LN[1-F(T_i)]}, sehingga nilai Y_i = LN[-LN[1-F(T_i)]] = -3,3548.
7. T_i² : diperoleh dari T_i x T_i
8. Y_i² : diperoleh dari Y_i x Y_i
9. T_i Y_i : diperoleh dari perkalian T_i dengan Y_i
10. Ti-̄Ti : diperoleh dari pengurangan T_i dengan nilai rata-rata ̄Ti

11. $(T_i - \bar{T}_i)^2$: diperoleh dari $T_i - \bar{T}_i$ dikuadratkan

12. Index of Fit

$$r = \frac{n \sum_{i=1}^n T_i Y_i - (\sum_{i=1}^n T_i)(\sum_{i=1}^n Y_i)}{\sqrt{[n(\sum_{i=1}^n T_i^2) - (\sum_{i=1}^n T_i)^2][n(\sum_{i=1}^n Y_i^2) - (\sum_{i=1}^n Y_i)^2]}}$$

$$r = \frac{20(-30,669) - (76,7945)(-10,8891)}{\sqrt{[20(300,0025) - (76,7945)^2][20(32,0184) - (-10,8891)^2]}}$$

$$r = 0,9630$$

2. Interval perbaikan komponen heater.

a. Distribusi Normal

Tabel 4.26 Interval perbaikan komponen heater distribusi normal.

| i | Ti | F(Ti) | Yi | Ti ² | Yi ² | Ti . Yi | Ti - Tī | (Ti - Tī) ² |
|-------|----------|----------|------|-----------------|-----------------|----------|----------|-------------------------|
| 1 | 13 | 0,045455 | -1,6 | 169 | 2,56 | -20,8 | -34,8667 | 1215,6844 |
| 2 | 30 | 0,11039 | -1,2 | 900 | 1,44 | -36 | -17,8667 | 319,2178 |
| 3 | 30 | 0,175325 | -0,9 | 900 | 0,81 | -27 | -17,8667 | 319,2178 |
| 4 | 30 | 0,24026 | -0,7 | 900 | 0,49 | -21 | -17,8667 | 319,2178 |
| 5 | 35 | 0,305195 | -0,5 | 1225 | 0,25 | -17,5 | -12,8667 | 165,5511 |
| 6 | 45 | 0,37013 | -0,3 | 2025 | 0,09 | -13,5 | -2,8667 | 8,2178 |
| 7 | 47 | 0,435065 | -0,1 | 2209 | 0,01 | -4,7 | -0,8667 | 0,7511 |
| 8 | 50 | 0,5 | 0 | 2500 | 0 | 0 | 2,1333 | 4,5511 |
| 9 | 50 | 0,564935 | 0,1 | 2500 | 0,01 | 5 | 2,1333 | 4,5511 |
| 10 | 53 | 0,62987 | 0,3 | 2809 | 0,09 | 15,9 | 5,1333 | 26,3511 |
| 11 | 60 | 0,694805 | 0,5 | 3600 | 0,25 | 30 | 12,1333 | 147,2178 |
| 12 | 60 | 0,75974 | 0,7 | 3600 | 0,49 | 42 | 12,1333 | 147,2178 |
| 13 | 60 | 0,824675 | 0,9 | 3600 | 0,81 | 54 | 12,1333 | 147,2178 |
| 14 | 65 | 0,88961 | 1,2 | 4225 | 1,44 | 78 | 17,1333 | 293,5511 |
| 15 | 90 | 0,954545 | 1,6 | 8100 | 2,56 | 144 | 42,1333 | 1775,2178 |
| TOTAL | 718 | 7,5 | 0 | 39262 | 11,3 | 228,4 | 0 | 4893,7333 |
| AVG | 47,86667 | 0,5 | 0 | 2617,4667 | 0,753333 | 15,22667 | 0 | 326,2489 |

Uraian Perhitungan:

1. i : data ke-i
2. N : jumlah data
3. T_i : waktu antara kerusakan komponen setelah diranking
4. $F(T_i)$: diperoleh dari rumus $(i-0,3)/(N+0,4)$, sehingga $F(T_i)$ data ke-1 adalah adalah $(1-0,3)/(15+0,4) = 0,045455$, dst.
5. Y_i : didapat dari Tabel Standardized Normal Probabilities dimana $Z = F(T_i) = 0,045455$, sehingga diperoleh nilai $Y_i = -1,6$.
6. T_i^2 : diperoleh dari $T_i \times T_i$
7. Y_i^2 : diperoleh dari $Y_i \times Y_i$
8. $T_i \cdot Y_i$: diperoleh dari perkalian T_i dengan Y_i
9. $T_i - \bar{T}_i$: diperoleh dari pengurangan T_i dengan nilai rata-rata \bar{T}_i

10. $(T_i - \bar{T}_i)^2$: diperoleh dari $T_i - \bar{T}_i$ dikuadratkan
 11. Index of Fit

$$r = \frac{n \sum_{i=1}^n T_i Y_i - (\sum_{i=1}^n T_i)(\sum_{i=1}^n Y_i)}{\sqrt{[n(\sum_{i=1}^n T_i^2) - (\sum_{i=1}^n T_i)^2][n(\sum_{i=1}^n Y_i^2) - (\sum_{i=1}^n Y_i)^2]}}$$

$$r = \frac{15(228,4) - (718)(0)}{\sqrt{[15(39262) - (718)^2][15(11,3) - (0)^2]}}$$

$$r = 0,9065$$

b. Distribusi Lognormal

Tabel 4.27 Interval perbaikan komponen heater distribusi lognormal.

| i | Ti | F(Ti) | Ti= ln(T) | Yi | Ti ² | Yi ² | Ti . Yi | Ti - Tī | (Ti - Tī) ² |
|-------|---------|----------|-----------|------|-----------------|-----------------|---------|----------|-------------------------|
| 1 | 13 | 0,045455 | 2,5649 | -1,6 | 6,578965 | 2,56 | -4,1039 | -1,2172 | 1,4816 |
| 2 | 30 | 0,11039 | 3,4012 | -1,2 | 11,56814 | 1,44 | -4,0814 | -0,3810 | 0,1451 |
| 3 | 30 | 0,175325 | 3,4012 | -0,9 | 11,56814 | 0,81 | -3,0611 | -0,3810 | 0,1451 |
| 4 | 30 | 0,24026 | 3,4012 | -0,7 | 11,56814 | 0,49 | -2,3808 | -0,3810 | 0,1451 |
| 5 | 35 | 0,305195 | 3,5553 | -0,5 | 12,6405 | 0,25 | -1,7777 | -0,2268 | 0,0514 |
| 6 | 45 | 0,37013 | 3,8067 | -0,3 | 14,49068 | 0,09 | -1,1420 | 0,0245 | 0,0006 |
| 7 | 47 | 0,435065 | 3,8501 | -0,1 | 14,82364 | 0,01 | -0,3850 | 0,0680 | 0,0046 |
| 8 | 50 | 0,5 | 3,9120 | 0 | 15,30392 | 0 | 0,0000 | 0,1299 | 0,0169 |
| 9 | 50 | 0,564935 | 3,9120 | 0,1 | 15,30392 | 0,01 | 0,3912 | 0,1299 | 0,0169 |
| 10 | 53 | 0,62987 | 3,9703 | 0,3 | 15,76322 | 0,09 | 1,1911 | 0,1881 | 0,0354 |
| 11 | 60 | 0,694805 | 4,0943 | 0,5 | 16,76366 | 0,25 | 2,0472 | 0,3122 | 0,0975 |
| 12 | 60 | 0,75974 | 4,0943 | 0,7 | 16,76366 | 0,49 | 2,8660 | 0,3122 | 0,0975 |
| 13 | 60 | 0,824675 | 4,0943 | 0,9 | 16,76366 | 0,81 | 3,6849 | 0,3122 | 0,0975 |
| 14 | 65 | 0,88961 | 4,1744 | 1,2 | 17,42551 | 1,44 | 5,0093 | 0,3922 | 0,1538 |
| 15 | 90 | 0,954545 | 4,4998 | 1,6 | 20,24829 | 2,56 | 7,1997 | 0,7177 | 0,5150 |
| TOTAL | 718 | 7,5 | 56,7323 | 0 | 217,574 | 11,3 | 5,4574 | 0 | 3,0040 |
| AVG | 47,8666 | 0,5 | 3,7822 | 0 | 14,50494 | 0,75333 | 0,3638 | 0 | 0,2003 |

Uraian Perhitungan:

1. i : data ke-i
2. N : jumlah data
3. T_i : waktu antara kerusakan komponen setelah diranking
4. $F(T_i)$: diperoleh dari rumus $(i-0,3)/(N+0,4)$, sehingga $F(T_i)$ data ke-1 adalah adalah $(1-0,3)/(15+0,4) = 0,045455$, dst.
5. Y_i : didapat dari Tabel Standardized Normal Probabilities dimana $Z = F(T_i) = 0,045455$, sehingga diperoleh nilai $Y_i = -1,6$.
6. $T_i = \ln(T)$: waktu antara kerusakan distribusi Lognormal diperoleh oleh rumus $\ln(T)$ sehingga T_1 data Ke-1 adalah $\ln(T) = 2,5649$.
7. T_i^2 : diperoleh dari $T_i \times T_i$
8. Y_i^2 : diperoleh dari $Y_i \times Y_i$
9. $T_i \cdot Y_i$: diperoleh dari perkalian T_i dengan Y_i
10. $T_i - \bar{T}_i$: diperoleh dari pengurangan T_i dengan nilai rata-rata \bar{T}_i
11. $(T_i - \bar{T}_i)^2$: diperoleh dari $T_i - \bar{T}_i$ dikuadratkan
12. Index of Fit

$$r = \frac{n \sum_{i=1}^n T_i Y_i - (\sum_{i=1}^n T_i)(\sum_{i=1}^n Y_i)}{\sqrt{[n(\sum_{i=1}^n T_i^2) - (\sum_{i=1}^n T_i)^2][n(\sum_{i=1}^n Y_i^2) - (\sum_{i=1}^n Y_i)^2]}}$$

$$r = \frac{15(5,4574) - (56,7323)(0)}{\sqrt{[20(217,574) - (56,7323)^2][20(11,3) - (0)^2]}}$$

$$r = 0,9367$$

c. Distribusi Eksponensial

Tabel 4.28 Interval perbaikan komponen heater distribusi eksponensial.

| i | Ti | F(Ti) | Yi= ln[1-F(Ti)] | Ti ² | Yi ² | Ti . Yi | Ti- \bar{T}_i | (Ti- \bar{T}_i) ² |
|-------|---------|----------|-----------------|-----------------|-----------------|-----------|-----------------|---------------------------------|
| 1 | 13 | 0,045455 | -0,0465 | 169 | 0,0022 | -0,6048 | -34,8667 | 1215,6844 |
| 2 | 30 | 0,11039 | -0,1170 | 900 | 0,0137 | -3,5092 | -17,8667 | 319,2178 |
| 3 | 30 | 0,175325 | -0,1928 | 900 | 0,0372 | -5,7830 | -17,8667 | 319,2178 |
| 4 | 30 | 0,24026 | -0,2748 | 900 | 0,0755 | -8,2434 | -17,8667 | 319,2178 |
| 5 | 35 | 0,305195 | -0,3641 | 1225 | 0,1326 | -12,7443 | -12,8667 | 165,5511 |
| 6 | 45 | 0,37013 | -0,4622 | 2025 | 0,2137 | -20,8009 | -2,8667 | 8,2178 |
| 7 | 47 | 0,435065 | -0,5710 | 2209 | 0,3261 | -26,8391 | -0,8667 | 0,7511 |
| 8 | 50 | 0,5 | -0,6931 | 2500 | 0,4805 | -34,6574 | 2,1333 | 4,5511 |
| 9 | 50 | 0,564935 | -0,8323 | 2500 | 0,6927 | -41,6130 | 2,1333 | 4,5511 |
| 10 | 53 | 0,62987 | -0,9939 | 2809 | 0,9878 | -52,6768 | 5,1333 | 26,3511 |
| 11 | 60 | 0,694805 | -1,1868 | 3600 | 1,4085 | -71,2083 | 12,1333 | 147,2178 |
| 12 | 60 | 0,75974 | -1,4260 | 3600 | 2,0336 | -85,5621 | 12,1333 | 147,2178 |
| 13 | 60 | 0,824675 | -1,7411 | 3600 | 3,0315 | -104,4669 | 12,1333 | 147,2178 |
| 14 | 65 | 0,88961 | -2,2037 | 4225 | 4,8565 | -143,2431 | 17,1333 | 293,5511 |
| 15 | 90 | 0,954545 | -3,0910 | 8100 | 9,5545 | -278,1938 | 42,1333 | 1775,2178 |
| TOTAL | 718 | 7,5 | -14,1965 | 39262 | 23,8464 | -890,1459 | 0 | 4893,7333 |
| AVG | 47,8666 | 0,5 | -0,9464 | 2617,4667 | 1,5898 | -59,3431 | 0 | 326,2489 |

Uraian Perhitungan:

1. i : data ke-i
2. N : jumlah data
3. T_i : waktu antara kerusakan komponen setelah diranking
4. $F(T_i)$: diperoleh dari rumus $(i-0,3)/(N+0,4)$, sehingga $F(T_i)$ data ke-1 adalah $(1-0,3)/(15+0,4) = 0,045455$, dst.
5. Y_i : diperoleh dari rumus $Y = \ln[1-F(T)]$, sehingga nilai $Y = \ln[1-0,045455] = -0,0465$.
6. T_i^2 : diperoleh dari $T_i \times T_i$
7. Y_i^2 : diperoleh dari $Y_i \times Y_i$
8. $T_i \cdot Y_i$: diperoleh dari perkalian T_i dengan Y_i
9. $T_i - \bar{T}_i$: diperoleh dari pengurangan T_i dengan nilai rata-rata \bar{T}_i
10. $(T_i - \bar{T}_i)^2$: diperoleh dari $T_i - \bar{T}_i$ dikuadratkan
11. Index of Fit

$$r = \frac{n \sum_{i=1}^n T_i \cdot Y_i - (\sum_{i=1}^n T_i)(\sum_{i=1}^n Y_i)}{\sqrt{[n(\sum_{i=1}^n T_i^2) - (\sum_{i=1}^n T_i)^2][n(\sum_{i=1}^n Y_i^2) - (\sum_{i=1}^n Y_i)^2]}}$$

$$r = \frac{15(-890,1459) - (718)(-14,1965)}{\sqrt{[15(39262) - (718)^2][15(23,8464) - (-14,1965)^2]}}$$

$$r = -0,9331$$

c. Distribusi Weibull

Tabel 4.29 Interval perbaikan komponen heater distribusi weibull.

| i | Ti | F(Ti) | Ti= ln(Ti) | Yi= ln[-ln(1-F(Ti))] | Ti ² | Yi ² | Ti . Yi | Ti-̄Ti | (Ti-̄Ti) ² |
|-------|---------|----------|------------|----------------------|-----------------|-----------------|----------|---------|-----------------------|
| 1 | 13 | 0,045455 | 2,5649 | -3,0679 | 6,5790 | 9,4118 | -7,8689 | -1,2172 | 1,48158 |
| 2 | 30 | 0,11039 | 3,4012 | -2,1458 | 11,5681 | 4,6046 | -7,2984 | -0,3810 | 0,145126 |
| 3 | 30 | 0,175325 | 3,4012 | -1,6463 | 11,5681 | 2,7102 | -5,5993 | -0,3810 | 0,145126 |
| 4 | 30 | 0,24026 | 3,4012 | -1,2918 | 11,5681 | 1,6687 | -4,3936 | -0,3810 | 0,145126 |
| 5 | 35 | 0,305195 | 3,5553 | -1,0103 | 12,6405 | 1,0206 | -3,5918 | -0,2268 | 0,05144 |
| 6 | 45 | 0,37013 | 3,8067 | -0,7717 | 14,4907 | 0,5955 | -2,9375 | 0,0245 | 0,000601 |
| 7 | 47 | 0,435065 | 3,8501 | -0,5603 | 14,8236 | 0,3139 | -2,1572 | 0,0680 | 0,004624 |
| 8 | 50 | 0,5 | 3,9120 | -0,3665 | 15,3039 | 0,1343 | -1,4338 | 0,1299 | 0,016867 |
| 9 | 50 | 0,564935 | 3,9120 | -0,1836 | 15,3039 | 0,0337 | -0,7183 | 0,1299 | 0,016867 |
| 10 | 53 | 0,62987 | 3,9703 | -0,0061 | 15,7632 | 0,0000 | -0,0243 | 0,1881 | 0,035397 |
| 11 | 60 | 0,694805 | 4,0943 | 0,1713 | 16,7637 | 0,0293 | 0,7012 | 0,3122 | 0,097465 |
| 12 | 60 | 0,75974 | 4,0943 | 0,3549 | 16,7637 | 0,1260 | 1,4531 | 0,3122 | 0,097465 |
| 13 | 60 | 0,824675 | 4,0943 | 0,5545 | 16,7637 | 0,3075 | 2,2704 | 0,3122 | 0,097465 |
| 14 | 65 | 0,88961 | 4,1744 | 0,7902 | 17,4255 | 0,6243 | 3,2984 | 0,3922 | 0,153849 |
| 15 | 90 | 0,954545 | 4,4998 | 1,1285 | 20,2483 | 1,2735 | 5,0781 | 0,7177 | 0,515034 |
| TOTAL | 718 | 7,5 | 56,7323 | -8,0509 | 217,5740 | 22,8541 | -23,2219 | 0 | 3,004029 |
| AVG | 47,8667 | 0,5 | 3,7822 | -0,5367 | 14,5049 | 1,5236 | -1,5481 | 0 | 0,200269 |

Uraian Perhitungan:

1. i : data ke-i
2. N : jumlah data
3. t_i : waktu antara kerusakan komponen setelah diranking
4. F(T_i) : diperoleh dari rumus $(i-0,3)/(N+0,4)$, sehingga F(T_i) data ke-1 adalah adalah $(1-0,3)/(15+0,4) = 0,045455$ dst.
5. T : waktu antara kerusakan distribusi weibull diperoleh oleh rumus LN(T) sehingga T data Ke-1 adalah LN(T) = 10,3634.
6. Y_i : diperoleh dari rumus $Y_i = \ln\{-\ln[1-F(T_i)]\}$, sehingga nilai Y_i = $\ln[-\ln[1-F(T_i)] = -3,0679$
7. T_i² : diperoleh dari T_i x T_i
8. Y_i² : diperoleh dari Y_i x Y_i
9. T_i Y_i : diperoleh dari perkalian T_i dengan Y_i
10. Ti-̄Ti : diperoleh dari pengurangan T_i dengan nilai rata-rata ̄Ti
11. (Ti-̄Ti)² : diperoleh dari Ti-̄Ti dikuadratkan
12. Index of Fit

$$r = \frac{n \sum_{i=1}^n Ti.Yi - (\sum_{i=1}^n Ti)(\sum_{i=1}^n Yi)}{\sqrt{[n(\sum_{i=1}^n Ti^2) - (\sum_{i=1}^n Ti)^2][n(\sum_{i=1}^n Yi^2) - (\sum_{i=1}^n Yi)^2]}}$$

$$r = \frac{15(-23,2219)-(56,7323)(-8,0509)}{\sqrt{[15(217,5740)-(56,7323)^2][15(22,8541)-(-8,0509)^2]}}$$

$$r = 0,9886$$

3. Interval perbaikan komponen as pusher opp.

a. Distribusi Normal

Tabel 4.30 Interval perbaikan komponen as pusher opp distribusi normal.

| i | Ti | F(Ti) | Yi | Ti ² | Yi ² | Ti . Yi | Ti-̄Ti | (Ti-̄Ti) ² |
|-------|----------|----------|------|-----------------|-----------------|----------|----------|-----------------------|
| 1 | 20 | 0,052239 | -1,6 | 400 | 2,56 | -32 | -45,4615 | 2066,751 |
| 2 | 35 | 0,126866 | -1,1 | 1225 | 1,21 | -38,5 | -30,4615 | 927,9053 |
| 3 | 36 | 0,201493 | -0,8 | 1296 | 0,64 | -28,8 | -29,4615 | 867,9822 |
| 4 | 45 | 0,276119 | -0,5 | 2025 | 0,25 | -22,5 | -20,4615 | 418,6746 |
| 5 | 45 | 0,350746 | -0,3 | 2025 | 0,09 | -13,5 | -20,4615 | 418,6746 |
| 6 | 45 | 0,425373 | -0,1 | 2025 | 0,01 | -4,5 | -20,4615 | 418,6746 |
| 7 | 50 | 0,5 | 0 | 2500 | 0 | 0 | -15,4615 | 239,0592 |
| 8 | 60 | 0,574627 | 0,1 | 3600 | 0,01 | 6 | -5,46154 | 29,8284 |
| 9 | 85 | 0,649254 | 0,3 | 7225 | 0,09 | 25,5 | 19,53846 | 381,7515 |
| 10 | 90 | 0,723881 | 0,5 | 8100 | 0,25 | 45 | 24,53846 | 602,1361 |
| 11 | 90 | 0,798507 | 0,8 | 8100 | 0,64 | 72 | 24,53846 | 602,1361 |
| 12 | 120 | 0,873134 | 1,1 | 14400 | 1,21 | 132 | 54,53846 | 2974,444 |
| 13 | 130 | 0,947761 | 1,6 | 16900 | 2,56 | 208 | 64,53846 | 4165,213 |
| TOTAL | 851 | 6,5 | 0 | 69821 | 9,52 | 348,7 | 0 | 14113,23 |
| AVG | 65,46154 | 0,5 | 0 | 5370,846154 | 0,732308 | 26,82308 | 0 | 1085,633 |

Uraian Perhitungan:

1. i : data ke-i
2. N : jumlah data
3. T_i : waktu antara kerusakan komponen setelah diranking
4. F(T_i) : diperoleh dari rumus $(i-0,3)/(N+0,4)$, sehingga F(T_i) data ke-1 adalah adalah $(1-0,3)/(13+0,4) = 0,052239$, dst.
5. Y_i : didapat dari Tabel Standarized Normal Probabilities dimana Z = F(T_i) = 0,045455, sehingga diperoleh nilai Y_i = -1,6.
6. T_i² : diperoleh dari T_i x T_i
7. Y_i² : diperoleh dari Y_i x Y_i
8. T_i Y_i : diperoleh dari perkalian T_i dengan Y_i
9. T_i-̄T_i : diperoleh dari pengurangan T_i dengan nilai rata-rata ̄T_i
10. (T_i-̄T_i)² : diperoleh dari T_i-̄T_i dikuadratkan
11. Index of Fit

$$r = \frac{n \sum_{i=1}^n T_i Y_i - (\sum_{i=1}^n T_i)(\sum_{i=1}^n Y_i)}{\sqrt{[n(\sum_{i=1}^n T_i^2) - (\sum_{i=1}^n T_i)^2][n(\sum_{i=1}^n Y_i^2) - (\sum_{i=1}^n Y_i)^2]}}$$

$$r = \frac{13(348,7) - (851)(0)}{\sqrt{[13(69821) - (851)^2][13(9,52) - (0)^2]}}$$

$$r = 0,9513$$

b. Distribusi Lognormal

Tabel 4.31 Interval perbaikan komponen as pusher opp distribusi lognormal.

| i | Ti | F(Ti) | Ti= ln(T) | Yi | Ti ² | Yi ² | Ti . Yi | Ti- Tī | (Ti- Tī) ² |
|-------|---------|----------|-------------|------|-----------------|-----------------|----------|----------|------------------------|
| 1 | 20 | 0,052239 | 2,995732274 | -1,6 | 8,974412 | 2,56 | -4,79317 | -1,0549 | 1,112819 |
| 2 | 35 | 0,126866 | 3,555348061 | -1,1 | 12,6405 | 1,21 | -3,91088 | -0,49529 | 0,245309 |
| 3 | 36 | 0,201493 | 3,583518938 | -0,8 | 12,84161 | 0,64 | -2,86682 | -0,46712 | 0,218197 |
| 4 | 45 | 0,276119 | 3,80666249 | -0,5 | 14,49068 | 0,25 | -1,90333 | -0,24397 | 0,059522 |
| 5 | 45 | 0,350746 | 3,80666249 | -0,3 | 14,49068 | 0,09 | -1,142 | -0,24397 | 0,059522 |
| 6 | 45 | 0,425373 | 3,80666249 | -0,1 | 14,49068 | 0,01 | -0,38067 | -0,24397 | 0,059522 |
| 7 | 50 | 0,5 | 3,912023005 | 0 | 15,30392 | 0 | 0 | -0,13861 | 0,019213 |
| 8 | 60 | 0,574627 | 4,094344562 | 0,1 | 16,76366 | 0,01 | 0,409434 | 0,04371 | 0,001911 |
| 9 | 85 | 0,649254 | 4,442651256 | 0,3 | 19,73715 | 0,09 | 1,332795 | 0,392017 | 0,153677 |
| 10 | 90 | 0,723881 | 4,49980967 | 0,5 | 20,24829 | 0,25 | 2,249905 | 0,449175 | 0,201758 |
| 11 | 90 | 0,798507 | 4,49980967 | 0,8 | 20,24829 | 0,64 | 3,599848 | 0,449175 | 0,201758 |
| 12 | 120 | 0,873134 | 4,787491743 | 1,1 | 22,92008 | 1,21 | 5,266241 | 0,736857 | 0,542958 |
| 13 | 130 | 0,947761 | 4,86753445 | 1,6 | 23,69289 | 2,56 | 7,788055 | 0,8169 | 0,667325 |
| TOTAL | 851 | 6,5 | 52,6582511 | 0 | 216,8428 | 9,52 | 5,649413 | 0 | 3,543493 |
| AVG | 65,4615 | 0,5 | 4,0506347 | 0 | 16,68022 | 0,73230 | 0,43457 | 0 | 0,272576 |

Uraian Perhitungan:

1. i : data ke-i
2. N : jumlah data
3. T_i : waktu antara kerusakan komponen setelah diranking
4. F(T_i) : diperoleh dari rumus $(i-0,3)/(N+0,4)$, sehingga F(T_i) data ke-1 adalah adalah $(1-0,3)/(13+0,4) = 0,052239$, dst.
5. Y_i : didapat dari Tabel Standarized Normal Probabilities dimana Z = F(T_i) = 0,052239, sehingga diperoleh nilai Y_i = -1,6.
6. T_i= LN(T) : waktu antara kerusakan distribusi Lognormal diperoleh oleh rumus LN(T) sehingga T_i data Ke-1 adalah LN(T) = 2,9957
7. T_i² : diperoleh dari T_i x T_i
8. Y_i² : diperoleh dari Y_i x Y_i
9. T_i Y_i : diperoleh dari perkalian T_i dengan Y_i
10. T_i- Tī : diperoleh dari pengurangan T_i dengan nilai rata-rata Tī
11. (T_i- Tī)² : diperoleh dari T_i- Tī dikuadratkan
12. Index of Fit

$$r = \frac{n \sum_{i=1}^n T_i \cdot Y_i - (\sum_{i=1}^n T_i)(\sum_{i=1}^n Y_i)}{\sqrt{[n(\sum_{i=1}^n T_i^2) - (\sum_{i=1}^n T_i)^2][n(\sum_{i=1}^n Y_i^2) - (\sum_{i=1}^n Y_i)^2]}}$$

$$r = \frac{13(5,6494) - (52,6582)(0)}{\sqrt{[13(216,8428) - (165,6746)^2][13(9,52) - (0)^2]}}$$

$$r = 0,9727$$

c. Distribusi Eksponensial

Tabel 4.32 Interval perbaikan komponen as pusher opp distribusi eksponensial.

| i | Ti | F(Ti) | Yi= ln[1-F(Ti)] | Ti ² | Yi ² | Ti . Yi | Ti-̄Ti | (Ti-̄Ti) ² |
|-------|--------|----------|-----------------|-----------------|-----------------|----------|----------|-----------------------|
| 1 | 20 | 0,052239 | -0,0537 | 400 | 0,002879 | -1,07305 | -45,4615 | 2066,751 |
| 2 | 35 | 0,126866 | -0,1357 | 1225 | 0,018405 | -4,74831 | -30,4615 | 927,9053 |
| 3 | 36 | 0,201493 | -0,2250 | 1296 | 0,05063 | -8,10039 | -29,4615 | 867,9822 |
| 4 | 45 | 0,276119 | -0,3231 | 2025 | 0,104412 | -14,5408 | -20,4615 | 418,6746 |
| 5 | 45 | 0,350746 | -0,4319 | 2025 | 0,186565 | -19,4369 | -20,4615 | 418,6746 |
| 6 | 45 | 0,425373 | -0,5540 | 2025 | 0,306954 | -24,9315 | -20,4615 | 418,6746 |
| 7 | 50 | 0,5 | -0,6931 | 2500 | 0,480453 | -34,6574 | -15,4615 | 239,0592 |
| 8 | 60 | 0,574627 | -0,8548 | 3600 | 0,730663 | -51,2873 | -5,46154 | 29,8284 |
| 9 | 85 | 0,649254 | -1,0477 | 7225 | 1,097659 | -89,0538 | 19,53846 | 381,7515 |
| 10 | 90 | 0,723881 | -1,2869 | 8100 | 1,656168 | -115,823 | 24,53846 | 602,1361 |
| 11 | 90 | 0,798507 | -1,6020 | 8100 | 2,566413 | -144,18 | 24,53846 | 602,1361 |
| 12 | 120 | 0,873134 | -2,0646 | 14400 | 4,262682 | -247,755 | 54,53846 | 2974,444 |
| 13 | 130 | 0,947761 | -2,9519 | 16900 | 8,713889 | -383,751 | 64,53846 | 4165,213 |
| TOTAL | 851 | 6,5 | -12,2245 | 69821 | 20,17777 | -1139,34 | 0 | 14113,23 |
| AVG | 65,461 | 0,5 | -0,9403 | 5370,8 | 1,552136 | -87,6414 | 0 | 1085,633 |

Uraian Perhitungan:

1. i : data ke-i
2. N : jumlah data
3. T_i : waktu antara kerusakan komponen setelah diranking
4. F(T_i) : diperoleh dari rumus $(i-0,3)/(N+0,4)$, sehingga F(T_i) data ke-1 adalah adalah $(1-0,3)/(13+0,4) = 0,052239$, dst.
5. Y_i : diperoleh dari rumus $Y = \ln[1-F(T_i)]$, sehingga nilai Y = $\ln[1-0,052239] = -0,0537$.
6. T_i² : diperoleh dari T_i x T_i
7. Y_i² : diperoleh dari Y_i x Y_i
8. T_i Y_i : diperoleh dari perkalian T_i dengan Y_i
9. T_i-̄T_i : diperoleh dari pengurangan T_i dengan nilai rata-rata ̄T_i
10. (T_i-̄T_i)² : diperoleh dari T_i-̄T_i dikuadratkan
11. Index of Fit

$$r = \frac{n \sum_{i=1}^n T_i \cdot Y_i - (\sum_{i=1}^n T_i)(\sum_{i=1}^n Y_i)}{\sqrt{[n(\sum_{i=1}^n T_i^2) - (\sum_{i=1}^n T_i)^2][n(\sum_{i=1}^n Y_i^2) - (\sum_{i=1}^n Y_i)^2]}}$$

$$r = \frac{13(-1139,34) - (851)(-12,2245)}{\sqrt{[13(69821) - (851)^2][13(20,17777) - (-12,2245)^2]}}$$

$$r = -0,9687$$

c. Distribusi Weibull

Tabel 4.33 Interval perbaikan komponen as pusher opp distribusi weibull.

| i | Ti | F(Ti) | Ti= ln(Ti) | Yi= ln[-ln(1-F(Ti))] | Ti ² | Yi ² | Ti . Yi | Ti-̄Ti | (Ti-̄Ti) ² |
|-------|---------|----------|-------------|----------------------|-----------------|-----------------|----------|----------|-----------------------|
| 1 | 20 | 0,052239 | 2,995732274 | -2,925223234 | 8,974412 | 8,556931 | -8,76319 | -1,0549 | 1,112819 |
| 2 | 35 | 0,126866 | 3,555348061 | -1,99756029 | 12,6405 | 3,990247 | -7,10202 | -0,49529 | 0,245309 |
| 3 | 36 | 0,201493 | 3,583518938 | -1,491606142 | 12,84161 | 2,224889 | -5,3452 | -0,46712 | 0,218197 |
| 4 | 45 | 0,276119 | 3,80666249 | -1,129704207 | 14,49068 | 1,276232 | -4,3004 | -0,24397 | 0,059522 |
| 5 | 45 | 0,350746 | 3,80666249 | -0,839487848 | 14,49068 | 0,70474 | -3,19565 | -0,24397 | 0,059522 |
| 6 | 45 | 0,425373 | 3,80666249 | -0,59052854 | 14,49068 | 0,348724 | -2,24794 | -0,24397 | 0,059522 |
| 7 | 50 | 0,5 | 3,912023005 | -0,366512921 | 15,30392 | 0,134332 | -1,43381 | -0,13861 | 0,019213 |
| 8 | 60 | 0,574627 | 4,094344562 | -0,156901171 | 16,76366 | 0,024618 | -0,64241 | 0,04371 | 0,001911 |
| 9 | 85 | 0,649254 | 4,442651256 | 0,046589839 | 19,73715 | 0,002171 | 0,206982 | 0,392017 | 0,153677 |
| 10 | 90 | 0,723881 | 4,49980967 | 0,252253233 | 20,24829 | 0,063632 | 1,135092 | 0,449175 | 0,201758 |
| 11 | 90 | 0,798507 | 4,49980967 | 0,47125468 | 20,24829 | 0,222081 | 2,120556 | 0,449175 | 0,201758 |
| 12 | 120 | 0,873134 | 4,787491743 | 0,724949317 | 22,92008 | 0,525552 | 3,470689 | 0,736857 | 0,542958 |
| 13 | 130 | 0,947761 | 4,86753445 | 1,082459075 | 23,69289 | 1,171718 | 5,268907 | 0,8169 | 0,667325 |
| TOTAL | 851 | 6,5 | 52,6582511 | -6,920018209 | 216,8428 | 19,24586 | -20,8284 | 0 | 3,543493 |
| AVG | 65,4615 | 0,5 | 4,0506347 | -0,532309093 | 16,68022 | 1,480451 | -1,60218 | 0 | 0,272576 |

Uraian Perhitungan:

1. i : data ke-i
2. N : jumlah data
3. t_i : waktu antara kerusakan komponen setelah diranking
4. F(T_i) : diperoleh dari rumus (i-0,3)/(N+0,4), sehingga F(T_i) data ke-1 adalah adalah (1-0,3)/(15+0,4) = 0,052239 dst.
5. T : waktu antara kerusakan distribusi weibull diperoleh oleh rumus LN(T) sehingga T data Ke-1 adalah LN(T) = 2,9957
6. Y : diperoleh dari rumus Y_i = LN{-LN[1-F(T_i)]}, sehingga nilai Y_i = LN[-LN[1-F(T_i)]] = -2,9252
7. T_i² : diperoleh dari T_i x T_i
8. Y_i² : diperoleh dari Y_i x Y_i
9. T_i Y_i : diperoleh dari perkalian T_i dengan Y_i
10. Ti-̄Ti : diperoleh dari pengurangan T_i dengan nilai rata-rata ̄Ti
11. (Ti-̄Ti)² : diperoleh dari Ti-̄Ti dikuadratkan
12. Index of Fit

$$r = \frac{n \sum_{i=1}^n Ti.Yi - (\sum_{i=1}^n Ti)(\sum_{i=1}^n Yi)}{\sqrt{[n(\sum_{i=1}^n Ti^2) - (\sum_{i=1}^n Ti)^2][n(\sum_{i=1}^n Yi^2) - (\sum_{i=1}^n Yi)^2]}}$$

$$r = \frac{13(-20,8284) - (52,6582)(-6,9200)}{\sqrt{[15(216,8428) - (165,6746)^2][15(19,24586) - (-8,05087)^2]}}$$

$$r = 0,9699$$

4.4 Perhitungan Parameter dan MTTF komponen

Perlu diperhatikan bahwa melakukan perhitungan nilai MTTF untuk komponen mesin chimei menggunakan data interval kerusakan. Berdasarkan pengujian pola distribusi yang telah dilakukan sebelumnya, data interval kerusakan komponen mesin chimei sebagai berikut:

Tabel 4.34 Data Interval Kerusakan Komponen Mesin Chimei.

| Komponen | Pola Distribusi | Nilai Fit of Index (FOI) |
|---------------|-----------------|--------------------------|
| Cutting plat | Weibull | 0,9896 |
| Heater | Lognormal | 0,9880 |
| As pusher opp | Lognormal | 0,9733 |

Setiap komponen mesin chimei memiliki pola distribusinya tersendiri maka akan dihitung MTTF untuk mendapatkan komponen mesin chimei yang memiliki hasil MTTF terendah. Contoh perhitungan dan nilai MTTF untuk setiap komponen mesin chimei akan dijelaskan sebagai berikut:

1. Komponen Cutting plat (Weibull)

Diketahui :

$$\sum TiYi = -109,5248$$

$$\sum Ti = 215,10469$$

$$\sum Yi = -10,88907$$

$$\sum Ti^2 = 2315,7561$$

$$N = 20$$

Maka :

$$\begin{aligned} b &= \frac{\sum_{i=1}^N TiYi - \frac{\sum_{i=1}^N Ti \sum_{i=1}^N Yi}{N}}{\sum_{i=1}^N Ti^2 - \frac{(\sum_{i=1}^N Ti)^2}{N}} \\ &= \frac{-109,5248 - \frac{(215,10469)(-10,88907)}{20}}{2315,7561 - \frac{(215,10469)^2}{20}} \end{aligned}$$

$$= 3,366$$

$$\begin{aligned} a &= \frac{\sum_{i=1}^N Y_i}{N} - b \frac{\sum_{i=1}^N T_i}{N} \\ &= \frac{-10,88907}{20} - 3,366 \frac{215,10469}{20} \\ &= -36,7478 \end{aligned}$$

Parameter bentuk (β) = $b = 3,366$

$$\text{Parameter skala } (\theta) = \eta = e - \frac{a}{b} = e - \frac{-36,7478}{3,366} = 55104,122$$

$$\begin{aligned} \text{MTTF} &= \eta \Gamma \left(\frac{1}{\beta} + 1 \right) \\ &= 55104,122 \Gamma \left(\frac{1}{3,366} + 1 \right) \\ &= 49454 \text{ menit} \end{aligned}$$

2. Komponen Heater (Lognormal)

Diketahui :

$$\sum T_l = \frac{\sum T_i}{N} = \frac{165,67465}{15}$$

$$\sum T_i = 165,67465$$

$$N = 13$$

$$\sum (T_i - T_l)^2 = 1,502$$

Maka,

$$\mu = T_l = \frac{\sum T_i}{N} = \frac{165,67465}{15} = 11,0449$$

$$\sigma = \sqrt{\frac{\sum (T_i - T_l)^2}{N-1}}$$

$$= \sqrt{\frac{1,502}{14}}$$

$$\begin{aligned}
 &= 0,10729 \\
 \text{MTTR} &= e^{\mu + \frac{1}{2}(\sigma)^2} \\
 &= e^{11,0449 + \frac{1}{2}(0,10729)^2}
 \end{aligned}$$

$$= 622990 \text{ menit}$$

3. Komponen As pusher opp (Lognormal)

Diketahui :

$$\sum Tl = \frac{\sum Ti}{N} = \frac{146,37213}{13}$$

$$\sum Ti = 146,37213$$

$$N = 13$$

$$\sum(Ti - Tl)^2 = 0,67998$$

Maka,

$$\mu = Tl = \frac{\sum Ti}{N} = \frac{146,37213}{13} = 11,259395$$

$$\begin{aligned}
 \sigma &= \sqrt{\frac{\sum(Ti - Tl)^2}{N-1}} \\
 &= \sqrt{\frac{0,67998}{12}}
 \end{aligned}$$

$$= 0,2380$$

$$\begin{aligned}
 \text{MTTR} &= e^{\mu + \frac{1}{2}(\sigma)^2} \\
 &= e^{11,259 + \frac{1}{2}(0,2380)^2} \\
 &= 79835 \text{ menit}
 \end{aligned}$$

4.5 Perhitungan Parameter dan MTTR komponen

Perlu diperhatikan bahwa melakukan perhitungan nilai MTTR untuk komponen mesin chimei menggunakan data interval perbaikan. Berdasarkan pengujian pola distribusi yang telah dilakukan sebelumnya, data interval perbaikan komponen mesin chimei sebagai berikut:

Tabel 4.35 Data Interval Perbaikan Komponen Mesin Chimei.

| Komponen | Pola Distribusi | Nilai Fit of Index (FOI) |
|---------------|-----------------|--------------------------|
| Cutting plat | Weibull | 0,9630 |
| Heater | Weibull | 0,9687 |
| As pusher opp | Lognormal | 0,9727 |

Setiap komponen mesin chimei memiliki pola distribusinya tersendiri maka akan dihitung MTTR untuk mendapatkan komponen mesin chimei yang memiliki hasil MTTR terendah. Contoh perhitungan dan nilai MTTR untuk setiap komponen mesin chimei akan dijelaskan sebagai berikut:

- Komponen Cutting plat (Weibull)

Diketahui :

$$\sum TiYi = -30,6668$$

$$\sum Ti = 76,7945$$

$$\sum Yi = -10,8891$$

$$\sum Ti^2 = 300,0024$$

$$N = 20$$

Maka :

$$\begin{aligned} b &= \frac{\sum_{i=1}^N TiYi - \frac{\sum_{i=1}^N Ti \sum_{i=1}^N Yi}{N}}{\sum_{i=1}^N Ti^2 - \frac{(\sum_{i=1}^N Ti)^2}{N}} \\ &= \frac{-30,6668 - \frac{(76,7945)(-10,8891)}{20}}{300,0024 - \frac{(76,7945)^2}{20}} \\ &= 2,171 \end{aligned}$$

$$\begin{aligned}
 a &= \frac{\sum_{i=1}^N Y_i}{N} - b \frac{\sum_{i=1}^N T_i}{N} \\
 &= \frac{-10,8891}{20} - 2,171 \frac{76,7945}{20} \\
 &= -8,88153
 \end{aligned}$$

Parameter bentuk (β) = $b = 2,171$

$$\text{Parameter skala } (\theta) = \eta = e - \frac{a}{b} = e - \frac{-8,8153}{2,171} = 59,76855$$

$$\begin{aligned}
 \text{MTTF} &= \eta \Gamma \left(\frac{1}{\beta} + 1 \right) \\
 &= 59,76855 \Gamma \left(\frac{1}{2,171} + 1 \right) \\
 &= 52,93 \text{ menit}
 \end{aligned}$$

b. Komponen Heater (Weibull)

Diketahui :

$$\sum T_i Y_i = -23,2219$$

$$\sum T_i = 56,7322$$

$$\sum Y_i = -8,0508$$

$$\sum T_i^2 = 217,5740$$

$$N = 15$$

Maka :

$$\begin{aligned}
 b &= \frac{\sum_{i=1}^N T_i Y_i - \frac{\sum_{i=1}^N T_i \sum_{i=1}^N Y_i}{N}}{\sum_{i=1}^N T_i^2 - \frac{(\sum_{i=1}^N T_i)^2}{N}} \\
 &= \frac{-23,2219 - \frac{(56,7322)(-8,0508)}{15}}{217,5740 - \frac{(56,7322)^2}{15}} \\
 &= 2,405
 \end{aligned}$$

$$\begin{aligned}
 a &= \frac{\sum_{i=1}^N Y_i}{N} - b \frac{\sum_{i=1}^N T_i}{N} \\
 &= \frac{-8,0508}{15} - 2,405 \frac{56,7322}{15} \\
 &= -9,6365
 \end{aligned}$$

Parameter bentuk (β) = $b = 3,366$

$$\text{Parameter skala } (\theta) = \eta = e - \frac{a}{b} = e - \frac{-9,6365}{2,405} = 54,88443$$

$$\begin{aligned}
 \text{MTTF} &= \eta \Gamma \left(\frac{1}{\beta} + 1 \right) \\
 &= 54,88443 \Gamma \left(\frac{1}{2,405} + 1 \right) \\
 &= 48,66 \text{ menit}
 \end{aligned}$$

c. Komponen As pusher opp (Lognormal)

Diketahui :

$$\sum T_l = \frac{\sum T_i}{N} = \frac{52,65}{13}$$

$$\sum T_i = 52,65$$

$$N = 13$$

$$\sum (T_i - T_l)^2 = 3,543$$

Maka,

$$\mu = T_l = \frac{\sum T_i}{N} = \frac{52,65}{13} = 4,0506$$

$$\sigma = \sqrt{\frac{\sum (T_i - T_l)^2}{N-1}}$$

$$= \sqrt{\frac{3,543}{12}}$$

$$= 0,5434$$

$$\begin{aligned}
 \text{MTTR} &= e^{\mu + \frac{1}{2}(\sigma)^2} \\
 &= e^{4,0506 + \frac{1}{2}(0,5434)^2} \\
 &= 66,57 \text{ menit}
 \end{aligned}$$

4.6 Usulan Kegiatan Perawatan Komponen

Berikut ini merupakan table summary dari nilai MTTF dan MTTR. Dari komponen cutting plat, heater dan as pusher opp. Data summary tersebut dapat dilihat pada Tabel 4.36 berikut ini. Berdasarkan data ini akan diuraikan kembali informasi terkait perawatan terjadwal komponen Mesin Chimei.

Tabel 4.36 Rekapitulasi Nilai MTTF dan MTTR

| Komponen | Data | Distribusi | β | α | Θ | μ | σ | MTTF (menit) | MTTR (menit) |
|---------------|-----------|------------|---------|----------|-----------|--------|----------|--------------|--------------|
| Cutting plat | Kerusakan | weibull | 3.366 | -36.747 | 49454.296 | - | - | 49454 | - |
| | Perbaikan | weibull | 2.171 | -8.881 | 52.93 | - | - | - | 52.93 |
| Heater | Kerusakan | lognormal | - | - | - | 11.044 | 0.107 | 62990 | - |
| | Perbaikan | weibull | 2.405 | -9.636 | 48.66 | - | - | - | 48.66 |
| As pusher opp | Kerusakan | lognormal | - | - | - | 11.259 | 0.238 | 79835 | - |
| | Perbaikan | lognormal | - | - | - | 4.050 | 0.543 | - | 66.57 |

4.7 Interval Waktu Perawatan

Sesuai dengan hasil perhitungan dan analisa yang telah dirangkum dari tabel sebelumnya, didapatkan informasi sebagai berikut:

- d. Komponen cutting plat sudah harus dilakukan perawatan pencegahan kerusakan ataupun melakukan pergantian komponen setelah beroperasi maksimal selama 49454 menit = 824 jam dengan rata-rata perbaikan yang dilakukan selama 52.93 menit per shutdown

- e. Komponen heater sudah harus dilakukan perwatan pencegahan kerusakan ataupun melakukan pergantian komponen setelah beroperasi maksimal selama 62990 menit = 1049 jam dengan rata-rata perbaikan yang dilakukan selama 48.66 menit per shutdown
- f. Komponen as pusher opp sudah harus dilakukan perwatan pencegahan kerusakan ataupun melakukan pergantian komponen setelah beroperasi maksimal selama 79835 menit = 1330 jam dengan rata-rata perbaikan yang dilakukan selama 66.57 menit per shutdown

4.8 Penentuan Waktu Pemeriksaan Komponen

Selanjutnya akan dilakukan perhitungan interval waktu optimal untuk dilakukan pemerikasaan terhadap masing-masing komponen dengan penjelasan sebagai berikut.

- Komponen Cutting plat

- a. Rata-rata jam kerja per bulan

Hari kerja per bulan = 26 hari

Jam kerja tiap hari = $7\frac{1}{2}$ jam

Rata-rata jam kerja per bulan = $26 \times 7\frac{1}{2} = 187.2$ jam

- b. Jumlah Kerusakan

Jumlah kerusakan selama 2 tahun = 20 kali

- c. Waktu rata-rata perbaikan

$$\frac{1}{\mu} = \frac{MTTR}{Rata - rata kerja perbulan} = \frac{52.93}{187.2} = 0.28$$

$$\mu = \frac{1}{1/\mu} = \frac{1}{0.28} = 3.57$$

- d. Waktu rata – rata pemeriksaan

$$\frac{1}{i} = \frac{rata - rata 1 kali pemeriksaan}{rata - rata jam kerja perbulan} = \frac{0.5}{187.2} = 0.002$$

$$i = \frac{1}{1/i} = \frac{1}{0.002} = 500 \text{ menit} = 8.3 \text{ jam}$$

- e. Rata – rata kerusakan

$$k = \frac{jumlah kerusakan per 2 tahun}{24} = \frac{20}{24} = 0.833$$

- f. Frekuensi pemeriksaan optimal

$$n = \sqrt{\frac{k \times i}{\mu}} = \sqrt{\frac{0,833 \times 8,3}{3,87}} = 1,33 \text{ kali/bulan}$$

- g. Interval waktu perawatan

$$t_i = \frac{rata-rata jam kerja perbulan}{n} = \frac{187.2}{1.33} = 141 \text{ jam}$$

- Komponen Heater

- a. Rata-rata jam kerja per bulan

Hari kerja per bulan = 26 hari

Jam kerja tiap hari = $7\frac{1}{2}$ jam

Rata-rata jam kerja per bulan = $26 \times 7\frac{1}{2} = 187.2$ jam

- b. Jumlah Kerusakan

Jumlah kerusakan selama 2 tahun = 15 kali

- c. Waktu rata-rata perbaikan

$$\frac{1}{\mu} = \frac{MTTR}{Rata - rata kerja perbulan} = \frac{48.66}{187.2} = 0.26$$

$$\mu = \frac{1}{1/\mu} = \frac{1}{0.26} = 3.84$$

- d. Waktu rata – rata pemeriksaan

$$\frac{1}{i} = \frac{rata - rata 1 kali pemeriksaan}{rata - rata jam kerja perbulan} = \frac{0.5}{187.2} = 0.002$$

$$i = \frac{1}{1/i} = \frac{1}{0.002} = 500 = 8.3 \text{ jam}$$

- e. Rata – rata kerusakan

$$k = \frac{jumlah kerusakan per 2 tahun}{24} = \frac{15}{24} = 0.625$$

- f. Frekuensi pemeriksaan optimal

$$n = \sqrt{\frac{k \times i}{\mu}} = \sqrt{\frac{0.625 \times 8.3}{3.84}} = 1.16 \text{ kali/bulan}$$

- g. Interval waktu perawatan

$$t_i = \frac{rata-rata jam kerja perbulan}{n} = \frac{187.2}{1.16} = 161 \text{ jam}$$

- Komponen As pusher opp

- a. Rata-rata jam kerja per bulan

Hari kerja per bulan = 26 hari

Jam kerja tiap hari = $7\frac{1}{2}$ jam

Rata-rata jam kerja per bulan = $26 \times 7\frac{1}{2} = 187.2$ jam

- b. Jumlah Kerusakan selama 2 tahun = 13 kali

- c. Waktu rata-rata perbaikan

$$\frac{1}{\mu} = \frac{MTTR}{Rata - rata kerja perbulan} = \frac{66.57}{187.2} = 0.35$$

$$\mu = \frac{1}{1/\mu} = \frac{1}{0.35} = 2,85$$

d. Waktu rata – rata pemeriksaan

$$\frac{1}{i} = \frac{\text{rata – rata 1 kali pemeriksaan}}{\text{rata – rata jam kerja perbulan}} = \frac{0.75}{187.2} = 0.004$$

$$i = \frac{1}{1/i} = \frac{1}{0.004} = 250 = 4.2 \text{ jam}$$

e. Rata – rata kerusakan

$$k = \frac{\text{jumlah kerusakan per 2 tahun}}{24} = \frac{13}{24} = 0.541$$

f. Frekuensi pemeriksaan optimal

$$n = \sqrt{\frac{k \times i}{\mu}} = \sqrt{\frac{0,541 \times 4,2}{2,85}} = 0,89 \text{ kali/bulan}$$

g. Interval waktu perawatan

$$t_i = \frac{\text{rata-rata jam kerja perbulan}}{n} = \frac{187,2}{0,89} = 210 \text{ jam}$$

Berdasarkan perhitungan ini dapat disimpulkan bahwa pemeriksaan optimal untuk komponen cutting plat dilakukan setiap 1.33 kali atau 1 kali per 1 bulan dengan interval waktu pemeriksaan 141 jam. Berdasarkan perhitungan yang telah diuraikan diatas, dapat dibuat tabel rekapitulasi untuk memudahkan pembacaan hasil analisa interval pemeriksaan atau periodic inspection seperti pada Tabel 4.39 berikut ini.

Tabel 4.39 Hasil Rekapitulasi Periodic Inspection

| No | Komponen | Frekuensi pemeriksaan | Interval pemeriksaan (jam) |
|----|---------------|-----------------------|----------------------------|
| 1 | Cutting plat | 1 kali/bulan | 141 |
| 2 | Heater | 1 kali/bulan | 161 |
| 3 | As pusher opp | 1 kali/bulan | 210 |

4.9 Klasifikasi ABC

Untuk menentukan *spart part* yang di klasifikasikan data *spart part* di ambil dari data part FMEA yang sudah di dapat, maka pengertian dari klasifikasi ABC, yaitu metode yang menempatkan klasifikasi yang berbeda dengan tingkat kepentingan yang semakin menurun. Pengendalian persediaan difokuskan pada beberapa material yang kritis saja. Material yang dianggap kritis yaitu material yang menjadi investasi terbesar bagi perusahaan.

Berikut adalah hasil perhitungan Klasifikasi ABC untuk part kritis mesin *chimei* dari bulan Januari tahun 2019 sampai bulan Desember 2020, dapat dilihat pada Tabel 4.40 dan 4.41 sebagai berikut :

Tabel 4.40 Klasifikasi ABC Komponen kritis

| Part kritis | Pergantian part selama 2 tahun | Cost part | Cost unit 2 tahun | Nilai kumulatif | Nilai kumulatif% | Kelas ABC |
|----------------------|--------------------------------|-----------|-------------------|-----------------|------------------|-----------|
| <i>Cutting plat</i> | 18 | 500000 | 9.000.000 | 9.000.000 | 43% | A |
| <i>Heater</i> | 12 | 400000 | 4.800.000 | 13.800.000 | 23% | A |
| <i>As pusher opp</i> | 10 | 300000 | 3.000.000 | 16.800.000 | 14% | B |
| <i>sensor</i> | 8 | 300000 | 2.400.000 | 19.200.000 | 11% | C |
| <i>Plc cable</i> | 7 | 275000 | 1.925.000 | 21.125.000 | 9% | C |

Tabel 4.41 Klasifikasi ABC Komponen kritis

| Part kritis | Interval kerusakan part dalam 2 tahun | Pergantian part dalam 2 tahun | Harga per part |
|----------------------|---------------------------------------|-------------------------------|----------------|
| <i>Cutting plat</i> | 20 | 18 | 500000 |
| <i>Plat heater</i> | 15 | 12 | 400000 |
| <i>As pusher opp</i> | 13 | 10 | 300000 |
| <i>Sensor</i> | 8 | 7 | 300000 |
| <i>Plc cable</i> | 7 | 7 | 275000 |

Dari tabel di atas menunjukan bahwa semua part berada pada kelas A di mana kelas A itu dengan criteria persentase kumulaatif kelas A berada pada nilai 0% sampai dengan 69%, dimana di dapatkan untuk cutting plat dengan persentase 43%, heater dengan persentase 23%, dengan penjumlahan persentase dari 2 part tersebut 66% maka dapat di simpulkan ke 2 part tersebut masuk dalam katagori kelas A, untuk As pusher opp dengan persentase 14% dengan di jumlahkan dengan 66% dari nilai kumulatif sebelumnya di dapatkan hasil 80%, part tersebut masuk dalam kelas B, untuk sensor dengan persentase 11%, dan di jumlahkan

dari hasil perhitungan sebelumnya di dapatkan hasil 80% maka di dapatkan hasil 91% part tersebut masuk dalam kelas C, dan untuk plc cable dengan persentase 9% dan di jumlahkan dari hasil sebelumnya 91% maka di dapatkan hasil 100%, dapat di simpulkan part-part tersebut masuk dalam kategori yang berbeda berdasarkan hasil dari tingkat kekritisan part tersebut.

4.10 Perhitungan *Economic Order Quantity*

Berikut merupakan data untuk perhitungan EOQ dapat dilihat pada tabel 4.38 sebagai berikut:

Tabel 4.38 Data EOQ

| Komponen | Jumlah barang | Biaya pemesanan | Harga per unit | Biaya penyimpanan |
|---------------|---------------|-----------------|----------------|-------------------|
| Cutting plat | 11 | 50.000 | 500.000 | 1% |
| Heater | 9 | 40.000 | 400.000 | 1% |
| As pusher opp | 7 | 30.000 | 30.000 | 1% |

Keterangan :

Untuk jumlah barang didapatkan dari hasil Rekapitulasi *Periodic Inspection* dimana 14.1384 didapatkan dari hasil interval pemeriksaan yaitu 485.4863 jam / 22 jam = 22 hari dan $26 \times 12 = 312$ / 22 = 14.1384

Untuk mendapatkan jumlah stok yang ideal maka rumus yang di gunakan untuk menghitung setiap komponen yang ada adalah sebagai berikut :

$$\frac{\sqrt{2 \times R \times S}}{P \times I}$$

$$\begin{aligned} \text{Untuk cutting plat} &= \frac{\sqrt{2 \times 11 \times 50000}}{500000 \times 1\%} \\ &= \sqrt{220} \\ &= 15 \text{ buah komponen pertahun} \end{aligned}$$

Jadi stok yang di butuhkan dalam pergantian komponen adalah 4 buah stok komponen dalam setahun.

$$\begin{aligned}\text{Untuk heater} &= \frac{\sqrt{2 \times 9 \times 40000}}{400000 \times 1\%} \\ &= \sqrt{180} \\ &= 14 \text{ buah komponen pertahun}\end{aligned}$$

Jadi stok yang di butuhkan dalam pergantian komponen adalah 5 buah stok komponen dalam setahun.

$$\begin{aligned}\text{Untuk as pusher opp} &= \frac{\sqrt{2 \times 7 \times 30000}}{300000 \times 1\%} \\ &= \sqrt{140} \\ &= 12 \text{ buah komponen dalam setahun}\end{aligned}$$

Jadi stok yang di butuhkan dalam pergantian komponen adalah 4 buah stok komponen dalam setahun.

BAB V

KESIMPULAN DAN SARAN

5.1 Kesimpulan

Berdasarkan hasil pengolahan data dan analisis pemecahan masalah maka diperoleh kesimpulan sebagai berikut:

1. Mesin *chimei* di pilih dari mesin-mesin yang lain karena tingkat kerusakannya yang tinggi dengan frekuensi 93 kerusakan selama 2 tahun.
2. Untuk menentukan perhitungan maka, dibagi menjadi beberapa sistem yang mengalami masalah kerusakan mulai dari *Panel*, *conveyor*, *Plat griffer*, *cam and follower*, rantai utama, dan *roller opp*.
3. Dari keenam system tersebut di dapatkan 3 sistem yang mengalami kerusakan paling banyak yaitu:
 - Plat griffer dengan memiliki subsistem : cutting plat dan heater
 - Cam and follower dengan memiliki subsistem : as pusher opp
 - Panel control dengan memiliki subsistem : plc kabel dan sensor

Untuk menentukan tindakan perawatan yang optimal pada mesin chimei diperlukan analisis fungsi sistem serta kegagalan sistem menggunakan metode FMEA didapatkan 3 komponen kritis dengan nilai RPN tertinggi yaitu komponen cutting plat dengan RPN 126, komponen heater dengan RPN 126, dan komponen as pusher opp dengan RPN 90.

4. Analisa Keandalan dilakukan terhadap tiga komponen dengan nilai RPN tertinggi dengan hasil sebagai berikut.

- a. Cutting plat memiliki nilai MTTF sebesar 49454 menit dan nilai MTTR sebesar 52.93 menit. Hal ini berarti Cutting plat berpotensi mengalami kegagalan setelah 49454 menit pemakaian dengan rata-rata waktu yang diperlukan untuk kegiatan perbaikan adalah 53 menit.
- b. Heater memiliki nilai MTTF sebesar 62990 menit dan nilai MTTR sebesar 48.66 menit. Hal ini berarti Heater berpotensi mengalami kegagalan setelah 62990 menit pemakaian dengan rata-rata waktu yang diperlukan untuk kegiatan perbaikan adalah 49 menit.
- c. As pusher opp memiliki nilai MTTF sebesar 79835 menit dan nilai MTTR sebesar 66.57 menit. Hal ini berarti As pusher opp berpotensi mengalami kegagalan setelah 79835 menit pemakaian dengan rata-rata waktu yang diperlukan untuk kegiatan perbaikan adalah 67 menit.

5. Klasifikasi ABC pada sistem komponen kritis di klasifikasikan sebagai berikut:

- Cutting plat masuk dalam klasifikasi: A
- Heater masuk dalam klasifikasi: A
- As pusher opp masuk dalam klasifikasi: B
- Plc kabel masuk dalam klasifikasi: B
- Sensor masuk dalam klasifikasi: C

6. *Economic Order Quantity* pada setiap masing-masing komponen mesin chimei yang dibutuhkan adalah sebagai berikut:

- Cutting plat dibutuhkan 18pcs persediaan komponen dalam setahun.
- Heater dibutuhkan 16pcs persediaan komponen dalam setahun.
- As pusher opp dibutuhkan 15pcs persediaan komponen dalam setahun.

5.2 Saran

Adapun saran-saran yang dapat diberikan sebagai masukan adalah sebagai berikut ini:

1. Penerapan model perawatan usulan dengan metode RCM dapat dilaksanakan dengan baik apabila setiap pihak yang terkait dalam kegiatan produksi mengerjakan tugasnya sesuai dengan jadwal yang telah ditentukan dan sesuai dengan SOP.
2. Penerapan Metode Klasifikasi ABC , pada setiap mesin di perusahaan dapat di terapkan agar setiap klasifikasi tersebut yang memudahkan perusahaaan dalam membeli komponen yang kritis.
3. Penerapan Economic Order Quantity, di usulkan kepada perusahaan untuk menentukan jumlah part yang di butuhkan dalam satu tahun pergantian komponen, untuk menimalkan terjadinya stok out pada perusahaan tersebut.
4. Perusahaan diusulkan untuk selalu melakukan pembaruan data mengenai aspek potensi kegagalan mesin pada line produksi untuk mengupayakan penanggulangan kegagalan mesin dimasa depan sehingga kondisi mesin dapat terkontrol dan dievaluasi.

